



การสังเคราะห์เส้นใยกลวงของไทเทเนียมไดออกไซด์
โดยใช้เส้นใยเรซอร์ซินอล ฟอร์มัลเดไฮด์เจลเป็นแม่แบบ
FABRICATION OF TITANIUM DIOXIDE HOLLOW FIBERS ASSISTED
BY ELECTROSPUN RESORCINOL-FORMALDEHYDE GEL
FIBERS AS A TEMPLATE

นายธนาธิป เปียงเปี้ย รหัส 52365015
นางสาวศลิษา สังข์ยก รหัส 53364888
นางสาวอังคณาลี กัมปนาท รหัส 53364970

ปริญญาบัตรนี้เป็นส่วนหนึ่งของการศึกษาหลักสูตรปริญญาวิศวกรรมศาสตรบัณฑิต
สาขาวิชาวิศวกรรมเคมี ภาควิชาเคมีอุตสาหการ
คณะวิศวกรรมศาสตร์ มหาวิทยาลัยเรศวร

ปีการศึกษา 2556	
วันที่ออก	20 ม.ค. 2558
เลขที่บัตร	16897617
ลงนาม	ผู้จัดการบัตร

มหาวิทยาลัยเรศวร ๘๒๔ ๓๙ ๒๕๕๖



ใบรับรองปริญญาบัณฑิต

ชื่อหัวข้อโครงการ

การสังเคราะห์เส้นไขกลวงของไทเทเนียมไดออกไซด์ โดยใช้เส้นใยเรซอชินอล พอร์มัลเดไฮด์เจลเป็นแม่แบบ

ผู้ดำเนินโครงการ

นายธนาธิป เปียงเปี้ย รหัส 52365015

นางสาวศลิษา ลังษ์ยก รหัส 53364888

นางสาวอังศุมาลี กัมปนาท รหัส 53364970

ที่ปรึกษาโครงการ

ดร.ภัทรรัตน์ จันธรรม

สาขาวิชา

วิศวกรรมเคมี

ภาควิชา

วิศวกรรมอุตสาหการ

ปีการศึกษา

2556

คณะวิศวกรรมศาสตร์ มหาวิทยาลัยนเรศวร อนุมัติให้ปริญญาบัณฑิตบันนี้เป็นส่วนหนึ่ง
ของการศึกษาตามหลักสูตรวิศวกรรมศาสตรบัณฑิต สาขาวิชาวิศวกรรมเคมี

.....
ที่ปรึกษาโครงการ

(ดร.ภัทรรัตน์ จันธรรม)

กรรมการ

(ดร.นพวรรณ โน้ทอง)

กรรมการ

(ดร.นิคม กลมเกลี้ยง)

.....
กรรมการ

(อาจารย์อาภากรณ์ จันทร์ปิรักษ์)

ชื่อหัวข้อโครงการ	การสังเคราะห์เส้นใยกลวงของไทเทเนียมไดออกไซด์ โดยใช้เส้นใยเรซอร์บินอล พอร์มัลติไฮด์เจลเป็นแม่แบบ		
ผู้ดำเนินโครงการ	นายธนาธิป	เปรียงเปี้ย	รหัส 52365015
	นางสาวศลิษา	สังข์ยิก	รหัส 53364888
	นางสาวอังศุมาลี	กัมปนาท	รหัส 53364970
ที่ปรึกษาโครงการ	ดร.ภนรัตน์	จันธรรม	
สาขาวิชา	วิศวกรรมเคมี		
ภาควิชา	วิศวกรรมอุตสาหการ		
ปีการศึกษา	2556		

บทคัดย่อ

ในงานวิจัยนี้ได้ทำการศึกษาสภาวะที่เหมาะสมในการเตรียมเส้นใยแม่แบบที่ผลิตจากสารละลาย Polyvinil Alcohol (PVA) ด้วยกระบวนการปั๊มน้ำเส้นใยด้วยระบบไฟฟ้าสถิต โดยการควบคุมปัจจัยต่างๆ เช่น ศักย์ไฟฟ้า อัตราการไหลของสารละลาย และระยะห่างระหว่างปลายเข็มกับตัวรองรับ พบร่วงจากการเพิ่มศักย์ไฟฟ้าและการเพิ่มระยะห่างจากปลายเข็มถึงตัวรองรับมีแนวโน้มทำให้เส้นใยมีขนาดลดลง การเพิ่มอัตราการไหลของสารละลายมีแนวโน้มทำให้เส้นใยมีขนาดเพิ่มขึ้น ซึ่งสภาวะที่เหมาะสมในการขึ้นรูปเส้นใยแม่แบบ คือ ศักย์ไฟฟ้า 20 กิโลโวลต์ อัตราการไหล 1.0 มิลลิลิตรต่อชั่วโมง และระยะห่างจากปลายเข็มถึงตัวรองรับ 7 เซนติเมตร หลังจากนั้นได้ศึกษาการเตรียมเส้นใยแม่แบบที่ผลิตจาก RF Gel ที่สภาวะดังกล่าว พบร่วงจากการขึ้นรูปเป็นเส้นใยได้จึงนำ RF Gel มาผสมกับ PVA โดยมีการควบคุมการบ่มและอัตราส่วนของ RF Gel/PVA พบร่วงอัตราส่วนที่เหมาะสมสามารถขึ้นรูปเป็นเส้นใยแม่แบบคือ 1:9 เส้นใยแม่แบบที่ได้มีขนาด 105.2 นาโนเมตร การเคลือบเส้นใยแม่แบบด้วยไทเทเนียมเตトラไซโคโพธรอไชด์ (TTIP) โดยสภาวะที่เหมาะสม คือ แช่ในสารละลาย TTIP เป็นเวลา 30 ชั่วโมง และศึกษาการทำแห้งของเส้นใยที่ได้ พบร่วงจากการทำแห้งแบบระเหิดแห้งสามารถรักษาความเป็นเส้นใยให้คงรูปได้ดีกว่าการทำแห้งแบบอบลมร้อน การเผาเส้นใยแม่แบบที่เคลือบด้วย TTIP ในบรรยากาศ พบร่วงการเกิดการแตกหักของเส้นใย อย่างไรก็ตามผลิตภัณฑ์ที่ได้ยังคงมีลักษณะเป็นเส้นใย

กิตติกรรมประกาศ

ปริญญา妮พนธ์ฉบับนี้ สำเร็จลุล่วงไปได้ด้วยความช่วยเหลือของหลายๆ ฝ่าย โดยเฉพาะ
ดร.ภมรรัตน์ จันธรรม อาจารย์ที่ปรึกษาโครงงาน ที่ได้ให้คำแนะนำ คำปรึกษา และนำวิธีแก้ไขปัญหา
รวมถึงข้อคิดเห็นต่างๆ ตลอดจนความดูแลเอาใจใส่ ติดตามการดำเนินโครงงานมาโดยตลอดและ
ขอขอบคุณคณะอาจารย์ประจำภาควิชาศึกษาอุตสาหการ มหาวิทยาลัยเกริกทุกท่าน ที่ได้ให้
วิชาความรู้ เพื่อนำมาประยุกต์ใช้ในการทำปริญญา妮พนธ์ฉบับนี้

นอกจากนี้ต้องขอขอบคุณอาจารย์และเจ้าหน้าที่ภาควิชาศึกษาอุตสาหการทุกท่าน ที่ได้
ให้ความอนุเคราะห์ในการเข้าไปใช้สถานที่และเครื่องมือ สำหรับการสังเคราะห์ชั้นงานเพื่อไปใช้ในการ
ทำปริญญา妮พนธ์ฉบับนี้ เป็นอย่างดีมาโดยตลอด

สุดท้ายนี้ผู้ดำเนินโครงงานครรช่องราบขอบพระคุณ บิดา มารดา ที่ได้ให้การดูแล อบรม
สั่งสอนและให้กำลังใจด้วยดีเสมอมา ตลอดจนผู้มีพระคุณทุกท่านที่มีส่วนร่วมในการช่วยเหลือและให้
กำลังใจด้วยดีเสมอมา ตลอดการทำเนินโครงงานจนสำเร็จการศึกษา

ผู้ดำเนินโครงงาน

นายธนาธิป เปียงเปี้ย

นางสาวศลิษา สังข์ยิก

นางสาวอังศุมาลี กัมปนาท

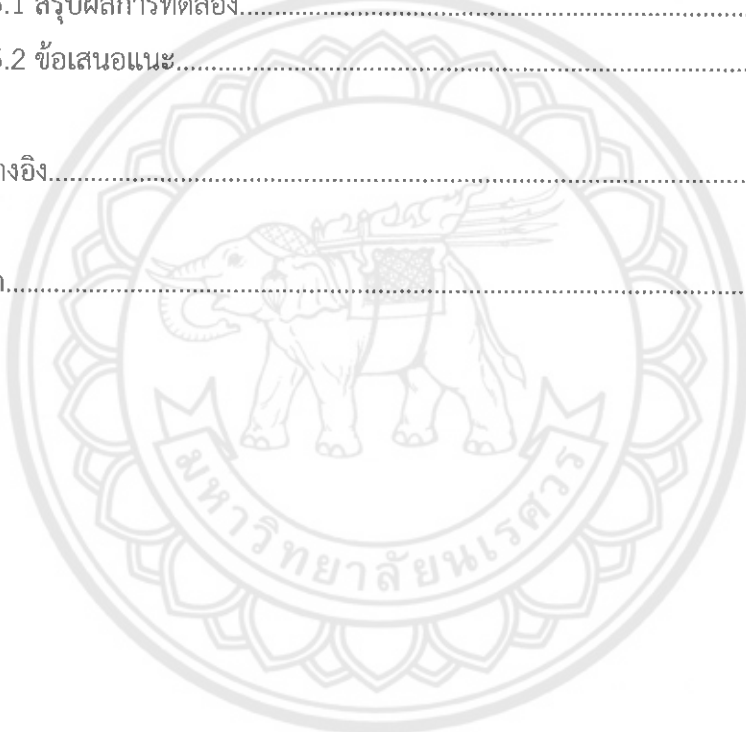
พฤษจิกายน 2556

สารบัญ

	หน้า
ใบรับรองปริญญาอิพนธ์.....	ก
บทคัดย่อ.....	ข
กิตติกรรมประกาศ.....	ค
สารบัญ.....	ง
สารบัญตาราง.....	ฉ
สารบัญรูป.....	ช
สารบัญสัญลักษณ์และอักษรย่อ.....	ณ
บทที่ 1 บทนำ.....	1
1.1 ความเป็นมาและความสำคัญของโครงการ.....	1
1.2 วัตถุประสงค์ของโครงการ.....	2
1.3 ขอบเขตการดำเนินโครงการ.....	2
1.4 สถานที่ในการดำเนินโครงการ.....	3
1.5 ระยะเวลาในการดำเนินโครงการ.....	3
1.6 ขั้นตอนและแผนการดำเนินโครงการ.....	3
บทที่ 2 ทฤษฎีและงานวิจัยที่เกี่ยวข้อง.....	4
2.1 ทฤษฎีที่เกี่ยวข้อง.....	4
2.2 งานวิจัยที่เกี่ยวข้อง.....	20
บทที่ 3 วิธีดำเนินโครงการ.....	22
3.1 อุปกรณ์และสารเคมี.....	22
3.2 ขั้นตอนการดำเนินการทดลอง.....	23
3.3 แผนภาพการทดลอง.....	24
3.4 การวิเคราะห์ลักษณะเฉพาะของผลิตภัณฑ์.....	25

สารบัญ (ต่อ)

	หน้า
บทที่ 4 ผลการทดลองและการวิเคราะห์.....	26
4.1 ปัจจัยที่มีผลต่อการขึ้นรูปเส้นไขเม่แบบที่ผลิตจาก PVA.....	26
4.2 การขึ้นรูปเส้นไขเม่แบบที่ผลิตจาก RF Gel.....	37
4.3 การขึ้นรูปเส้นไขเม่แบบที่ผลิตจาก RF Gel/PVA.....	39
4.4 การขึ้นรูปเส้นไขเทเทเนียมไดออกไซด์บันเส้นไขเม่แบบ.....	47
บทที่ 5 สรุปผลการทดลองและข้อเสนอแนะ.....	51
5.1 สรุปผลการทดลอง.....	51
5.2 ข้อเสนอแนะ.....	52
เอกสารอ้างอิง.....	53
ภาคผนวก.....	56



สารบัญตาราง

ตารางที่	หน้า
1.1 ขั้นตอนและแผนการดำเนินโครงการ.....	3
2.1 ตัวอย่างพอลิเมอร์ที่ใช้ในกระบวนการป่นเส้นใยด้วยระบบไฟฟ้าสถิตและการนำไปใช้.....	9
2.2 ผลกระทบของการเตรียมเจลและการบ่มเจลต่อคุณสมบัติของ RF.....	13
2.3 ผลกระทบของตัวทำละลายแลกเปลี่ยนและการอบแห้งต่อคุณสมบัติของ RF Gel.....	14
2.4 ผลกระทบของการไฟโลต์รีซิสต์ต่อคุณสมบัติของคาร์บอนที่ได้จาก RF Gel.....	15
4.1 แสดงขนาดเส้นใยแม่แบบที่ผลิตจาก PVA ที่สภาวะต่างๆ.....	36



สารบัญรูป

รูปที่	หน้า
2.1 การปั่นขึ้นรูปเส้นใยด้วยระบบไฟฟ้าสถิตของพอลิเมอร์ที่อยู่ในรูปสารละลาย.....	6
2.2 การปั่นขึ้นรูปเส้นใยของพอลิเมอร์ที่อยู่ในสภาพหลอมเหลว.....	7
2.3 โครงสร้างของไทด์เนียมไดออกไซด์.....	10
2.4 แสดงกลไกระดับโน้ตเกลุของปฏิกิริยาการเกิด RF Gel.....	11
2.5 การเจริญเติบโตของคลัสเตอร์ของโนโนเมอร์ของเรซอชินอล พอร์มัลเดไฮด์.....	12
2.6 กราฟการเปลี่ยนแปลงของอุณหภูมิของน้ำในการทำแท้งแบบเยือกแข็ง (Freezing Curve)....	16
2.7 กราฟการเปลี่ยนสถานะในระหว่างการตกผลึกของสารผสมสองชนิด.....	16
2.8 กราฟการเปลี่ยนสถานะ (State Diagram) ของการตกผลึก.....	17
2.9 กราฟสมดุลสถานะของน้ำ (Phase Diagram).....	18
3.1 ตัวอย่างการทดลอง.....	22
3.2 แผนภาพกระบวนการทดลอง.....	24
4.1 ลักษณะเส้นใยแม่แบบที่ผลิตจาก PVA ที่อัตราการไหล 0.8 มิลลิลิตรต่อชั่วโมง และระยะห่าง 12 เซนติเมตร.....	27
4.2 ลักษณะเส้นใยแม่แบบที่ผลิตจาก PVA ที่อัตราการไหล 1.0 มิลลิลิตรต่อชั่วโมง และระยะห่าง 12 เซนติเมตร.....	28
4.3 ลักษณะเส้นใยแม่แบบที่ผลิตจาก PVA ที่อัตราการไหล 1.2 มิลลิลิตรต่อชั่วโมง และระยะห่าง 12 เซนติเมตร.....	29
4.4 ลักษณะเส้นใยแม่แบบที่ผลิตจาก PVA ที่ศักย์ไฟฟ้า 15 กิโลโวลต์ และระยะห่าง 7 เซนติเมตร30	30
4.5 ลักษณะเส้นใยแม่แบบที่ผลิตจาก PVA ที่ศักย์ไฟฟ้า 20 กิโลโวลต์ และระยะห่าง 7 เซนติเมตร31	31
4.6 ลักษณะเส้นใยแม่แบบที่ผลิตจาก PVA ที่ศักย์ไฟฟ้า 25 กิโลโวลต์ และระยะห่าง 7 เซนติเมตร32	32
4.7 ลักษณะเส้นใยแม่แบบที่ผลิตจาก PVA ที่อัตราการไหล 1.2 มิลลิลิตรต่อชั่วโมง และศักย์ไฟฟ้า 15 กิโลโวลต์.....	33
4.8 ลักษณะเส้นใยแม่แบบที่ผลิตจาก PVA ที่อัตราการไหล 1.2 มิลลิลิตรต่อชั่วโมง และศักย์ไฟฟ้า 20 กิโลโวลต์.....	34
4.9 ลักษณะเส้นใยแม่แบบที่ผลิตจาก PVA ที่อัตราการไหล 1.2 มิลลิลิตรต่อชั่วโมง และศักย์ไฟฟ้า 25 กิโลโวลต์.....	35
4.10 ลักษณะเส้นใยแม่แบบที่ผลิตจาก PVA ที่ศักย์ไฟฟ้า 20 กิโลโวลต์ อัตราการไหล 1.0 มิลลิลิตร ต่อชั่วโมง และระยะห่าง 7 เซนติเมตร.....	37

สารบัญรูป (ต่อ)

รูปที่	หน้า
4.11 ลักษณะที่ไม่เป็นเส้นใยจากการบ่ม RF Gel 30 ชั่วโมง ที่อัตราการไหลด 1.0 มิลลิลิตรต่อชั่วโมง ศักย์ไฟฟ้า 20 กิโลโวลต์ และระยะห่าง 7 เซนติเมตร.....	38
4.12 สารละลาย RF Gel เมื่อบ่ม 30 ชั่วโมง.....	38
4.13 กราฟแสดงความหนืดของ RF Gel.....	38
4.14 สารละลาย RF Gel/PVA ที่ทำการบ่ม RF Gel.....	39
4.15 แสดงการแยกชั้นสารละลาย RF Gel/PVA.....	40
4.16 ลักษณะเส้นใยแม่แบบที่ผลิตจาก RF Gel/PVA ที่ไม่มีการบ่ม.....	40
4.17 ลักษณะเส้นใยแม่แบบที่ผลิตจาก RF Gel/PVA ที่บ่ม RF Gel 5 ชั่วโมง.....	41
4.18 สารละลาย RF Gel/PVA ที่บ่ม RF Gel พร้อมกับ PVA.....	42
4.19 แสดงการแยกชั้นสารละลาย RF Gel/PVA บ่ม RF Gel พร้อม PVA 15 ชั่วโมง.....	42
4.20 ลักษณะเส้นใยแม่แบบที่ผลิตจาก RF Gel/PVA ที่บ่ม RF Gel/PVA 5 ชั่วโมง.....	43
4.21 ลักษณะที่ไม่เป็นเส้นใยของ RF Gel/PVA.....	44
4.22 ลักษณะที่เป็นเส้นใยของ RF Gel/PVA ที่อัตราส่วน 1:3.....	44
4.23 แสดงลักษณะเส้นใยแม่แบบที่ผลิตจาก RF Gel/PVA ที่ศักย์ไฟฟ้า 20 กิโลโวลต์ อัตราการไหลด 1.0 มิลลิลิตรต่อชั่วโมง และระยะห่าง 7 เซนติเมตร.....	46
4.24 ความเข้ากันของสารละลายแม่แบบ.....	46
4.25 ความเสถียรภาพทางความร้อนของสารละลายแม่แบบ.....	47
4.26 แสดงลักษณะชั้นงานหลังจากบ่ม TTIP 15 ชั่วโมง.....	48
4.27 แสดงลักษณะชั้นงานหลังจากบ่ม TTIP 30 ชั่วโมง.....	48
4.28 ลักษณะเส้นใย TiO_2 ที่ได้จากการทำแห้งแบบอบลมร้อน.....	49
4.29 ลักษณะเส้นใย TiO_2 ที่ได้จากการทำแห้งแบบระเหิดแห้ง.....	49
4.30 ลักษณะเส้นใยแม่แบบ PVA ที่ผ่านการเผา.....	50
4.31 ลักษณะเส้นใยแม่แบบ RF Gel/PVA ที่ผ่านการเผา.....	50

สารบัญสัญลักษณ์และอักษรย่อ

RF gel =	เรซอชินอล พอร์มัลเดี้ยค์เจล
PVA =	โพลีไวนิลแอลกอฮอล์ (Polyvinil Alcohol)
ml/hr =	มิลลิลิตรต่อชั่วโมง
kV =	กิโลโวลต์
cm =	เซนติเมตร
hr =	ชั่วโมง
min =	นาที
nm =	นาโนเมตร



บทที่ 1

บทนำ

1.1 ความเป็นมาและความสำคัญของโครงการ

ในปัจจุบันเนื้าในเทคโนโลยีได้เข้ามามีความสำคัญทางด้านวิทยาศาสตร์และเทคโนโลยีเพิ่มมากขึ้น ได้มีการนำรัฐดูนาโนมาประยุกต์ใช้ในด้านต่างๆ เช่น ทางการแพทย์ วิศวกรรม เกษตรกรรม และเทคโนโลยีชีวภาพ วัสดุ nano คือ วัสดุที่มีขนาดอนุภาคระหว่าง 1-100 นาโนเมตร ที่ได้จากการสังเคราะห์ด้วยเทคโนโลยี nano โดยโครงสร้างที่ได้จากการสังเคราะห์นั้นมีหลายรูปแบบ เช่น อนุภาคนาโน (Nanoparticles) ท่อนาโน (Nanotubes) เส้นไนนาโน (Nanofibers) และแท่งนาโน (Nanorods) เป็นต้น

เส้นไนนาโน (Nanofibers) ถูกนำมาศึกษาและให้ความสนใจเป็นอย่างมาก เพราะเป็นเส้นใยที่มีขนาดเส้นผ่านศูนย์กลางอยู่ในระดับนาโนเมตร โดยทั่วไปจะผลิตขึ้นจากพอลิเมอร์ชนิดต่างๆ รวมไปถึงการมีคุณสมบัติที่โดดเด่น คือ มีพื้นที่ผิวต่อปริมาตรสูง มีความพรุนที่สูง และค่าแรงต้านทานแรงดึงตามความยาวที่สูง ด้วยลักษณะและคุณสมบัติดังกล่าวจึงมีการนำเส้นไนนาโนไปประยุกต์ใช้ในด้านต่างๆ มากมาย เช่น เป็นวัสดุในการกรองสาร วัสดุวิศวกรรมนี้อีก ตัวนำไฟฟ้าในอุปกรณ์อิเล็กทรอนิกส์ และใช้เป็นส่วนประกอบของเตือฝ้า เป็นต้น การผลิตเส้นไนนาโนมีหลายกระบวนการซึ่งขึ้นอยู่กับลักษณะและการนำไปใช้ประโยชน์ ซึ่งในโครงการนี้จะนำกระบวนการปั่นเส้นโดยระบบไฟฟ้าสถิต (Electrospinning Process) มาใช้ในการผลิตเส้นไนนาโนเนื่องจากเป็นกระบวนการที่ง่ายและไม่ซับซ้อน

กระบวนการปั่นเส้นโดยระบบไฟฟ้าสถิตเป็นเทคนิคการขึ้นรูปเส้นไยพอลิเมอร์ โดยใช้แรงที่เกิดจากความต่างศักย์ทางไฟฟ้า เป็นกระบวนการที่เกิดขึ้นมากกว่า 60 ปี แล้วและได้รับความสนใจในการศึกษาอย่างจริงจังเมื่อไม่ถึง 10 ปี ที่ผ่านมา ซึ่งเส้นใยที่ได้มาจากการปั่นเส้นโดยระบบไฟฟ้าสถิตนั้น จะมีขนาดเล็กมาก (ระดับนาโนเมตร) ในขณะที่การขึ้นรูปเส้นไยพอลิเมอร์โดยทั่วไปนั้น จะใช้แรงทางกลในการอัดรีดพอลิเมอร์หลอมผ่านหัวดายที่มีรูขนาดเล็กเส้นใยที่ได้จะมีขนาดใหญ่ปัจจุบันเทคนิคการปั่นเส้นโดยระบบไฟฟ้าสถิตได้รับความสนใจเป็นอย่างมาก เนื่องจากสามารถผลิตเส้นใยขนาดตั้งแต่ 10 จนถึง 1,000 นาโนเมตร อัตราส่วนของพื้นผิวต่อปริมาตรสูงถึง 1,000 เท่า เมื่อเทียบกับเส้นใยที่ผลิตด้วยเทคนิคทั่วไป รวมไปถึงเส้นไยระดับนาโนเมตรนี้มีน้ำหนักที่เบาและมีพื้นผิวสัมผัสที่สูงด้วย

ไทเทเนียมไดออกไซด์ (Titanium Dioxide, TiO₂) เป็นหนึ่งในบรรดาวัสดุที่สามารถสังเคราะห์ให้มีขนาดเล็กระดับนาโนเมตร โดยเฉพาะการนำมาสังเคราะห์เป็นเส้นไนนาโน (Nanofibers) วัสดุกึ่งตัวนำชนิดหนึ่งที่นิยมนำมาใช้ประโยชน์ในด้านต่างๆ เช่น เป็นตัวเร่งปฏิกิริยา มีความสามารถทนต่อการกัดกร่อนที่สูง ไทเทเนียมไดออกไซด์ได้มีการพัฒนาให้อนุภาคมีขนาดเล็กลงถึงระดับนาโนเมตร

จึงมีคุณสมบัติในการป้องกันแสงแดดและเมื่อพัฒนาให้ขนาดอนุภาคมีขนาดเล็กลงถึงระดับนาโนเมตร ทำให้มีคุณสมบัติในการซ่าเข้าแข็งที่เรียกว่า ยอยสลายแบคทีเรีย ทราบสารอินทรีย์เมื่อได้รับการกระตุ้นจากแสงอัลตราไวโอเลตจากแสงอาทิตย์ จึงสามารถดูดออกไซด์ที่หลักหลายและมีความนำสู่เป็นอย่างมากนั้น ในโครงการนี้จึงได้มีการสังเคราะห์เส้นใยไทเทเนียมดูดออกไซด์และเปรียบเทียบการสังเคราะห์ตามเงื่อนไขที่เหมาะสม เพื่อให้ได้เส้นใยที่มีประสิทธิภาพที่สูงและสามารถนำไปประยุกต์ใช้งานได้อย่างมีประสิทธิภาพ

โครงการนี้จะศึกษาการสังเคราะห์ปัจจัยที่มีผลต่อการสังเคราะห์เส้นใยกลวงของไทเทเนียมดูดออกไซด์ขนาดนาโนเมตร โดยมีการเปรียบเทียบสารที่ใช้เป็นแม่แบบ ซึ่งสารที่ใช้เป็นแม่แบบในโครงการนี้คือ เรซอชินอล ฟอร์มัลดีไฮด์เจล (RF Gel) และพอลีไวนิลแอกโกลอฟอล (PVA) โดยขั้นรูปสารแม่แบบด้วยการป่นเส้นใยด้วยระบบไฟฟ้าสถิตและการสังเคราะห์เส้นใยกลวงของไทเทเนียมดูดออกไซด์ดังกล่าวจะเป็นการเพิ่มพื้นที่ผิวให้กับเส้นใยไทเทเนียมดูดออกไซด์ซึ่งเป็นการเพิ่มประสิทธิภาพในการนำไปใช้ต่อไป

1.2 วัตถุประสงค์ของโครงการ

1.2.1 เพื่อศึกษาปัจจัยที่มีผลต่อกระบวนการสังเคราะห์เส้นใยกลวงของไทเทเนียมดูดออกไซด์โดยการขั้นรูปแม่แบบด้วยกระบวนการป่นเส้นใยด้วยระบบไฟฟ้าสถิต

1.2.2 เพื่อศึกษาเปรียบเทียบชนิดของแม่แบบที่มีผลต่อพื้นที่ผิวเส้นใยกลวงของไทเทเนียมดูดออกไซด์

1.2.3 เพื่อศึกษาพื้นที่ผิวของเส้นใยกลวงของไทเทเนียมดูดออกไซด์ที่ได้จากการสังเคราะห์ด้วยกระบวนการป่นเส้นใยด้วยระบบไฟฟ้าสถิต

1.3 ขอบเขตในการดำเนินโครงการ

งานวิจัยนี้เป็นงานวิจัยในระดับห้องปฏิบัติการซึ่งกำหนดขอบเขตงานวิจัยไว้ดังนี้

1.3.1 ตัวแปรต้น

1.3.1.1 ศักย์ไฟฟ้า 15-25 กิโลโวลต์

1.3.1.2 อัตราการไฟлоของสารแม่แบบ 0.8-1.2 มิลลิลิตรต่อชั่วโมง

1.3.1.3 ระยะห่างของปลายเข็มกับตัวรองรับ 7-12 เซนติเมตร

1.3.1.4 ระยะเวลาในการบ่มแม่แบบ ในสารละลายของสารตั้งต้นโลหะ 15-30 ชั่วโมง

1.3.1.5 เทคนิคการทำแท่ง โดยการทำแท่งแบบอบลมร้อนที่อุณหภูมิ 80 องศาเซลเซียส เป็นเวลา 24 ชั่วโมง และการทำแท่งแบบระเหิดแท่ง

1.3.2 ตัวแปรตาม

1.3.2.1 สมบัติทางกายภาพของเส้นใยที่ได้

1.3.3 ตัวแปรควบคุม

1.3.3.1 ชนิดและความเข้มข้นของพอลิเมอร์ที่ใช้เป็นแม่แบบ

1.4 สถานที่ในการดำเนินโครงการ

อาคารปฏิบัติการภาควิชาชีวกรรมอุตสาหการ คณะวิศวกรรมศาสตร์ มหาวิทยาลัยนเรศวร

1.5 ระยะเวลาในการดำเนินโครงการ

ตั้งแต่เดือน มิถุนายน พ.ศ. 2556 ถึง ธันวาคม พ.ศ. 2556

1.6 ขั้นตอนและแผนการดำเนินโครงการ (Gantt Chart)

ในการดำเนินงานโครงการ การสังเคราะห์เส้นใยกลวงของไทเทเนียมไดออกไซด์โดยใช้เส้นใยเรซอซินอล พอร์มัลดิไฮด์เจลเป็นแม่แบบ ซึ่งได้แบ่งขั้นตอนการดำเนินงานเป็น 5 ขั้นตอน โดยระยะเวลาในการดำเนินงานในแต่ละขั้นตอน ดังแสดงในตารางที่ 1.1

ตารางที่ 1.1 ขั้นตอนและแผนการดำเนินโครงการ

	การดำเนินโครงการ	ช่วงเวลา						
		มิ.ย.	ก.ค.	ส.ค.	ก.ย.	ต.ค.	พ.ย.	ธ.ค.
1.6.1	ศึกษาและรวบรวมข้อมูล	◀		▶				
1.6.2	วางแผนและดำเนินการทดลอง			◀	▶			
1.6.3	เก็บและทดสอบตัวอย่าง				◀	▶		
1.6.4	วิเคราะห์ผล					◀	▶	
1.6.5	สรุปผลและเขียนเล่มรายงาน					◀	▶	

บทที่ 2

หลักการและทฤษฎีเบื้องต้น

2.1 ทฤษฎีที่เกี่ยวข้อง

2.1.1 นาโนเทคโนโลยี

นาโนเทคโนโลยี หมายถึง เทคโนโลยีที่เกี่ยวข้องกับกระบวนการสร้าง การตั้งเคราะห์วัสดุ อุปกรณ์ เครื่องจักร หรือผลิตภัณฑ์ซึ่งมีขนาดเล็กมากในระดับนาโนเมตรเท่ากับระดับอนุภาค ของโมเลกุลหรืออะตอม รวมถึงการออกแบบหรือการใช้เครื่องมือสร้างวัสดุที่อยู่ในระดับที่เล็กมาก หรือการเรียงอะตอมและโมเลกุลในตำแหน่งที่ต้องการได้อย่างแม่นยำและถูกต้อง ทำให้โครงสร้างของ วัสดุหรือสารมีคุณสมบัติพิเศษ ไม่ว่าทางด้านฟิสิกส์ เคมี หรือชีวภาพ

นาโนเทคโนโลยีมีจุดเริ่มต้นโดย อัลเบิร์ต ไอน์สไตน์ (Albert Einstein) เป็นผู้ศึกษาขนาด และการเคลื่อนไหวของโมเลกุลน้ำตาล ซึ่งถือว่าเป็นหลักเกณฑ์ที่สำคัญมากของการศึกษาอนุภาค ระดับนาโนเมตรในเวลาต่อมา หลังจากนั้นได้มีการศึกษาวิจัยนวัตกรรมทางด้านนาโนเทคโนโลยีขึ้น มากมาย [1]

ในปัจจุบันนาโนเทคโนโลยีได้เข้ามามีความสำคัญทางด้านวิทยาศาสตร์และเทคโนโลยี เพิ่มมากขึ้น ให้มีการนำวัสดุ nano มาประยุกต์ใช้ในด้านต่างๆ เช่น การแพทย์ วิศวกรรม เกษตรกรรม เทคโนโลยีชีวภาพ เคมีคลินิก และทางเคมี วัสดุ nano นี้ คือ วัสดุที่มีขนาดอนุภาคระหว่าง 1-100 นาโนเมตร ที่สังเคราะห์ห้วยเทคโนโลยีนาโนนั่นเอง

2.1.2 เส้นใยนาโน (Nanofibers)

เส้นใยนาโน หมายถึง เส้นใยที่มีขนาดเส้นผ่านศูนย์กลางอยู่ในระดับนาโนเมตร โดยทั่วไป เส้นใยนาโนจะกำหนดให้มีเส้นผ่านศูนย์กลางไม่เกิน 100 นาโนเมตร โดยทั่วไปจะผลิตขึ้นจากพอลิ- เมอร์ชนิดต่างๆ คุณสมบัติที่โดดเด่นของเส้นใยนาโนมีดังนี้

ก. มีพื้นที่ผิวต่อปริมาตรสูง

ข. มีความพรุนสูง

ค. มีค่าแรงต้านทานแรงดึงตามยาวสูง ตัวอย่าง เช่น คาร์บอนนาโนไฟเบอร์

ด้วยลักษณะและคุณสมบัติดังกล่าวจึงมีการนำเส้นใยนาโนไปประยุกต์ใช้ในด้านต่างๆ มากมาย เช่น เป็นวัสดุในการรองสาร วัสดุวิศวกรรมเนื้อเยื่อ วัสดุควบคุมการนำส่งยาและเครื่อง สำอางค์ สิ่งทกแต่งแพล วัสดุเสริมความแข็งแรง ตัวนำไฟฟ้าในอุปกรณ์อิเล็กทรอนิกส์ ใช้เป็นส่วน ประกอบของเสื้อผ้า ใช้ควบคุมการปลดปล่อยยาจากเม็ดในเกษตรกรรม เป็นต้น [2]

การผลิตเส้นใยขนาดนาโนเมตรมีด้วยกันหลายกระบวนการ ขึ้นอยู่กับลักษณะการนำไปใช้ประโยชน์ สามารถแบ่งกระบวนการการผลิตเส้นใยขนาดนาโนเมตรได้ ดังนี้

Drawing เป็นกระบวนการผลิตเส้นใยขนาดนาโนเมตรโดยหยดสารละลายพอลิเมอร์ในขนาดไม่core เปปตจุ่งในหยดของสารไอกลักษณ์ Contact Line จากนั้นดึงไมโครเปปตอกรอย่างรวดเร็ว เส้นใยขนาดนาโนเมตรจะถูกดึงออกมากพร้อมๆ กับการระเหยไปของตัวทำละลาย

Template Synthesis เป็นกระบวนการผลิตเส้นใยขนาดนาโนเมตรที่ใช้แม่พิมพ์ที่ประกอบด้วยรูที่มีขนาดในระดับนาโนเมตร นำสารละลายพอลิเมอร์มาผ่านแม่พิมพ์ที่มีเส้นผ่านศูนย์กลางระดับนาโนเมตร ภายใต้แรงดันน้ำ สารละลายพอลิเมอร์จะออกมาระเบ็นเส้นใยที่มีเส้นผ่านศูนย์กลางระดับนาโนเมตร

Phase Separation ในกระบวนการนี้มีหลักการ คือ พอลิเมอร์จะละลายในตัวทำละลายที่ละลายพอลิเมอร์ได้ดีกว่าและจึงเปลี่ยนตัวทำละลายที่พอลิเมอร์นั้นละลายได้ไม่ดีลงไปทำให้เกิดเป็นเส้นใยขนาดนาโนเมตรขึ้น

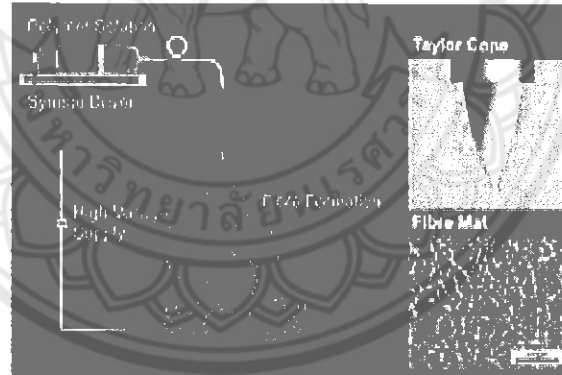
Self-Assembly กระบวนการผลิตเส้นใยขนาดนาโนเมตรที่เกิดขึ้นได้เองจากภาวะที่เหมาะสม โดยใช้โมเลกุลขนาดเล็กเป็นพื้นฐานในการสร้างเส้นใยขนาดนาโนเมตร เมื่อมีโมเลกุลมากขึ้นทำให้เกิดแรงระหว่างกัน เกิดการจัดเรียงตัวเป็นลักษณะของเส้นใยขนาดนาโนเมตร

Electrospinning กระบวนการปั่นเส้นใยด้วยระบบไฟฟ้าสถิตเป็นกระบวนการที่เกิดขึ้นมา 60 ปี แล้วแต่พ่อด้วยความสนใจศึกษาภัยอย่างจริงจังเมื่อไม่กี่ 10 ปี ที่ผ่านมา ในปี ค.ศ. 1934 Formhals ได้จดสิทธิบัตรกระบวนการและเครื่องมือที่ใช้แรงทางไฟฟ้าในการสังเคราะห์เส้นใย ในปี ค.ศ. 1969 Taylor ได้ตีพิมพ์ผลงานที่อธิบายถึงปรากฏการณ์ที่เกิดขึ้น ในขณะที่สารละลายพอลิเมอร์พุ่งออกจากเข็มโลหะที่ให้ศักย์ไฟฟ้ากำลังสูง ว่ามีการเปลี่ยนรูปร่างของสารละลายจากทรงกลมเป็นลักษณะของสามเหลี่ยมคล้ายโคน เมื่อแรงสนามไฟฟ้ามีค่าเท่ากับแรงตึงผิวของสารละลายพอลิเมอร์ ซึ่งต่อมา มีการเรียกลักษณะนี้ว่า Taylor Cone โดยการเปลี่ยนแปลงรูปร่างเป็น Taylor Cone จะขึ้นกับความหนืดของสารละลายพอลิเมอร์ ปี ค.ศ. 1971 Baumgarten เริ่มทำการศึกษาผลของการเปลี่ยนแปลงสารละลายพอลิเมอร์และปัจจัยที่มีผลกระทบในกระบวนการ ทำให้รู้ได้ว่าปัจจัยที่มีผลกระทบต่างๆ มีผลต่อสัณฐานวิทยาของเส้นใยนาโนที่ได้ ปี ค.ศ. 1995 Reneker ได้ทำการศึกษาอย่างเป็นระบบมากขึ้น ทำให้กระบวนการปั่นเส้นใยด้วยระบบไฟฟ้าสถิตได้รับความสนใจจากนักวิจัยต่างๆ ทั่วโลก เท็นได้จากการงานทดลองที่พิมพ์ในวารสารวิชาการนานาชาติเรื่องต่างๆ ที่เกี่ยวกับกระบวนการปั่นเส้นใยด้วยระบบไฟฟ้าสถิตเพิ่มจากประมาณปีละไม่ถึง 10 เรื่องตั้งแต่ปี ค.ศ. 1995 ถึงปี ค.ศ. 2000 เป็น 40 เรื่องในปี ค.ศ. 2001 และมีแนวโน้มเพิ่มขึ้นเรื่อยๆ [2]

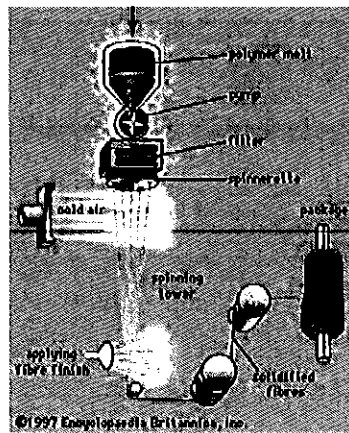
2.1.3 กระบวนการปั่นเส้นไยด้วยระบบไฟฟ้าสถิต (Electrospinning Process)

กระบวนการปั่นเส้นไยด้วยระบบไฟฟ้าสถิต (Electrostatic Spinning) หรือที่เรียกว่า Electrosprinnging เป็นเทคนิคการขึ้นรูปเส้นไยพอลิเมอร์ โดยใช้แรงที่เกิดจากความต่างศักย์ทางไฟฟ้า เส้นไยที่ได้จากการปั่นเส้นไยด้วยระบบไฟฟ้าสถิตจะมีขนาดเล็กมาก (ระดับนาโนเมตร) ในขณะที่การขึ้นรูปเส้นไยพอลิเมอร์โดยทั่วไปใช้แรงทางกลในการอัดรีดพอลิเมอร์หลอมผ่านหัวดายที่มีรูขนาดเล็ก (Spinneret) เส้นไยที่ได้มีขนาดใหญ่กว่าแบบแรกโดยมีขนาดอยู่ในช่วงไมโครเมตร

ในการขึ้นรูปเส้นไยพอลิเมอร์ด้วยกระบวนการปั่นเส้นไยด้วยระบบไฟฟ้าสถิต สามารถใช้พอลิเมอร์ที่อยู่ในรูปของสารละลาย ดังแสดงในรูปที่ 2.1 หรืออยู่ในสภาพะหลอมเหลว ดังแสดงในรูปที่ 2.2 โดยการนำพอลิเมอร์ลงในภาชนะที่มีรูขนาดเล็ก จากนั้นให้พลังงานไฟฟ้าเพื่อให้เกิดความต่างศักย์ไฟฟ้าตรงบริเวณปลายรูขนาดเล็กของภาชนะบรรจุและวัสดุรองรับเมื่อความต่างศักย์ไฟฟ้าถึงจุดที่แรงทางไฟฟ้าสามารถอาซานะแรงตึงผิวของพอลิเมอร์ได้ พอลิเมอร์จะดีดออกจากปลายภาชนะบรรจุไปที่วัสดุรองรับเกิดเส้นไยในระดับนาโนเมตร ปัจจุบันเทคนิคการปั่นเส้นไยด้วยระบบไฟฟ้าสถิตได้รับความสนใจเป็นอย่างมาก เนื่องจากสามารถผลิตเส้นไยขนาดตั้งแต่ 10 จนถึง 1,000 นาโนเมตร อัตราส่วนของพื้นผิวต่อปริมาตร (Surface Area to Volume Ratio) สูงถึง 1,000 เท่า เมื่อเทียบกับเส้นไยที่ผลิตด้วยเทคนิคทั่วไป เส้นไยระดับนาโนเมตรมีน้ำหนักเบาและมีพื้นที่ผิวสัมผัสสูง [4]



รูปที่ 2.1 การปั่นขึ้นรูปเส้นไยด้วยระบบไฟฟ้าสถิตของพอลิเมอร์ที่อยู่ในรูปสารละลาย [4]



รูปที่ 2.2 การบันทึกรูปเส้นใยของพอลิเมอร์ที่อยู่ในสภาวะหลอมเหลว [4]

การทำงานของกระบวนการบันทึรูปเส้นใยด้วยระบบไฟฟ้าสถิต ประกอบด้วยส่วนประกอบสำคัญ 3 ส่วน คือ แหล่งกำเนิดศักย์ไฟฟ้ากำลังสูง (High Voltage DC Supply) หลอดบรรจุสารละลายที่ติดเข็มโลหะ (Syringe with Metal Needle) และวัสดุรองรับ (Collector) การทำงานของกระบวนการบันทึรูปเส้นใยด้วยระบบไฟฟ้าสถิต เริ่มจากการให้ศักย์ไฟฟ้าแรงสูงแก่สารละลายพอลิเมอร์ หรือพอลิเมอร์ที่หลอมเหลวผ่านเข็มโลหะที่มีเส้นผ่าศูนย์กลางขนาดเล็ก ทำให้แรงผลักทางไฟฟ้าในสารละลายพอลิเมอร์เพิ่มขึ้น เมื่อศักย์ไฟฟ้าเพิ่มขึ้น จากการหยดสารละลายรูปทรงกลมบนปลายเข็ม จะเริ่มเปลี่ยนรูปร่างเป็นรูปโคนเมื่อแรงผลักทางไฟฟ้ามีค่าเท่ากับแรงตึงผิวของสารละลายพอลิเมอร์ และเมื่อแรงผลักทางไฟฟ้ามีค่ามากกว่าแรงตึงผิวของสารละลายพอลิเมอร์สารละลายจะพุ่งออกจากปลายของโคนไปยังวัสดุรองรับ สารละลายจะพุ่งเป็นแนวตรงในระยะหนึ่งและจะผ่านเข้าไปในส่วนของ Whipping Instability ซึ่งจะเกิดการระเหยของตัวทำละลาย เส้นใยของของแข็งมีเส้นผ่าศูนย์กลางขนาดเล็กจะตกช้อนทับกันบนวัสดุรองรับในลักษณะที่ไม่ทอ (Non-Woven) ในส่วนของเชื้อฉีดที่บรรจุสารละลายพอลิเมอร์ จะต้องมีการควบคุมให้มีอัตราการไหลที่สม่ำเสมอโดยวิธีต่างๆ เช่น แรงโน้มถ่วงของโลก (Gravitational Force) ปั๊ม (Syringe Pump) และแรงดันกําชา (Pressure Gas) เป็นต้น ในส่วนของวัสดุรองรับก็มีหลายชนิด เช่น เพลท (Stationary Plate) และดรัม (Rotating Drum) และการใช้สารละลาย เช่น น้ำ เป็นต้น จากกระบวนการบันทึรูปเส้นใยด้วยระบบไฟฟ้าสถิต จะเห็นได้ว่ามีขั้นตอนต่างๆ ซึ่งแต่ละขั้นตอนก็มีปัจจัยที่เกี่ยวข้อง ซึ่งส่งผลต่อลักษณะทางสัณฐานวิทยา และคุณสมบัติของเส้นใยนาโนที่ได้ [2]

2.1.3.1 ชนิดของการบวนการป่นเส้นโดยระบบไฟฟ้าสถิต

กระบวนการป่นเส้นโดยระบบไฟฟ้าสถิตเป็นกระบวนการที่สามารถนำไปประยุกต์ใช้ได้หลากหลาย ในปัจจุบันมีนักวิจัยพยายามดัดแปลงกระบวนการป่นเส้นโดยระบบไฟฟ้าสถิตไปในรูปแบบต่างๆ เพื่อให้ได้เส้นที่มีลักษณะที่ตรงกับการนำไปใช้งาน ชนิดของการบวนการป่นเส้นโดยระบบไฟฟ้าสถิตจำแนกได้ตามชนิดของเข็มที่ใช้และชนิดของสารละลายพอลิเมอร์ที่นำมาใช้ ถ้าแบ่งตามการเรียงตัวของส่วน Capillary และเข็มโลหะ สามารถแบ่งได้เป็น 3 ประเภท คือ

ก. Single Configuration ใช้ Capillary ขึ้นเดียวและเข็มโลหะอันเดียวซึ่งเป็นแบบที่ง่ายที่สุด ใช้สารละลายพอลิเมอร์เพียงชนิดเดียวหรืออาจจะเป็นพอลิเมอร์หลายชนิดแต่ละลายในตัวทำละลายชนิดเดียว

ข. Side by Side Configuration เป็นการเรียงตัวด้านข้าง โดยใช้ Capillary 2 ขั้นที่มีสารละลายพอลิเมอร์ 2 ชนิด เทคนิคนี้ใช้สำหรับต้องการเส้นที่มีส่วนผสมของพอลิเมอร์ 2 ชนิด แต่พอลิเมอร์ทั้ง 2 ชนิด มีการละลายที่แตกต่างกันจึงต้องแยกละลายพอลิเมอร์ทั้ง 2 ออกจากกันโดยการใช้เทคนิคนี้จะต้องคำนึงถึงค่าการนำไฟฟ้าของสารละลายทั้ง 2 ให้มีค่าใกล้เคียงกัน

ค. Coaxial Configuration เป็นเทคนิคใหม่ที่ทำให้เส้นโดยนาโนมีลักษณะเป็น Core-Shell โดยลักษณะของ Capillary จะประกอบด้วย Capillary อันใหญ่ที่มี Capillary อันเล็กอยู่ด้านใน ภายใน Capillary จะบรรจุสารละลายพอลิเมอร์สองชนิดที่ละลายเข้ากันไม่ได้ โดยพอลิเมอร์ที่ต้องการให้เป็น Core จะบรรจุอยู่ในหลอดด้านใน นอกจากนั้นยังสามารถแบ่งชนิดของกระบวนการป่นเส้นโดยระบบไฟฟ้าสถิต ตามชนิดของพอลิเมอร์ที่ใช้สามารถแบ่งได้เป็น 2 ชนิด คือ

ก. Polymer Solution สารละลายพอลิเมอร์ เทคนิคนี้เป็นเทคนิคที่ใช้กันมากที่สุด โดยนำพอลิเมอร์ที่ต้องการทำให้เป็นเส้นในนาโนมาละลายในตัวทำละลายที่เหมาะสม

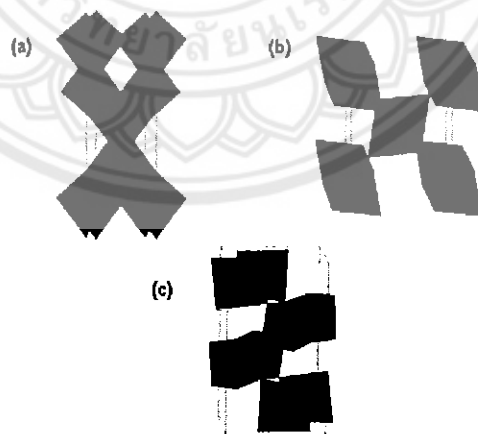
ข. Polymer Melt พอลิเมอร์หลอมเหลว เทคนิคนี้เป็นกระบวนการป่นเส้นโดยระบบไฟฟ้าสถิต โดยใช้อุณหภูมิที่สูงจนพอลิเมอร์ที่เป็นของแข็งหลอมเป็นของเหลว ตัวอย่างของพอลิเมอร์ที่ใช้ เช่น Polyethylene และ Polypropylene เป็นต้น [5]

ตารางที่ 2.1 ตัวอย่างพอลิเมอร์ที่ใช้กระบวนการปั๊มเส้นไปด้วยระบบไฟฟ้าสถิตและการนำไปใช้ [2]

Polymer	Solvent	Concentration	Perspective Application
Nylon6,6, PA-6,6	Formic Acid	10 wt.%	Protective Clothing
Polyurethanes, PU	Dimethyl Formamide	10 wt.%	Electric, Filter
Collagen-PEO	Hydrochloric Acid	1–2 wt.%	Wound Healing, Tissue Engineering
Polyaniline (PANI)/PEO	Chloroform	2–4 wt.%	Conductive Fiber
Polyvinylcarbazole	Dichlormethane	7.5 wt.%	Sensor, Filter
Cellulose Acetate, CA	Acetone, Acetic Acid, Dimethylacetamide	12.5–20 wt.%	Membrane
PLGA PLGA(PLA/PGA) = (85/15)	Tetrahydrofuran: Dimethylformamide (1:1)	1 g/20 ml	Scaffold for Tissue Engineering
Polyvinil Alcohol, PVA	Distilled Water	8–16 wt.%	Drug Delivery System
Polylactic Acid, PLA	Dichloromethane	14 wt.%	Drug Delivery System
Polyethylene Oxide, PEO	Distilled Water	7–10 wt.%	Electret Filter, Blend other Polymer
Polyacrylic Acidpolypyrene Methanol, PAA-PM	Dimethyl Formamide	-	Optical Sensor
Polyvinyl Phenol, PVP	Tetrahydrofuran	20, 60% (wt./vol.)	Antimicrobial Agent
Polycaprolactone, PCL	Chloroform: Methanol (3:1)	-	Biomedical Application

2.1.4 ไทเทเนียมไดออกไซด์ (Titanium Dioxide, TiO₂)

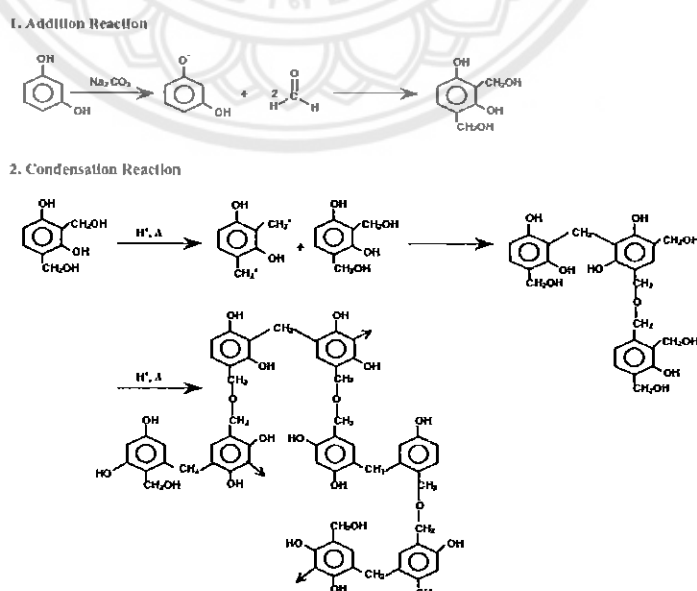
ไทเทเนียมไดออกไซด์ มีสูตรโมเลกุล คือ TiO₂ หรือมีชื่อเรียกอีกอย่างหนึ่งว่า ไทเทเนียม (Titania) ซึ่งถูกจัดเป็นสารประกอบออกไซด์ของโลหะไทเทเนียมซึ่งอยู่ในกลุ่มของโลหะทรานซิชัน ไทเทเนียมไดออกไซด์จัดเป็นสารกึ่งตัวนำชนิดเอ็น (N-Type Semiconductor) ตั้งนั้นไทเทเนียมไดออกไซด์จึงได้รับความสนใจในการใช้งานด้านต่างๆ เนื่องจากมีความเสถียรต่อสารเคมี ไม่มีความเป็นพิษสูง ราคาไม่แพงมาก และมีคุณสมบัติพิเศษที่เป็นประโยชน์อีกมากมายหลายอย่าง และไทเทเนียมไดออกไซด์ถูกนำมาใช้อย่างกว้างขวางในด้านการเปลี่ยนพลังงานแสงอาทิตย์เป็นพลังงานรูปอื่น เช่น เปลี่ยนเป็นพลังงานไฟฟ้าในเซลล์แสงอาทิตย์ (Solar Cell) และเปลี่ยนเป็นพลังงานเคมีในกระบวนการการเร่งปฏิกิริยาแบบใช้แสง (Photocatalysis) เป็นต้น และเนื่องจากไทเทเนียมไดออกไซด์มีค่าดัชนีการหักเหสูงจึงถูกนำมาใช้เป็นสารเคลือบป้องกันการสะท้อนแสงในเซลล์แสงอาทิตย์ชนิดซิลิโคนและในอุปกรณ์ทางด้านการมองเห็นชนิดแผ่นบาง (Thin Film Optical Devices) หลายชนิด ไทเทเนียมไดออกไซด์ยังใช้เป็นตัวตรวจสอบก๊าซ (Gas Sensor) เนื่องจากมีค่าการนำไฟฟ้าเปลี่ยนแปลงไปตามองค์ประกอบของก๊าซที่สภาวะบรรยายกาศ เช่น สามารถใช้ตรวจสอบก๊าซออกซิเจน คาร์บอนไดออกไซด์ และมีเทน เป็นต้น และการประยุกต์ใช้ส่วนของ Anti-Microbial เป็นการใช้อุปกรณานanoของไทเทเนียมไดออกไซด์ ซิงค์ออกไซด์ ซิลเวอร์ หรือเคลย์ Montmorillonite เคลือบบนสิ่งทอทำให้มีคุณสมบัติต่อต้านเชื้อโรค ระงับกลิ่น หมายสำหรับเสื้อผ้าทั่วไป ชุดกีฬา สิ่งทอที่ใช้ในโรงพยาบาลหรือสถานที่ปลอดเชื้อ เป็นต้น ไทเทเนียมไดออกไซด์ที่พบมีด้วยกัน 3 รูปแบบ ได้แก่ บรูไคท์ (Brookite) รูไอล์ (Rutile) และアナเทส (Anatase) [6] และมีโครงสร้าง ดังแสดงในรูปที่ 2.3



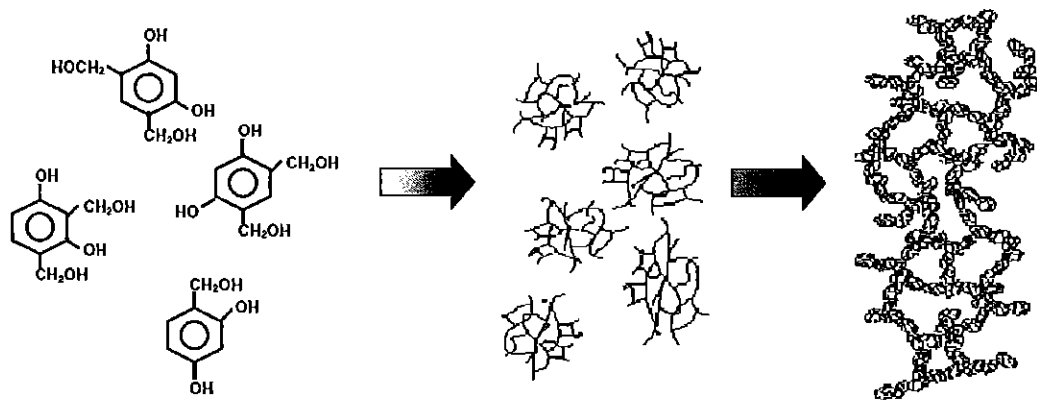
รูปที่ 2.3 โครงสร้างของไทเทเนียมไดออกไซด์ a) アナテส (Anatase) มีโครงสร้างแบบเตต拉โนโนลด์ (Tetragonal) b) รูไอล์ (Rutile) มีโครงสร้างแบบเตต拉โนโนลด์ (Tetragonal) c) บรูไคท์ (Brookite) มีโครงสร้างแบบออร์โธรมบิก (Orthorhombic)

2.1.5 เรซอชินอล ฟอร์มัลดีไฮด์เจล (RF Gel)

เรซอชินอล ฟอร์มัลดีไฮด์เจลหรืออาร์.เอฟ.เจล (RF Gel) สามารถเตรียมได้โดยการนำสารเรซอชินอลผสมกับฟอร์มัลดีไฮด์ด้วยอัตราส่วนที่เหมาะสม โดยมีตัวเร่งปฏิกิริยาเป็นตัวช่วยให้เกิดสภาพเจล ปฏิกิริยาการเกิดเจลเป็นปฏิกิริยาคายความร้อน การบ่มเจลจึงต้องทำในภาชนะที่ควบคุมด้วยอุณหภูมิเพื่อให้มีเวลาเพียงพอในการเกิดโครงข่ายเจล ปัจจัยหลักในขั้นตอนที่เกิดเจล คือ ตัวเร่งปฏิกิริยา ปฏิกิริยาที่เกิดขึ้นในขั้นตอนการเกิดเจล คือ Polycondensation เกิดขึ้นในสารตั้งต้นที่ถูกควบคุมอุณหภูมิสารตั้งต้นที่เป็น Aquagel หรือ Alcogel คือ สารตั้งต้นเมื่อใช้น้ำหรือแอลกอฮอล์เป็นตัวทำละลาย ตามลำดับ โดยโครงสร้างและคุณสมบัติส่วนมากของ RF Gel ขึ้นอยู่กับปฏิกิริยานี้และสภาวะที่เกิดปฏิกิริยาดังกล่าว นอกจากนั้นปัจจัยที่ส่งผลกระทบกับคุณสมบัติสุดท้ายของเจลได้ถูกอธิบายไว้ในตารางที่ 2.2 และ 2.3 ปฏิกิริยาที่สำคัญระหว่างเรซอชินอลและฟอร์มัลดีไฮด์จะมีการเกิดปฏิกิริยาในรูปแบบอนุพันธ์ Hydroxymethyl (-CH₂-OH) และเกิดปฏิกิริยาการรวมตัวของอนุพันธ์ Hydroxymethyl อยู่ในรูปแบบของพันธะเมทธิลีน (-CH₂-) และพันธะเมทธิลีโนเรอร์ (-CH₂-OCH₂) [14-16] ดังแสดงในรูปที่ 2.4 และ 2.5 โดยมีอัตราไวน์เป็นสิ่งสำคัญซึ่งทำหน้าที่เป็นตัวเร่งปฏิกิริยาซึ่งทำให้เกิดการก่อตัวเริ่มต้นของเรซอชินอลเป็นประจุลบ (Resoseinol Anion) ซึ่งจะทำปฏิกิริยากับฟอร์มัลดีไฮด์ในปฏิกิริยาการเพิ่ม (Addition Reaction) ซึ่งจะได้ผลิตภัณฑ์เป็น 2, 4 Methylol Resorcinol ซึ่งแสดงในรูปที่ 2.4 ผลิตภัณฑ์ของปฏิกิริยาการเพิ่มจะทำหน้าที่เป็นสารตั้งต้นที่จะทำปฏิกิริยาการควบแน่นตามนาและทำปฏิกิริยาเป็นลักษณะการควบแน่นแบบต่อเนื่อง จะได้โครงข่ายที่มีขนาดเจลที่ใหญ่ขึ้น (7-10 นาโนเมตรในสัมผัสนูนย์คลาง) สามารถสังเกตได้จากความหนืดที่เพิ่มขึ้น ดังแสดงในรูปที่ 2.5 [17]



รูปที่ 2.4 แสดงกลไกระดับโมเลกุลของปฏิกิริยาการเกิด RF Gel [14]



รูปที่ 2.5 การเจริญเติบโตของคลัสเตอร์ของโนโนเนมอร์ของเรซอชินcol พอร์มัลติไฮด์ [18]

หลังจากนั้นทำการแยกเปลี่ยนตัวทำละลายอบแห้งและเผาในสภาวะแก๊สเชื่อมเพื่อให้เกิดการcarbonylation ในเชื้อนให้เป็นcarbonyl ตามลำดับ สำหรับการอบแห้งมีหลายเทคนิค เช่น อบแห้งในสภาวะจุดเนื้อวิกฤตของก้าวcarbonyl ได้ออกไซต์เจลแห้งที่ได้จะถูกเรียกว่า RF Aerogel อบแห้งในบรรยากาศลมร้อนปกติเจลแห้งที่ได้จะถูกเรียกว่า RF Xerogel เป็นต้น หลังจากนั้นนำเจลแห้งไปทำการcarbonylation ในเชื้อนเพื่อให้ได้carbonyl พบร้าcarbonyl ที่ได้จาก RF Gel นั้นมีพื้นที่ผิวและสภาพความเป็นรูพรุนที่สูง โดยที่ปัจจัยที่ส่งผลกระทบต่อคุณสมบัติดังกล่าวถูกรวบรวมไว้ในตารางที่ 2.2 ถึง 2.4

ตารางที่ 2.2 ผลกระทบของการเตรียมเจลและการบ่มเจลต่อคุณสมบัติของ RF Gel [19]

ปัจจัย	ผลกระทบ
ลดความเข้มข้นของสารตั้งต้น (การลด R/F R/W หรืออัตราส่วน R/C)	<ul style="list-style-type: none"> - อนุภาคขนาดเล็กและขนาดรูพรุนที่ได้มีขนาดเล็ก - เพิ่มพื้นที่ผิวของ Xerogels - มีการลดหรือเพิ่มปริมาณของรูพรุน Xerogels ขึ้นอยู่กับค่า pH
ใช้ตัวเร่งปฏิกิริยาที่เป็นกรด	<ul style="list-style-type: none"> - ที่ระดับความเข้มข้นต่ำ RF Gel ที่ได้มีขนาดเล็กผิวเรียบ และมีการกระจายตัวของขนาดของรูพรุนที่กว้าง - ในที่ระดับความเข้มข้นสูง RF Gel ที่ได้มีการกระจายตัวของขนาดของรูพรุนที่แคบมากและอาจลดเวลาในการเกิดเจล
ใช้ตัวเร่งปฏิกิริยาที่เป็นด่าง	<ul style="list-style-type: none"> - ที่ระดับความเข้มข้นสูง RF Gel ที่ได้มีลักษณะเป็นโพลิเมอริกสูง (อนุภาคพอสิเมอร์ขนาดเล็กที่เข้มต่อ กันด้วย คอกหนาดใหญ่ พื้นที่ผิวสูง จุดแข็งทางกลสูง) ลดเวลาในการเกิดเจล - ในที่ระดับความเข้มข้นต่ำ RF Gel ที่ได้จะมีลักษณะเป็น คอลลอยด์ (อนุภาคขนาดใหญ่ที่เข้มต่อ กันด้วย คอกแอบ พื้นที่ผิวต่ำ จุดแข็งทางกลต่ำ)
pH เจลที่เพิ่มขึ้น	<ul style="list-style-type: none"> - เพิ่มพื้นที่ผิวและรูพรุนของคาร์บอน Aerogels - ไม่มีนัยสำคัญการเพิ่มพื้นที่ผิวของคาร์บอน Xerogels - เพิ่มปริมาณรูพรุนของคาร์บอน Xerogels ที่มีความเข้มข้นของสารตั้งต้น
การบ่มเจล	<ul style="list-style-type: none"> - ช่วยให้มีเวลาในการเกิดโครงสร้างตาข่ายของเจลมากขึ้น

ตารางที่ 2.3 ผลกระทบของตัวทำละลายแลกเปลี่ยนและการอบแห้งต่อคุณสมบัติของ RF Gel [19]

ปัจจัย	ผลกระทบ
ตัวทำละลายแลกเปลี่ยน	<ul style="list-style-type: none"> - จำเป็นสำหรับการทำแห้งในระบบ Supercritical CO₂ หรือทำแห้งแบบระเหิดแห้ง - ช่วยให้การระเหยแห้งเกิดขึ้นได้ง่ายขึ้น - การลดลงของความตึงเครียดที่บนพื้นผิวการระเหยในระบบ Subcritical - เ洁แห้งที่ได้จะถูกเรียกว่า Xerogels ซึ่งมีการหดตัวของรูพรุนส่งผลให้รูพรุนเล็กลงและปริมาณรูพรุนลดลง แต่ความแข็งแรงทางกลของ洁แห้งจะเพิ่มขึ้น
การทำแห้งในบรรยากาศปกติ	<ul style="list-style-type: none"> - เ洁แห้งที่ได้จะถูกเรียกว่า Aerogels - เ洁ที่ได้มีนัยสำคัญของการหดตัวของรูพรุนส่งผลให้พื้นที่ผิวสูงปริมาณรูพรุนมาก
การทำแห้งในบรรยากาศปกติด้วย CO ₂	<ul style="list-style-type: none"> - เจลแห้งที่ได้จะถูกเรียกว่า Cryogels - การระเหิดของตัวทำละลายแข็งพบรูพรุนที่ได้ส่วนใหญ่จะซึ่งอยู่กับเมโซพอร์ความหนาแน่นของตัวทำละลายจะต้องคงที่ด้วยการแข็งแข็ง
การทำแห้งในบรรยากาศปกติด้วยอะซิโตน	<ul style="list-style-type: none"> - เช่นเดียวกับการทำแห้งในบรรยากาศปกติด้วย CO₂ แต่ด้วยความดันที่ลดลงจำเป็นต้องมีการแลกเปลี่ยนตัวทำละลาย - ต้องใช้อุณหภูมิสูงในการเปลี่ยนอะซิโตนเป็นสภาพวิกฤตอาจทำให้洁แห้งเกิดการสลายตัวทางความร้อนบางส่วน
การทำแห้งแบบระเหิดแห้ง	<ul style="list-style-type: none"> - เ洁แห้งที่ได้จะถูกเรียกว่า Cryogels - การระเหิดของตัวทำละลายแข็งพบรูพรุนที่ได้ส่วนใหญ่จะซึ่งอยู่กับเมโซพอร์ความหนาแน่นของตัวทำละลายจะต้องคงที่ด้วยการแข็งแข็ง

ตารางที่ 2.4 ผลกระทบของการไฟโลไรซิสต์อุณหภูมิบดีของคาร์บอนที่ได้จาก RF Gel [19]

ปัจจัย	ผลกระทบ
เพิ่มอุณหภูมิไฟโลไรซิส	<ul style="list-style-type: none"> - ลดปริมาณออกซิเจน - ลดพื้นที่ผิวของคาร์บอน Aerogels และ Xerogels - ลดปริมาณรูพรุนของคาร์บอน Aerogels และ Xerogels - เพิ่มการกระจายขนาดของ Macropore - เพิ่มการกระจายขนาดของ Microporen เมื่อใช้อัตราส่วน R/C ที่ต่ำมาก
เพิ่มเวลาในการไฟโลไรซิส	<ul style="list-style-type: none"> - เพิ่มความกว้างของรูพรุน ปริมาณ และพื้นที่ผิว

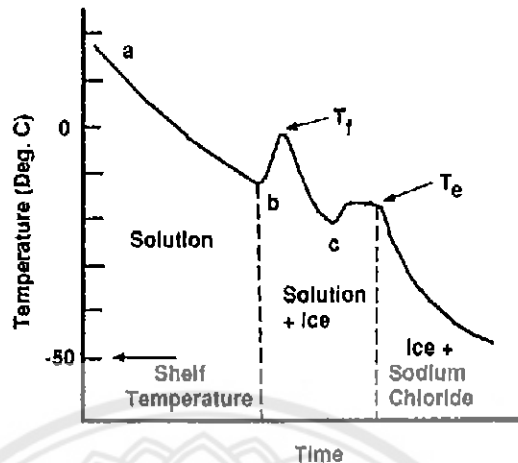
2.1.6 การทำแห้งแบบระเหิดแห้ง (Freeze Drying)

วิธีการทำแห้งแบบระเหิดแห้ง (Freeze Drying หรือ Lyophilization) เป็นเทคนิคการทำให้สารมีความเข้มข้นและทำให้อยู่ในรูปผลิตภัณฑ์ขั้นสุดท้ายในลักษณะแห้ง โดยอาศัยหลักการแข็งแข็ง (Freezing) เพื่อเปลี่ยนสถานะของตัวอย่างจากสถานะของเหลวมาเป็นของแข็ง จากนั้นจึงกระตุ้นให้เกิดการระเหิดของน้ำกลายเป็นไอโดยตรง โดยอาศัยหลักการปรับความดันไอของน้ำให้มีค่าลดต่ำลงกว่าจุดสมดุลสามสถานะหรือจุดร่วมสาม (Triple Point) ของน้ำ จากหลักการดังกล่าวทำให้สามารถลดปริมาณน้ำในตัวอย่างลงได้จนกระทั่งอยู่ในระดับที่สามารถเก็บผลิตภัณฑ์ไว้ได้นานโดยที่มีการเสื่อมคุณภาพน้อยที่สุด

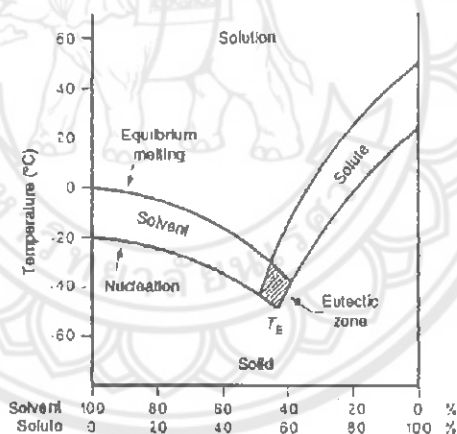
หลักการของการทำแห้งแบบระเหิดแห้ง ซึ่งโดยน้ำในตัวอย่างนั้นสามารถแบ่งออกได้เป็นสองรูปแบบด้วยกัน คือ น้ำอิสระ (Free Water) และน้ำที่ถูกยึดจับไว้ในโครงสร้างของสิ่งมีชีวิต (Bounded Water) โดยทั่วไปพบน้ำทั้งสองในอัตราร่วงร้อยละ 80 ต่อ 20 ดังนั้นหลักการทำแห้งโดยวิธีนี้จึงแบ่งออกเป็นสองขั้นตอน ขั้นตอนแรก คือ การไล่น้ำอิสระ เกิดขึ้นได้ง่ายเนื่องจากมีแรงยึดเหนี่ยวกับโมเลกุลของสารตัวอย่างไม่มากนัก ส่วนขั้นตอนที่สอง คือ การไล่น้ำในส่วนที่ถูกยึดไว้ในส่วนโครงสร้างของสาร ถูกไล่ออกไปได้ยากต้องใช้พลังงานในการถลายน้ำหรือแรงยึดเหนี่ยวในปริมาณที่สูง ขั้นตอนในการทำแห้งแบบระเหิดแห้งแบ่งออกเป็น 3 ขั้นตอนดังนี้

ก. การแข็งแข็ง (Freezing) เป็นการเปลี่ยนสถานะของน้ำจากสถานะของเหลวให้อยู่ในรูปของแข็ง โดยเริ่มจากการลดอุณหภูมิของน้ำจากอุณหภูมิห้องลงมาเป็นศูนย์องศาเซลเซียส ทำให้เกิดการเปลี่ยนสถานะเป็นของแข็งบางส่วน เรียกน้ำที่แข็งตัวนี้ว่า Nucleation Ice ส่วนของแข็งที่คล้ายน้ำอยู่นั้นมีความเข้มข้นสูงขึ้นเนื่องจากการเปลี่ยนสถานะของน้ำนั้นเปรียบเสมือนตัวทำละลายมีปริมาณลดลง ทำให้สารตัวอย่างแข็งขึ้นมากขึ้นจนถึงขั้นของการตกผลึก เรียกจุดนี้ว่า Eutectic ณ อุณหภูมิที่หั้น้ำและตัวถูกละลายเกิดการตกผลึกควบคู่กันเรียกว่า Eutectic

Temperature (TE) แสดงลักษณะการเปลี่ยนแปลงของอุณหภูมิของน้ำและสารละลายตัวอย่าง ดังรูปที่ 2.6 และ 2.7

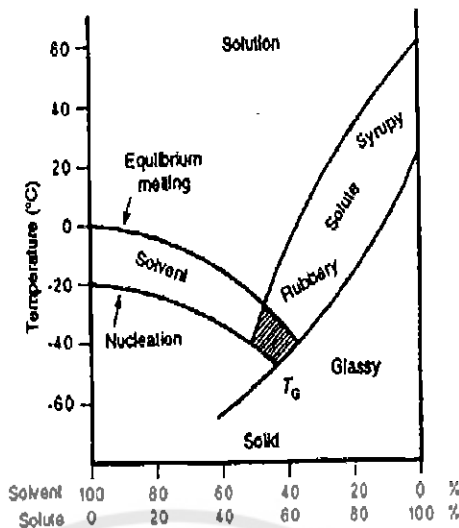


รูปที่ 2.6 กราฟการเปลี่ยนแปลงของอุณหภูมิของน้ำในการทำแท้แห้งแบบระเหิดแห้ง (Freezing Curve)



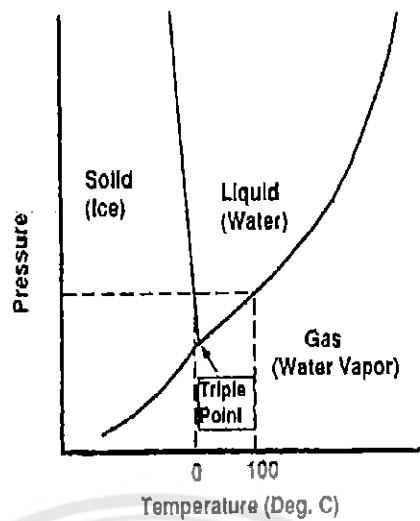
รูปที่ 2.7 กราฟการเปลี่ยนสถานะ (State Diagram) ในระหว่างการตกผลึกของสารผสมสองชนิด

แต่ในทางปฏิบัติตัวถุกละลายไม่เกิดการตกผลึกอย่างสมบูรณ์ เนื่องจากเกิดการเพิ่มขึ้น ของความหนืดโดยเริ่มจากสภาพคล้ายน้ำเชื่อม (Syrupy) เข้มข้นขึ้นเรื่อยๆ จนกระทั่งเป็นลักษณะยาง เนื้ียว (Rubbery) ดังแสดงในรูปที่ 2.8 ท้ายที่สุดเมื่อปริมาณน้ำอิสระลดลงจนตัวที่สุด (เกิดการ แข็งตัวหมด) จึงเกิดการตกผลึกลงมาเป็นผลึกที่มีขนาดและรูปร่างไม่แน่นอน (Amorphous Glass) ที่ มีน้ำเยื่อดอยู่ในโครงสร้างของผลึกอยู่ (Bounded Water) เรียกอุณหภูมิ ณ จุดที่สารตัวอย่างเกิดการตก ผลึกว่า Glass Transition Temperature (TG) และเรียกอุณหภูมิที่ทำให้เกิดการໄเล่น้ำออกໄไปได้ใน ปริมาณสูงกว่า Collapse Temperature (TC)



รูปที่ 2.8 กราฟการเปลี่ยนสถานะ (State Diagram) ของการตกผลึก

ข. การระเหิด (Sublimation หรือ Primary Drying) หลังจากการแข็งแข็งจนกระทั้งได้ลักษณะตัวอย่างเป็นผลึกน้ำแข็งแล้ว ในสถานะของแข็งนี้ พบว่าค่าความดันไอของน้ำมีค่าลดลงจนกระทั้งต่ำกว่าจุดสมดุลสถานะหรือจุดร่วมสาม (Triple Point) ทำให้ลักษณะการเปลี่ยนแปลงบนเส้นสมดุลสถานะเกิดขึ้นได้เพียงสองสถานะ คือ จากสถานะของแข็งสามารถเปลี่ยนสถานะเป็นไอได้โดยตรงโดยไม่ต้องเกิดการหลอมตัวเป็นของเหลว ก่อน เรียกปรากฏการณ์ดังกล่าวว่า การระเหิดแสดงกราฟสมดุลสถานะของน้ำ ดังรูปที่ 2.9 การระเหิดนี้ต้องอาศัยพลังงานจากภายนอกสูงถึง 2800 กิโล焦ลต่อกรัม ของน้ำโดยพลังงานดังกล่าวเป็นตัวพา (Convection) ความร้อนเข้าสู่ชั้นของสารแข็งแข็งเพื่อระเหิดน้ำในรูปอิสระออกจากโครงผลึกสารตัวอย่าง จากแหล่งพลังงานข้างต้นสามารถกระทำได้โดยการใช้ปั๊มสูญญากาศเป็นตัวกำเนิดพลังงาน โดยอาศัยผลต่างของความดันในสารตัวอย่างภายในเครื่องมือเป็นตัวพาไอน้ำออกมาน ความแตกต่างของความดันดังกล่าวต้องสูงกว่า 10-2 มิลลิบาร์ หรืออาจกล่าวได้ว่าเมื่อทำการปรับสภาพความดันไอของน้ำให้ต่ำกว่า 6 มิลลิบาร์ (4.6 มิลลิเมตร proto) ทำให้น้ำเข้าสู่จุดสมดุลสถานะหรือจุดร่วมสาม (Triple Point) จึงทำให้เกิดการพากความร้อนในลักษณะดังกล่าว อย่างไรก็ตามในสภาวะสูญญากาศการระเหิดสามารถเกิดขึ้นได้ที่อุณหภูมิต่ำ 20 ถึง 50 องศาเซลเซียส เนื่องจากค่าความดันไอน้ำลดต่ำลง จึงสามารถขัดน้ำอิสระออกจากสารตัวอย่างได้ที่อุณหภูมิต่ำเป็นการช่วยรักษาความเสถียรของโปรตีนที่สลายตัวด้วยความร้อนได้ง่ายไว้ในขั้นตอนการระเหิดนี้สามารถลดปริมาณความชื้นในผลิตภัณฑ์ให้เหลือต่ำกว่าร้อยละ 20 โดยน้ำหนักแห้งได้ในขณะที่ยังคงปริมาณรวมของโครงสร้างสารเท่ากับขั้นตอนในการแข็งแข็ง



รูปที่ 2.9 กราฟสมดุลสถานะของน้ำ (Phase Diagram)

ค. การไล่น้ำในส่วน Bounded form Desorption ซึ่งเกิดจากการให้ความร้อนภายใต้สภาวะสูญญากาศ โดยพบว่าการให้ความร้อนในช่วงอุณหภูมิ 20-40 องศาเซลเซียส สามารถระเหยน้ำที่เหลืออยู่ในโครงสร้างของโปรตีนออกมайдี เป็นการระเหยของน้ำโดยอาศัยผลต่างของอุณหภูมิระหว่างภายในตัวอย่างและพื้นผิวของตัวทำความร้อนที่ให้เข้าไป ขั้นตอนนี้เป็นขั้นตอนที่ใช้เวลานานมากที่สุด ผลิตภัณฑ์ที่ได้มีลักษณะดังนี้

- ทำให้สารเสียสภาพหรือสูญเสียค่ากิจกรรมการทำงานน้อยที่สุด
- ความชื้นต่ำกว่าร้อยละ 1.5 โดยน้ำหนักแห้ง
- ลักษณะเป็นผงแห้งมีรูพรุนเนื่องจากส่วน Bounded Water ถูกดึงออกໄไป
- เมื่อนำมาละลายน้ำใหม่ ไม่เลกฤทธิ์ของน้ำสามารถแทรกเข้าไปในโครงสร้างที่เป็นรูพรุนของสารที่เป็นส่วนของ Bounded Water เดิม ทำให้สารนั้นกลับมาอยู่ในสภาพปกติพร้อมที่ใช้งานได้ดังเดิม (Rehydration)

- ให้ความน่าเชื่อถือในด้านความสะอาด เนื่องจากสามารถทำในสภาพปลอดเชื้อได้อย่างไร้ตามวิธีการดังกล่าวยังมีข้อเสียบางประการ เมื่อเปรียบเทียบกับวิธีการทำแห้งแบบทั่วไปดังนี้
 - ต้นทุนสูงใช้เครื่องมือที่มีราคาแพง (ประมาณ 3 เท่าของการทำแห้งแบบทั่วไป)
 - ใช้พลังงานสูง 2-3 เท่า
 - ใช้เวลาในการทำแห้งแต่ละรอบนาน 24-48 ชั่วโมง
 - มีโอกาสทำลายโครงสร้างของผลิตภัณฑ์ เนื่องจากการเปลี่ยนแปลงสภาพพื้นที่และความเข้มข้นของสารละลายเกลือในระหว่างที่สารเกิดการระเหิดแล้วมีความเข้มข้นสูงขึ้นได้ [6]

2.1.7 เครื่องมือที่ใช้ในการวิเคราะห์ลักษณะเฉพาะของผลิตภัณฑ์

2.1.7.1 Scanning Electron Microscopy (SEM)

กล้องจุลทรรศน์อิเล็กตรอนแบบส่องกราด (Scanning Electron Microscopy : SEM) เป็นกล้องจุลทรรศน์อิเล็กตรอนที่มีหลักการทำงานที่ประกอบด้วยแหล่งกำเนิดอิเล็กตรอนซึ่งทำหน้าที่ผลิตอิเล็กตรอนเพื่อป้อนให้กับระบบ โดยกลุ่มอิเล็กตรอนที่ได้จากแหล่งกำเนิดจะถูกเร่งด้วยสนามไฟฟ้า จากนั้นกลุ่มอิเล็กตรอนจะผ่านเลนส์รวมรังสี (Condenser Lens) เพื่อทำให้กลุ่มอิเล็กตรอนกล้ายเป็นลำอิเล็กตรอน ซึ่งสามารถปรับให้ขนาดของลำอิเล็กตรอนใหญ่หรือเล็กได้ตามต้องการ หากต้องการภาพที่มีความคมชัดจะปรับให้ลำอิเล็กตรอนมีขนาดเล็ก หลังจากนั้นลำอิเล็กตรอนจะถูกปรับระยะโฟกัสโดยเลนส์ใกล้ลัตตุ (Objective Lens) ลงไปบนผิวชิ้นงานที่ต้องการศึกษา หลังจากลำอิเล็กตรอนถูกกราดลงบนชิ้นงานจะทำให้เกิดอิเล็กตรอนทุติยภูมิ (Secondary Electron) ขึ้น ซึ่งสัญญาณจากอิเล็กตรอนทุติยภูมนี้จะถูกบันทึกและแปลงไปเป็นสัญญาณทางอิเล็กทรอนิกส์และถูกนำไปสร้างเป็นภาพบนจอโทรทัศน์ต่อไปและสามารถบันทึกภาพจากหน้าจอโทรทัศน์ได้เลย [8]

2.1.7.2 X-ray Diffraction Spectroscopy (XRD)

X-ray Diffraction Spectroscopy (XRD) เรียกว่า XRD เป็นเครื่องมือที่ใช้ในการวิเคราะห์สมบัติของวัสดุ โดยอาศัยหลักการของการยิงรังสีเอกซ์ที่ทราบความยาวคลื่นไปกระทบชิ้นงานและเกิดการเลี้ยวเบนของรังสีที่มุ่งต่างๆ กัน โดยมีตัว Detector เป็นตัวรับข้อมูล เนื่องจากสารประกอบและธาตุที่มีส่วนผสมหรือโครงสร้างต่างกัน จะทำให้เกิดการเลี้ยวเบนที่มุ่งที่มีองค์ต่างกัน ข้อมูลที่ได้รับจะสามารถบ่งบอกชนิดของสารประกอบที่มีอยู่ในสารตัวอย่างและสามารถนำมาใช้ศึกษารายละเอียดเกี่ยวกับโครงสร้างของผลึกของสารตัวอย่างนั้นๆ ได้ นอกจากนี้ข้อมูลที่ได้ยังสามารถนำมาหาปริมาณคร่าวๆ ของปริมาณความเป็นผลึก ขนาดของผลึกและความเค้นของสารประกอบในสารตัวอย่างได้ [9]

2.1.7.3 Thermoogravimetric Analysis (TGA)

Thermoogravimetric Analysis (TGA) เป็นเครื่องมือการวิเคราะห์น้ำหนักที่เปลี่ยนแปลงของวัสดุ ตัวอย่างเปรียบเทียบกับอุณหภูมิที่มีการเพิ่มขึ้นเมื่อได้รับความร้อน วิธีนี้หมายความว่าสำหรับการเปลี่ยนแปลงสภาพที่เกี่ยวข้องกับการถูกชักก้าวหรือการระเหยของน้ำ ซึ่งเกิดจากการเปลี่ยนเฟสหรือการแตกตัวของวัสดุ (Decomposition) การทำงานของเครื่องมือนี้ คือ เครื่องมือนี้จะมีตาชั่งที่มีความละเอียดมากๆ และมีความไวต่อการเปลี่ยนแปลงสูง เมื่อใส่สารลงไปจะมีการบันทึกค่าและเมื่อให้ความร้อนเครื่องจะบันทึกค่าการเปลี่ยนแปลงของน้ำหนักอย่างต่อเนื่อง สามารถอ่านค่าการเปลี่ยน แปลงน้ำหนักจากกราฟที่ได้จากการวิเคราะห์สมบัติทางความร้อนของวัสดุ การวิเคราะห์สมบัติทางความร้อน เป็นการวิเคราะห์การเปลี่ยนแปลงสมบัติทางกายภาพหรือทางเคมีของวัสดุที่

ขึ้นกับอุณหภูมิและเวลา ผลการวิเคราะห์จะให้ข้อมูลเกี่ยวกับความร้อนที่วัสดุดูดหรือหาย เมื่อเกิดการเปลี่ยนแปลงอุณหภูมิหรือเวลา และการเปลี่ยนแปลงขนาดของวัสดุ [10]

2.2 งานวิจัยที่เกี่ยวข้อง

ในปี ค.ศ. 2007 J.Supapool ศึกษาการสังเคราะห์เส้นใยขนาดนาโนของไทเทเนียมไดออกไซด์ พบร่วมสามารถเตรียมได้จากวิธีโซลเจลผสมกับการปั่นเส้นโดยระบบไฟฟ้าสถิตโดยใช้สารละลายไทเทเนียมเตトラไฮโดรโพร็อกไซด์ พอลีไวนิลไฟโอลิโคนและเอทานอลในการปั่นเส้นโดยคอมโพสิตระหว่างไทเทเนียมไดออกไซด์ และพอลีไวนิลไฟโอลิโคน ภายใต้ความต่างศักย์ 16 กิโลโวลต์ การเผาเส้นใยที่ 500 องศาเซลเซียส ทำให้เส้นใยไทเทเนียมไดออกไซด์มีการเปลี่ยนเฟสจากอสัณฐานไปเป็นเฟสผสมที่ประกอบด้วยอนาเทสและรูไทล์ พร้อมกับการถลายน้ำของพอลิเมอร์ออกจากเส้นใยการเปลี่ยนตัวรองรับในกระบวนการปั่นเส้นจากตัวรองรับในแบบราบเป็นตัวรองรับทรงกลมแบบหมุนได้ส่งผลให้เส้นใยเกิดการจัดเรียงในทิศทางเดียวกันที่มีขนาดเส้นผ่านศูนย์กลางของเส้นใยก่อนเพา 220 นาโนเมตร และหลังเผา 120 นาโนเมตร ในงานวิจัยนี้ได้มีการศึกษาผลของการบ่มสภาพเส้นใยไทเทเนียมไดออกไซด์และการเติมกรดอะซิติกในสารละลายตั้งต้น ต่อลักษณะทางสัณฐานและการเปลี่ยนแปลงของเส้นใยภายหลังการเผา ซึ่งผลจากการศึกษา พบร่วมการบ่มสภาพเส้นใยไทเทเนียมไดออกไซด์ภายใต้ความชื้นสูงสามารถลดสัดส่วนรูไทล์ในเส้นใยหลังการเผาได้ หากแต่การบ่มสภาพเส้นใยไทเทเนียมไดออกไซด์ภายใต้ความชื้นสูงนั้นส่งผลให้เกิดการเปลี่ยนแปลงลักษณะทางสัณฐานของเส้นใยไทเทเนียมไดออกไซด์ ความหนาของขั้นเส้นใยเป็นอีกตัวแปรหนึ่งที่ส่งผลต่อกระบวนการบ่มเส้นใย การเติมกรดลงในสารละลายสำหรับการปั่นเส้นในน้ำ สามารถลดอุณหภูมิการตกผลึกอนาเทสให้มีค่าต่ำลงได้ และพบว่าขนาดผลึกเฉลี่ยของเส้นใยไทเทเนียมไดออกไซด์ มีขนาดเล็กลงในสภาวะที่มีกรดอะซิติก รวมทั้งสามารถลดการกระจายตัวของเส้นใยที่เกิดขึ้น เมื่อเพิ่มปริมาณการเติมกรดอะซิติกมากขึ้น [7]

ในปี ค.ศ. 2008 Guo-Dong Fu และคณะ ได้ทำการศึกษาการสังเคราะห์เส้นใยนาโนพอลิเมอร์จากกระบวนการปั่นเส้นโดยระบบไฟฟ้าสถิต ซึ่งกระบวนการดังกล่าวได้รับการยอมรับว่าเป็นกระบวนการที่เป็นไปได้สำหรับการผลิตเส้นใยที่มีเส้นผ่านศูนย์กลางอย่างต่อเนื่องในระดับไมโครเมตรถึงในระดับนาโนเมตร พบร่วมการปั่นเส้นโดยระบบไฟฟ้าสถิตเมื่อรวมกับการปั่นแบบมีแกนร่วมหรือเมื่อรวมกับเทคนิคอื่นๆ นั้นสามารถปรับปรุงพื้นที่ผิวของเส้นใยนาโนพอลิเมอร์ได้ นอกจากนี้สามารถนำมาใช้ในการเน้นการทำงานและการประยุกต์ใช้เส้นใยนาโนพอลิเมอร์ในด้านต่างๆ ได้อีกด้วย [12]

ในปี ค.ศ. 2010 M.Thovicha ได้ศึกษาเกี่ยวกับการผลานไทเทเนียมไดออกไซด์หรือไทเทเนียมเข้าไปในอาร์ເອົຈາລ ຊຶ່ງຕະຫຼາມດ້ວຍເທົ່ານີກໂຄສະນາ ໂພລືຄອນເດັ່ນເຂົ້າຂອງເຮົອຊິນລົກກັບຝອຣົມລັດໄຢົດ ໂດຍໃຊ້ກຽດຂະອະຈິກຕິກເປັນຕົ້ນເຮັ້ງປົງປົງກິຈເກາະໄຫວ້າໄທເທົ່ານີກໂຄສະນາໄຕ (TTIP) ຖຸກໃຊ້ເປັນສາຍຕັ້ງ-ຕັ້ນຂອງໄທເທົ່ານີກໂຄສະນາໄຕອຸກໄຢົດ ຊຶ່ງປົງປົງກິຈເກາະໄຫວ້າໄທເທົ່ານີກໂຄສະນາໄຕອຸກໄຢົດກັບສາຍລາຍອົບເອົນນັ້ນເກີດຄ່ອນຂໍ້າງຮູນແຮງແລະຄາຍຄວາມຮັ້ອນເປັນອ່າງມາກ ດັ່ງນັ້ນໄທເທົ່ານີກໂຄສະນາໄຕອຸກໄຢົດໂຄສະນາຈຶກ

เตรียมขึ้นต่างหากเพื่อชลกรากเกิดปฏิริยาเมื่อเติมลงไปในสารละลายอาร์เอฟ ไทเทเนียมได-ออกไซด์ซลถูกเตรียมด้วยวิธีโซลเจลของ TTIP ที่เวลาบ่มต่างๆ และถูกเติมลงในสารละลายอาร์เอฟ ซึ่งบ่มที่เวลาต่างๆ ด้วย หลังจากนั้นสารผสมจะถูกปั่นไว้อีก 36 ชั่วโมง ก่อนที่นำไปอบที่อุณหภูมิ 80 องศาเซลเซียส และนำไปเผาที่อุณหภูมิ 500 องศาเซลเซียส เป็นเวลา 4 ชั่วโมง เพื่อกำจัดโครงสร้าง อาร์เอฟออก จากการทดลองพบว่าไทเทเนียมได-ออกไซด์ซลทำปฏิริยากับสารละลายอาร์เอฟที่เกิด เป็นกลุ่มก้อนอาร์เอฟ โดยดูได้จากสัญญาณของพันธะไทเทเนียมต่อกับออกซิเจนและการบอนที่ เพิ่มขึ้น ผลิตภัณฑ์ที่ได้มีโครงสร้างรูพรุนแบบเมโซพอร์จากการใช้อาร์เอฟเจล อย่างไรก็ตามอัตราส่วน โดย mole ของเรซอชินอลต่อฟอร์มัลดีไฮด์และอัตราส่วนโดย mole ของเรซอชินอลต่อตัวเร่งปฏิริยาที่มีค่า สูงจะส่งผลต่อปฏิริยาระหว่างอาร์เอฟเจลและไทเทเนียมได-ออกไซด์โซล ทำให้ได้พื้นที่ผิวของ ผลิตภัณฑ์ที่มาก ส่วนปริมาณไทเทเนียมได-ออกไซด์โซลที่ใช้มีผลต่อการเกิดพื้นที่ผิวอย่างมากและทำ ให้ผลิตภัณฑ์มีความเป็นรูพรุนแบบเมโซพอร์ ระยะเวลาในการบ่มของอาร์เอฟเจลและไทเทเนียมได- ออกไซด์โซล ทำให้เกิดโครงร่างตาข่ายและการเกิดโครงร่างตาข่ายนี้ทำให้ปฏิริยาของสารละลาย อาร์เอฟกับไทเทเนียมได-ออกไซด์โซลเกิดอย่างไม่สมบูรณ์ อย่างไรก็ตามปฏิริยาของอาร์เอฟกับ ไทเทเนียมได-ออกไซด์จะเกิดขึ้นโดยที่อาร์เอฟเจลและไทเทเนียมได-ออกไซด์โซลเกิดเป็นโครงร่างตา ข่ายเข้มขางกันและเกิดโครงร่างตาข่ายของไทเทเนียมได-ออกไซด์พร้อมกันด้วย ซึ่งเหตุผลดังกล่าว ส่งผลให้เกิดการเพิ่มขึ้นของพื้นที่ผิวและรูพรุนของผลิตภัณฑ์ [13]

ในปี ค.ศ. 2011 Shinuke Nagamine และคณะ ได้ทำการศึกษาการสังเคราะห์เส้นใยนาโนของ Carbon-Core/TiO₂ Sheath โดยใช้กระบวนการปั่นเส้นโดยระบบไฟฟ้าสถิต ร่วมกับปฏิริยาโซล เจล โดยเส้นใยนาโน Carbon-Core/TiO₂ Sheath สังเคราะห์มาจากการปั่นเส้นโดย PVA โดยกระบวนการทางไฟฟ้าสถิตลงในสารละลายไทเทเนียมเตトラไออกซิโพแทกโนไซด์ (TTIP) โดยมีऐปเทนเป็น ตัวทำละลาย เส้นใยนาโนคอมโพสิต PVA/TiO₂ จะถูกเปลี่ยนเป็นเส้นใยนาโน Carbon/TiO₂ โดยการเผาในบรรยากาศกําชื่นในตอรเจนที่อุณหภูมิ 600 องศาเซลเซียส และพบว่าไทเทเนียมได-ออกไซด์เป็นผลึกแบบอนาเทส เคลือบอยู่ที่ผิวของคาร์บอน ซึ่งผลึกไทเทเนียมได-ออกไซด์ตั้งกล่าวมีความหนาในระดับสิบนาโนเมตร [11]

บทที่ 3

วิธีดำเนินโครงการ

งานวิจัยนี้เป็นการศึกษาหาสภาวะที่เหมาะสมในการเตรียมเส้นไยแม่แบบที่ผลิตจาก PVA และ RF Gel/PVA โดยกระบวนการปั้นเส้นโดยด้วยระบบไฟฟ้าสถิต โดยการควบคุมปัจจัยต่างๆ เช่น ศักย์ไฟฟ้า อัตราการไหลของสารละลาย และระยะห่างระหว่างปลายเข็มกับตัวรองรับ แล้วนำมาสังเคราะห์เป็นเส้นไยกลางของไทด์เนียมไดออกไซด์

3.1 อุปกรณ์และสารเคมี

3.1.1 วัสดุและสารเคมี

- 3.1.1.1 เรซอร์ซินอล (Resorcinol)
- 3.1.1.2 ฟอร์มาลดีไฮด์ (Formaldehyde)
- 3.1.1.3 Sodium Carbonate (Na_2CO_3)
- 3.1.1.4 Titanium Isoproxide (TTIP)
- 3.1.1.5 Heptane
- 3.1.1.6 Polyvinyl Alcohol (PVA)

3.1.2 อุปกรณ์และเครื่องมือ

- 3.1.2.1 เครื่องปั่นเส้นโดยด้วยระบบไฟฟ้าสถิต
- 3.1.2.2 ตู้อบแห้งด้วยความร้อน
- 3.1.2.3 ตู้อบแห้งแบบแขวน
- 3.1.2.4 เตาเผาอุณหภูมิสูง
- 3.1.2.5 Syringe Pump
- 3.1.2.6 กระজิกนาฬิกา
- 3.1.2.7 บีกเกอร์

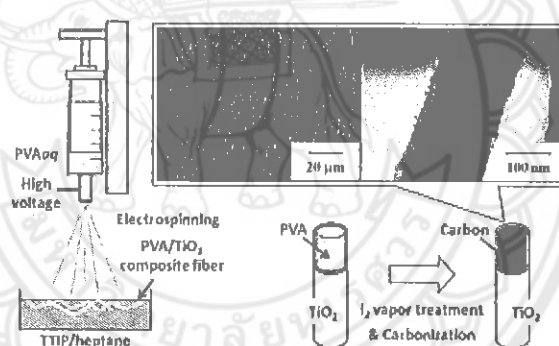
3.2 ขั้นตอนการดำเนินการทดลอง

3.2.1 การเตรียมสารละลายนองสารตั้งต้นโลหะ

การเตรียมซึ่งจะเตรียมได้จากการนำ Titanium Isoproxide (TTIP) ละลายใน Heptane ที่ความเข้มข้น 1.0 มิลลิลิตร

3.2.2 การเตรียมเส้นใยที่ใช้เป็นแม่แบบจากพอลิเมอร์

ในการเตรียมนั้นจะมีพอลิเมอร์ 2 ชนิดที่จะใช้เป็นเส้นใยแม่แบบ คือ RF Gel มีอัตราส่วนโดยไมล คือ R/F เท่ากับ 0.5 R/W เท่ากับ 0.15 และ C/W เท่ากับ 10 มิลลิต่อลูกบาศก์เมตร (R: Resorcinol, F: Formaldehyde, W: Distilled Water และ C: Sodium Carbonate) และ PVA ที่น้ำไม่เลกุล 65000 (PVA 10 กรัมต่อน้ำ 100 มิลลิลิตร) ซึ่งจะเตรียมด้วยเทคนิคการปั้นเส้นใยด้วยระบบไฟฟ้าสถิต โดยใช้สารละลายนองสารตั้งต้นเพื่อศึกษาหาค่าศักย์ไฟฟ้าและอัตราการไหลที่เหมาะสมกับการขึ้นรูปเส้นใยขนาดนาโนเมตร โดยรายละเอียดในการขึ้นรูปแสดงในแผนภาพ ดังทัวข้อที่ 3.5



รูปที่ 3.1 ตัวอย่างการทดลอง

3.2.3 การสังเคราะห์เส้นใยกลวงของไทเทเนียมไดออกไซด์ขนาดนาโนเมตร

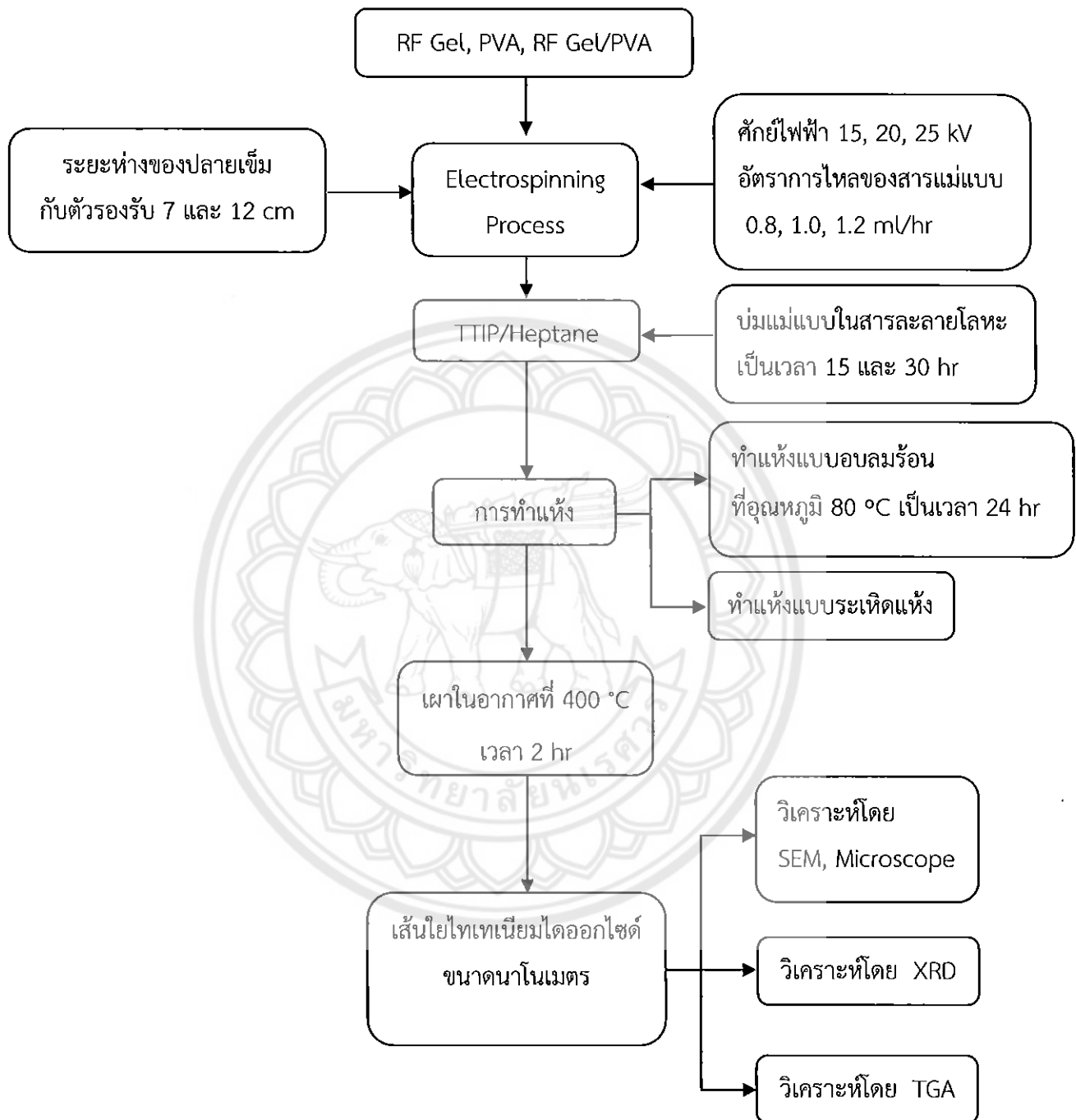
3.2.3.1 กำหนดให้ตัวรองรับวางห่างจากปลายเข็มเป็นระยะทางซึ่งอยู่ในช่วงที่ศึกษา

3.2.3.2 บ่มเส้นใยแม่แบบในสารละลายนองสารตั้งต้นโลหะในอุณหภูมิห้องเป็นเวลาซึ่งอยู่ในช่วงที่ศึกษา

3.2.3.3 การทำแห้งโดยวิธีการทำแห้งแบบอบลมร้อนที่อุณหภูมิ 80 องศาเซลเซียส เป็นเวลา 24 ชั่วโมง และการทำแห้งแบบระเหิดแห้ง

3.2.3.4 เผาในบรรยากาศอากาศที่อุณหภูมิ 400 องศาเซลเซียส เป็นเวลา 2 ชั่วโมง เพื่อไล่สารแม่แบบและเพื่อเปลี่ยนโลหะไทเทเนียมให้เป็นเส้นใยกลวงของไทเทเนียมไดออกไซด์ขนาดนาโนเมตร

3.3 แผนภาพการทดลอง



รูปที่ 3.2 แผนภาพกระบวนการทดลอง

3.4 การวิเคราะห์ลักษณะเฉพาะของผลิตภัณฑ์

3.4.1 การวิเคราะห์ขนาดและลักษณะของเส้นใยที่ได้โดย SEM และ Microscope

การวิเคราะห์ขนาดเส้นผ่าศูนย์กลางและลักษณะของเส้นใยในจะตรวจสอบโดยใช้เทคนิค Scanning Electron Microscope (รุ่น HITASHI S3400) โดยใช้ Accelerating Voltage 15 กิโลโวลต์ และทำการบันทึกภาพที่กำลังขยาย 5,000 และ 10,000 เท่า และตรวจสอบโดยกล้อง Microscope ที่กำลังขยาย 100 เท่า ส่วนการศึกษาขนาดของเส้นใยจะทำการวิเคราะห์โดยทำการวัดขนาดเส้นใยจากภาพถ่าย SEM และ Microscope ด้วยโปรแกรม Semafore v.5.0 ซึ่งในการวิเคราะห์ขนาดจะทำการสุ่มตัวอย่างจำนวน 50 ตัวอย่าง เพื่อหาค่าเฉลี่ยและส่วนเบี่ยงเบนมาตรฐานของขนาดเส้นใย

3.4.2 การวิเคราะห์ความเป็นผลึกของไหเทเนียมไดออกไซด์โดย XRD

การวิเคราะห์ความเป็นผลึกจะตรวจสอบโดยใช้เทคนิค X-ray Diffractometer โดยวัดค่ามุมเลี้ยวเบนจากรังสี Cu Ka ที่มีค่าการเลี้ยวเบนอยู่ในช่วง 20 คือ 20-80

3.4.3 การวิเคราะห์เสถียรภาพทางความร้อนโดย TGA

การวิเคราะห์เสถียรภาพทางความร้อนจะตรวจสอบโดยใช้เทคนิค Thermogravimetric Analysis ภายใต้สภาวะของไมโครเจน จากอุณหภูมิ 50-600 องศาเซลเซียส ด้วยอัตราการขึ้นของอุณหภูมิที่ 5 องศาเซลเซียสต่อนาที

บทที่ 4

ผลการทดลองและการวิเคราะห์

งานวิจัยนี้แบ่งออกเป็น 4 ส่วน คือ ส่วนแรกศึกษาปัจจัยที่มีผลต่อการขึ้นรูปเส้นใยแม่แบบที่ผลิตจาก PVA เพื่อหาสภาวะที่เหมาะสมในการขึ้นรูปเส้นใยแม่แบบเพื่อที่จะนำไปเปรียบเทียบกับเส้นใยแม่แบบที่ผลิตจาก RF Gel/PVA ส่วนที่สองศึกษาการขึ้นรูปเส้นใยแม่แบบที่ผลิตจาก RF Gel เนื่องจาก RF Gel ที่ขึ้นรูปแล้วไม่มีลักษณะเป็นเส้นใย ดังนั้นในส่วนที่สามจึงได้ทำการศึกษาการขึ้นรูปเส้นใยแม่แบบที่ผลิตจาก RF Gel/PVA และศึกษาปัจจัยที่มีผลต่อการขึ้นรูปเส้นใยแม่แบบ และในส่วนที่สี่เป็นการศึกษาการขึ้นรูปเส้นใยไฟเบรนี่มโดยกระบวนการดูดซับน้ำเส้นใยแม่แบบ RF Gel/PVA และ PVA

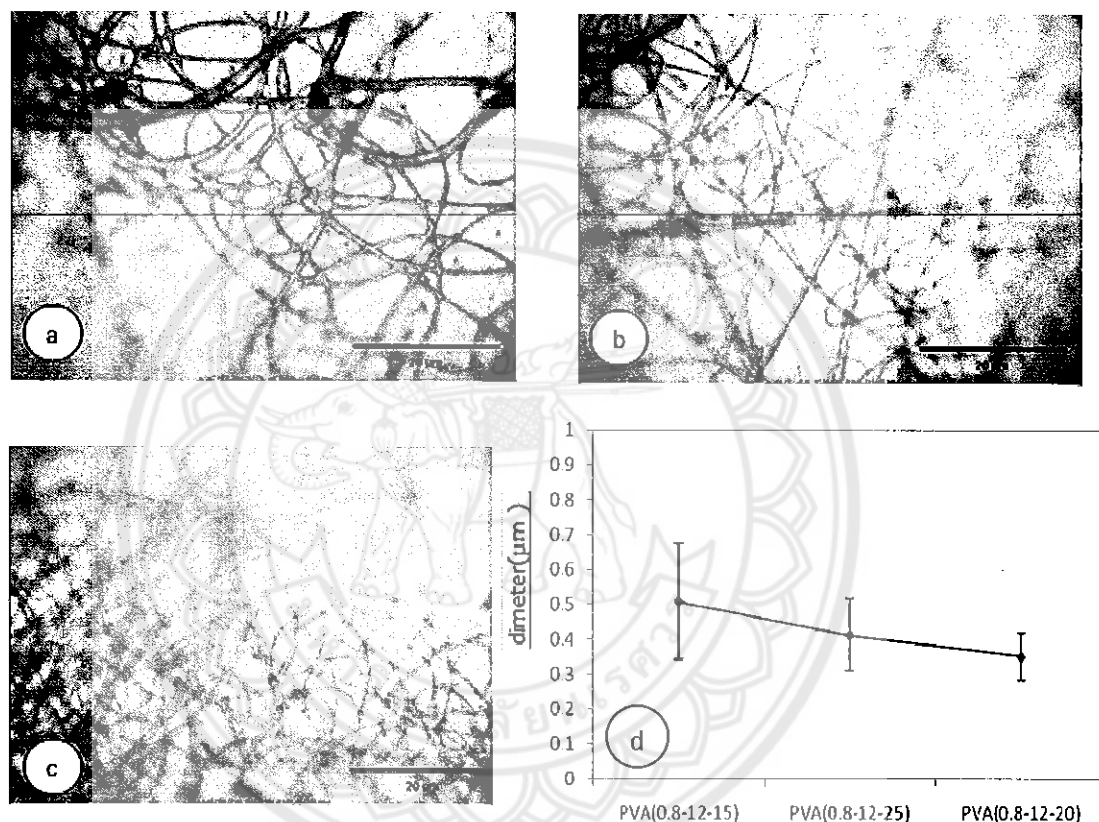
4.1 ปัจจัยที่มีผลต่อการขึ้นรูปเส้นใยแม่แบบที่ผลิตจาก PVA

การศึกษาในส่วนนี้เป็นการศึกษาปัจจัยที่มีผลต่อการขึ้นรูปเส้นใยแม่แบบที่ผลิตจาก PVA (น้ำหนักโมเลกุลเฉลี่ย 65000) ที่ความเข้มข้นของ PVA 10 %wt (ใช้น้ำเป็นตัวทำละลาย) โดยปัจจัยที่มีผลต่อการขึ้นรูปเส้นใยแม่แบบดังกล่าว คือ ศักย์ไฟฟ้า อัตราการไหลของสารแม่แบบ และระยะห่างระหว่างปลายเข็มกับตัวรองรับ โดยผลกระทบจากการทดลอง พบร่วงปัจจัยดังกล่าวมีผลต่อการเกิดเส้นใย ขนาดของเส้นใย และลักษณะของเส้นใยแม่แบบ เป็นดังนี้

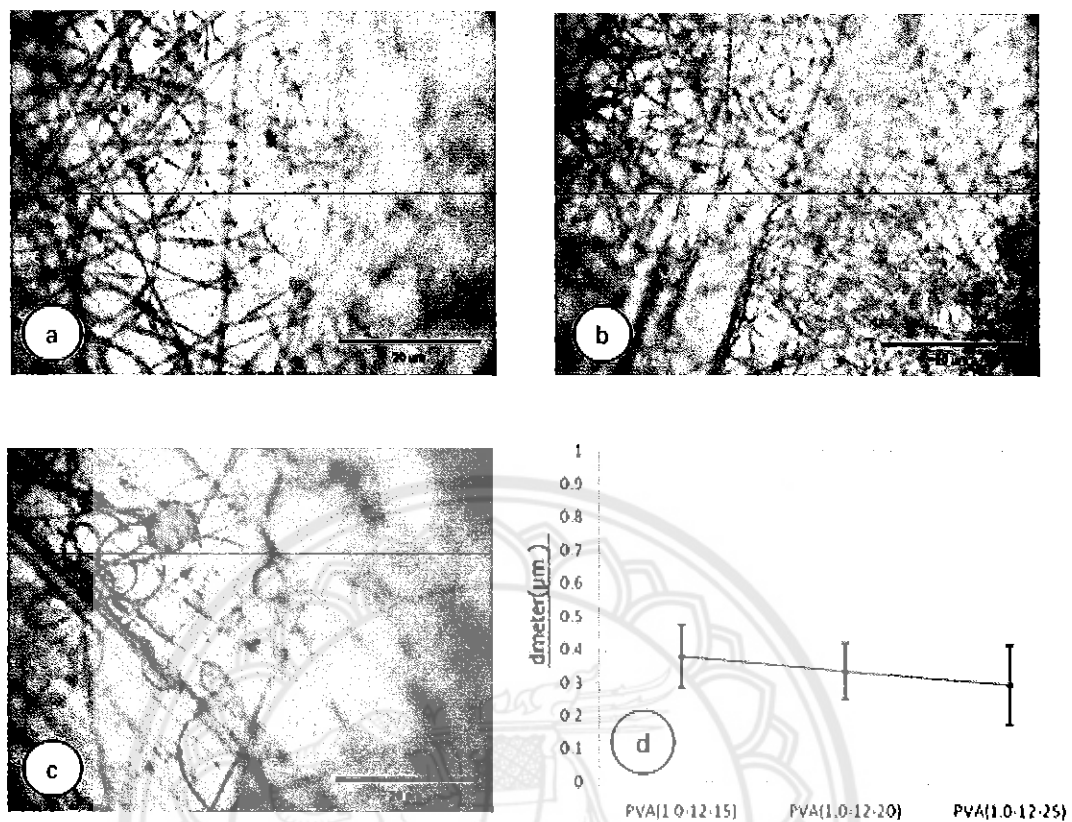
4.1.1 ผลกระทบของศักย์ไฟฟ้าต่อลักษณะเส้นใยแม่แบบที่ผลิตจาก PVA

จากการทดลองผลของศักย์ไฟฟ้าต่อลักษณะเส้นใยแม่แบบ จากการใช้สารละลาย PVA ที่ความเข้มข้น 10 %wt ผลิตเป็นเส้นใยแม่แบบ โดยใช้ค่าศักย์ไฟฟ้าที่ 15-25 กิโลโวลต์ จากการศึกษา พบร่วงค่าศักย์ไฟฟ้าทุกค่าสามารถทำให้เกิดเส้นใยได้แต่เส้นใยที่ได้มีลักษณะทางกายภาพที่ไม่แตกต่างกันมาก คือ มีลักษณะเป็นเส้นใยยาวต่อเนื่องเหมือนกัน ดังแสดงในรูปที่ 4.1-4.3 ทั้งนี้เมื่อทำการเปลี่ยนแปลงค่าศักย์ไฟฟ้าเป็น 15 20 และ 25 กิโลโวลต์ โดยควบคุมปัจจัยต่อไปนี้ คือ ระยะห่างระหว่างปลายเข็มกับตัวรองรับ 12 เซนติเมตร และอัตราการไหลของสารแม่แบบ 0.8 มิลลิลิตรต่อชั่วโมง พบร่วงขนาดของเส้นใยที่ได้ คือ 508.2 413.2 และ 351.6 นาโนเมตร ตามลำดับ สำหรับอัตราการไหลของสารแม่แบบ 1.0 มิลลิลิตรต่อชั่วโมง พบร่วงขนาดของเส้นใยที่ได้ คือ 379.6 334.2 และ 293.6 นาโนเมตร ตามลำดับ และอัตราการไหลของสารแม่แบบ 1.2 มิลลิลิตรต่อชั่วโมง พบร่วงขนาดของเส้นใยที่ได้ คือ 357.8 358.8 และ 309.6 นาโนเมตร ตามลำดับ จากผลการทดลองการเพิ่มศักย์-ไฟฟ้าแสดงให้เห็นว่าการเพิ่มศักย์ไฟฟ้าส่งผลให้ขนาดของเส้นใยแม่แบบมีขนาดเส้นผ่านศูนย์กลางลดลงเล็กน้อย ซึ่งผลการทดลองดังกล่าวสอดคล้องกับงานวิจัยก่อนหน้านี้ [22, 23] เนื่องจากการเพิ่มศักย์ไฟฟ้าระหว่างปลายเข็มกับตัวรองรับจะทำให้มีแรงทางไฟฟ้าผลักสารแม่แบบออกจากปลาย

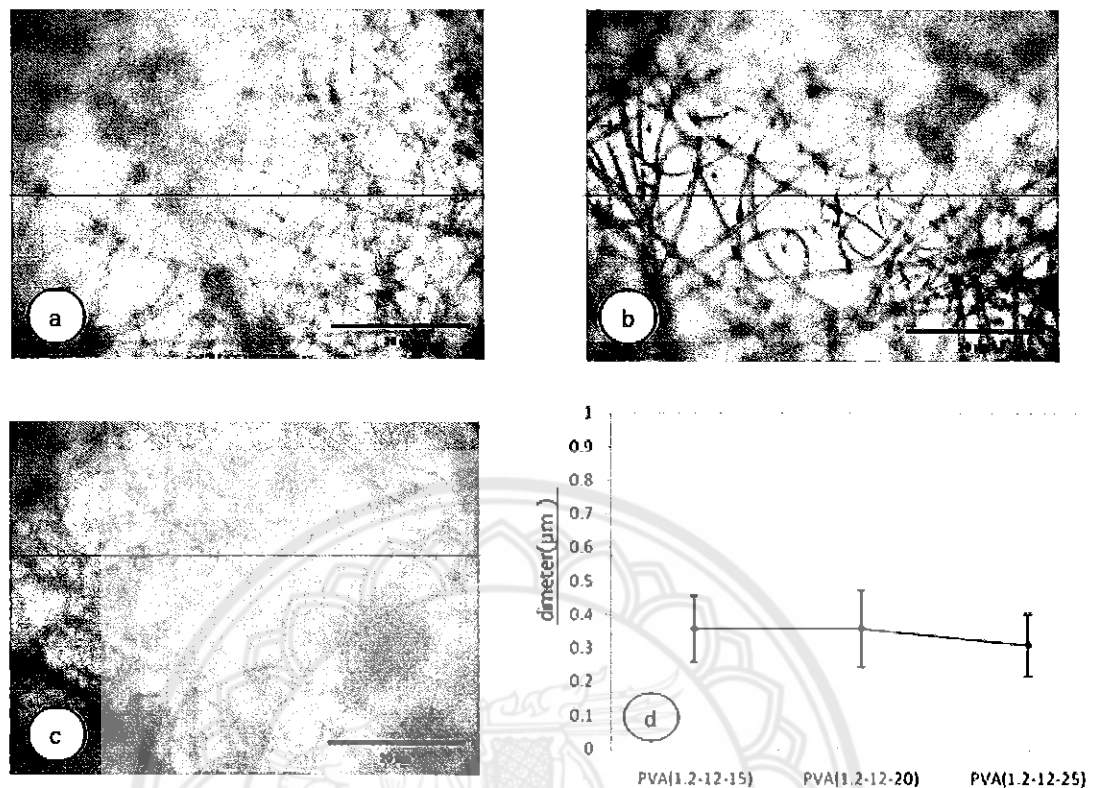
เข้มเพิ่มขึ้นหรือกล่าวอีกนัยหนึ่ง คือ มีการยึดของสารแม่แบบมากขึ้น ส่งผลให้เส้นใยแม่แบบที่ได้มีขนาดเล็กลง ในส่วนการกระจายขนาดของเส้นใยนั้นมีแนวโน้มที่ลดลงเมื่อศักย์ไฟฟ้าเพิ่มขึ้น ทั้งนี้อาจเนื่องจากค่าศักย์ไฟฟ้าที่มีค่าน้อย (15 กิโลโวลต์) ทำให้มีแรงดึงสารแม่แบบออกจากปลายเข็มไม่มากพอ เพราะในการดึงสารแม่แบบออกมาเป็นเส้นใยแรงทางไฟฟ้าจะต้องมีค่ามากกว่าแรงตึงผิวของสารแม่แบบ [3] ส่งผลให้มีแรงในการยึดสารแม่แบบได้ไม่สม่ำเสมอ จึงทำให้ขนาดเส้นใยมีการกระจายขนาดมากกว่าการขึ้นรูปโดยใช้ศักย์ไฟฟ้าที่มีมากขึ้น (20 และ 25 กิโลโวลต์ ตามลำดับ)



รูปที่ 4.1 ลักษณะเส้นใยแม่แบบที่ผลิตจาก PVA ที่อัตราการไฟล 0.8 มิลลิลิตรต่อชั่วโมง และระยะห่าง 12 เซนติเมตร a) ศักย์ไฟฟ้า 15 กิโลโวลต์ b) ศักย์ไฟฟ้า 20 กิโลโวลต์ c) ศักย์ไฟฟ้า 25 กิโลโวลต์ d) แสดงขนาดของเส้นใยแม่แบบ PVA



รูปที่ 4.2 ลักษณะเส้นใยแม่แบบที่ผลิตจาก PVA ที่อัตราการไฮด 1.0 มิลลิลิตรต่อชั่วโมง และระยะห่าง 12 เซนติเมตร a) ศักย์ไฟฟ้า 15 กิโลโวลต์ b) ศักย์ไฟฟ้า 20 กิโลโวลต์ c) ศักย์ไฟฟ้า 25 กิโลโวลต์ d) แสดงขนาดของเส้นใยแม่แบบ PVA

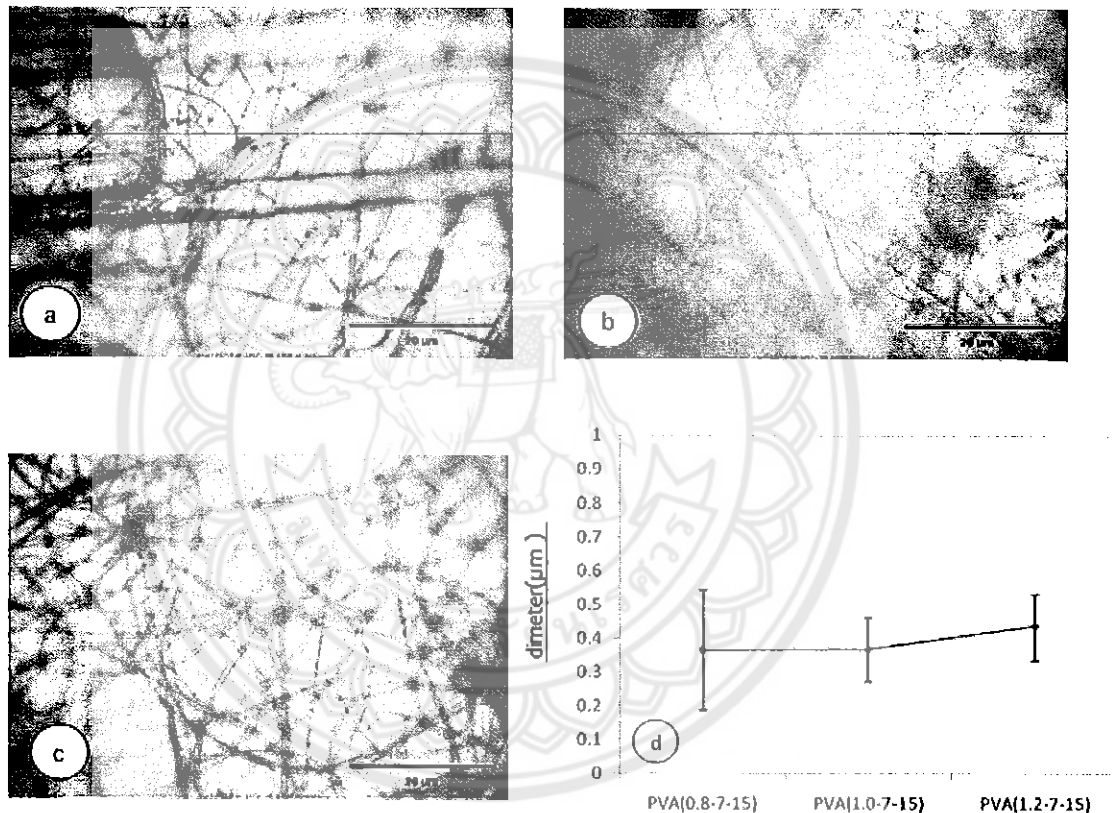


รูปที่ 4.3 ลักษณะเส้นใยแม่แบบที่ผลิตจาก PVA ที่อัตราการไหล 1.2 มิลลิลิตรต่อชั่วโมง และระยะห่าง 12 เซนติเมตร a) ศักย์ไฟฟ้า 15 กิโลโวลต์ b) ศักย์ไฟฟ้า 20 กิโลโวลต์ c) ศักย์ไฟฟ้า 25 กิโลโวลต์ d) แสดงขนาดของเส้นใยแม่แบบ PVA

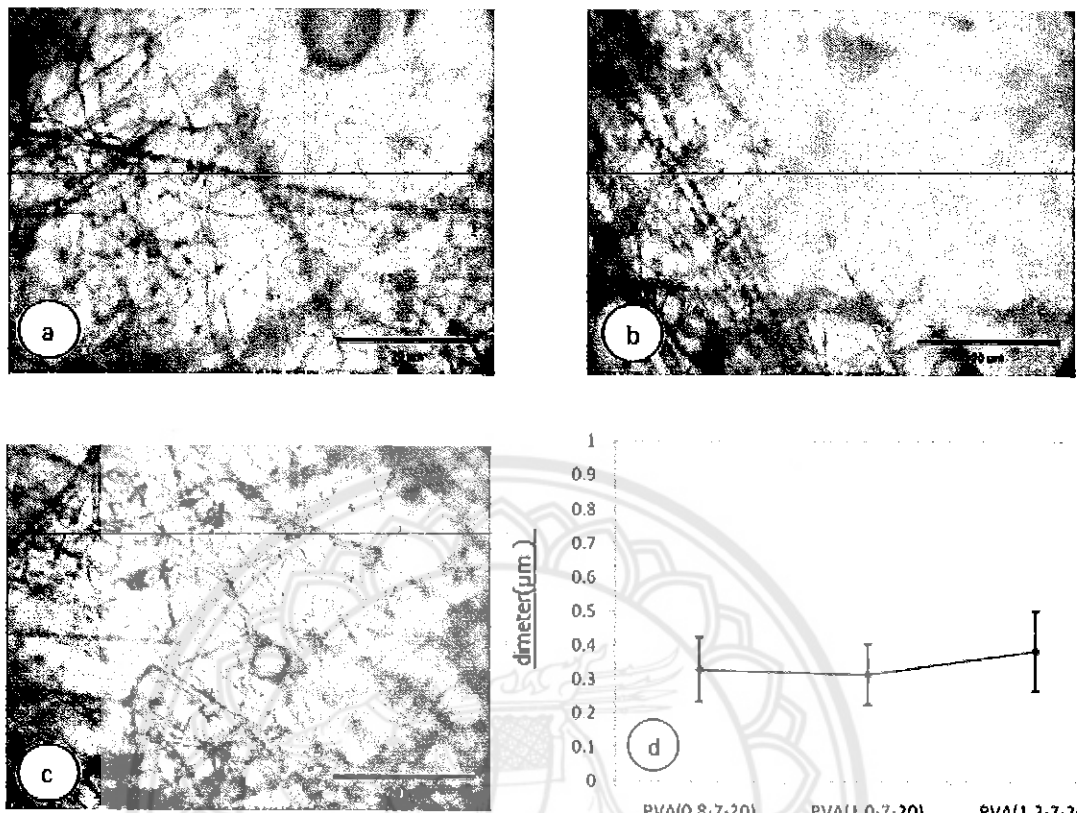
4.1.2 ผลกระทบของอัตราการไหลต่อลักษณะเส้นใยแม่แบบที่ผลิตจาก PVA

จากการทดลองผลของอัตราการไหลต่อลักษณะเส้นใยแม่แบบที่ผลิตจาก PVA โดยทำการปรับอัตราการไหลของสารแม่แบบที่ 0.8-1.2 มิลลิลิตรต่อชั่วโมง จากผลการศึกษา พบร่วมกันทุกสภาวะสามารถผลิตเป็นเส้นใยได้ โดยเส้นใยที่ได้มีลักษณะเป็นเส้นใยยาวต่อเนื่อง ดังแสดงในรูปที่ 4.4-4.6 และเมื่อเพิ่มอัตราการไหลของสารละลายแม่แบบเป็น 0.8 1.0 และ 1.2 มิลลิลิตรต่อชั่วโมง โดยควบคุมปัจจัยต่อไปนี้ คือ ระยะห่างระหว่างปลายเข็มกับตัวรองรับ 7 เซนติเมตร และศักย์ไฟฟ้า 15 กิโลโวลต์ พบร่วมขนาดของเส้นใยที่ได้ คือ 365.2 367.2 และ 437.2 นาโนเมตร ตามลำดับ สำหรับศักย์ไฟฟ้า 20 กิโลโวลต์ พบร่วมขนาดของเส้นใยที่ได้ คือ 328.6 315.2 และ 383.8 นาโนเมตร ตามลำดับ และศักย์ไฟฟ้า 25 กิโลโวลต์ พบร่วมขนาดของเส้นใยที่ได้ คือ 335 313 และ 365.2 นาโนเมตร ตามลำดับ จากผลการทดลองการเพิ่มอัตราการไหลของสารแม่แบบแสดงให้เห็นว่าการเพิ่มอัตราการไหลของสารแม่แบบส่งผลให้ขนาดของเส้นใยแม่แบบมีขนาดเส้นผ่านศูนย์กลางใหญ่ขึ้นเล็กน้อย นอกจากรูปที่ 4.3 พบว่าเมื่อเพิ่มอัตราการไหลของสารแม่แบบยังส่งผลให้เกิดเม็ดสบบเส้นใยมากขึ้น ซึ่งผลการทดลองดังกล่าวสอดคล้องกับงานวิจัยก่อนหน้านี้ [22, 23] ทั้งนี้เนื่องจากสารแม่แบบที่ออกมานั้น

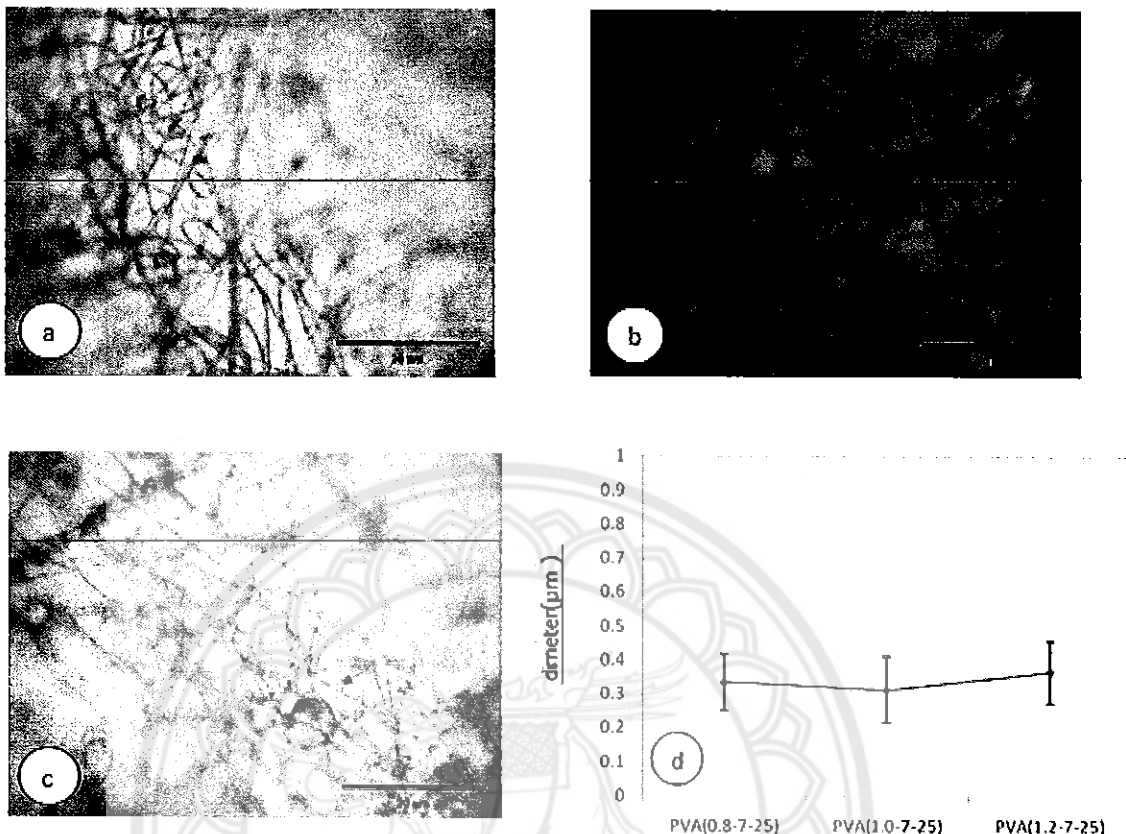
จากปลายเข็มมีอัตราการไหลมากขึ้นหรือกล่าวอีกนัยหนึ่ง คือ มีปริมาณสารแม่แบบออกมากามากขึ้น ส่งผลให้เส้นใยที่ได้มีขนาดใหญ่ขึ้นและการที่อัตราการไหลของสารแม่แบบมากขึ้นยังทำให้การระเหย ของตัวทำละลายในสารละลายแม่แบบมีไม่นานพอจึงทำให้เกิดหยดของสารละลายหรือเกิดเม็ดปีดส์ ขึ้น ในส่วนการกระจายขนาดของเส้นใยนั้นมีแนวโน้มที่ลดลงเมื่ออัตราการไหลของสารแม่แบบเพิ่มขึ้น ทั้งนี้อาจเนื่องจากค่าอัตราการไหลของสารแม่แบบที่มีค่าน้อยทำให้สารแม่แบบท่อออกมากจากปลายเข็ม ยังมีปริมาณที่ไม่สม่ำเสมอจึงทำให้ขนาดเส้นใยมีการกระจายขนาดที่มากกว่าค่าอัตราการไหลที่มาก ขึ้น



รูปที่ 4.4 ลักษณะเส้นใยแม่แบบที่ผลิตจาก PVA ที่ศักย์ไฟฟ้า 15 กิโลโวัตต์ และระยะห่าง 7 เซนติเมตร a) อัตราการไหล 0.8 มิลลิลิตรต่อชั่วโมง b) อัตราการไหล 1.0 มิลลิลิตรต่อชั่วโมง c) อัตราการไหล 1.2 มิลลิลิตรต่อชั่วโมง d) แสดงขนาดของเส้นใยแม่แบบ PVA



รูปที่ 4.5 ลักษณะเส้นใยแม่เบบที่ผลิตจาก PVA ที่ศักย์ไฟฟ้า 20 กิโลโวลต์ และระยะห่าง 7 เซนติเมตร a) อัตราการให้หล 0.8 มิลลิลิตรต่อชั่วโมง b) อัตราการให้หล 1.0 มิลลิลิตรต่อชั่วโมง c) อัตราการให้หล 1.2 มิลลิลิตรต่อชั่วโมง d) แสดงขนาดของเส้นใยแม่เบบ PVA

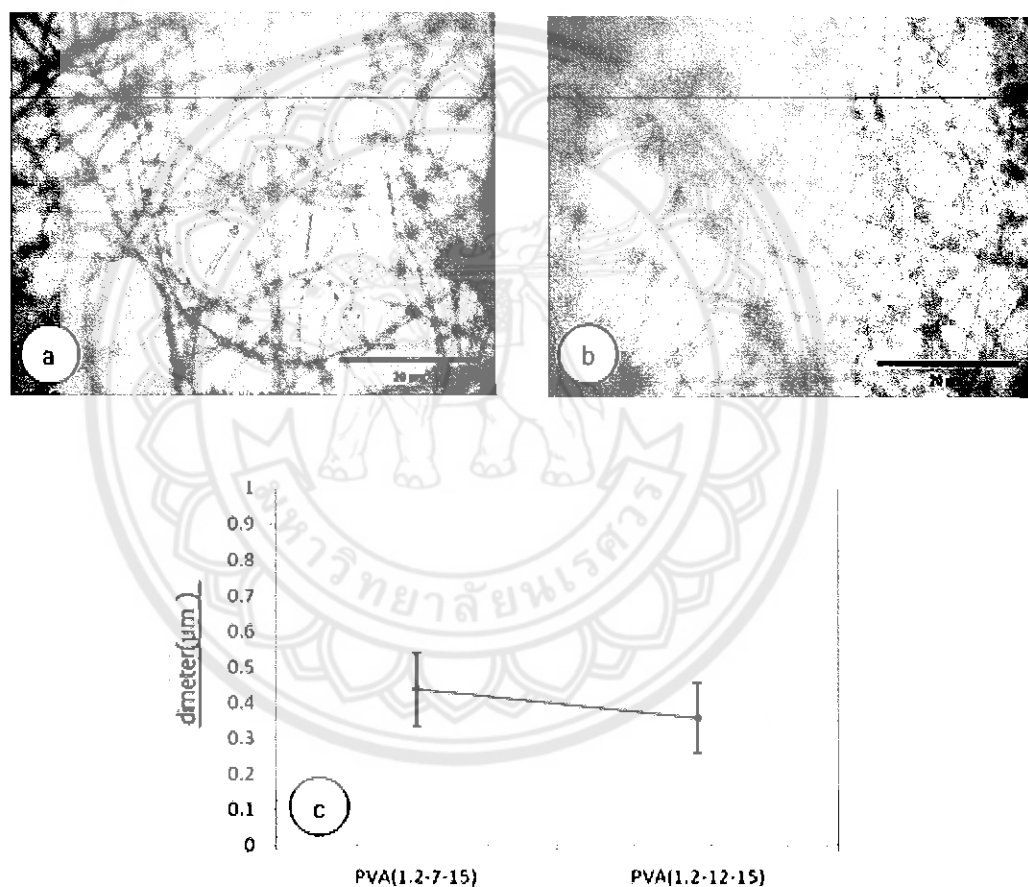


รูปที่ 4.6 ลักษณะเส้นใยแม่แบบที่ผลิตจาก PVA ที่ศักย์ไฟฟ้า 25 กิโลโวลต์ และระยะห่าง 7 เซนติเมตร a) อัตราการให้เหลว 0.8 มิลลิลิตรต่อชั่วโมง b) อัตราการให้เหลว 1.0 มิลลิลิตรต่อชั่วโมง c) อัตราการให้เหลว 1.2 มิลลิลิตรต่อชั่วโมง d) แสดงขนาดของเส้นใยแม่แบบ PVA

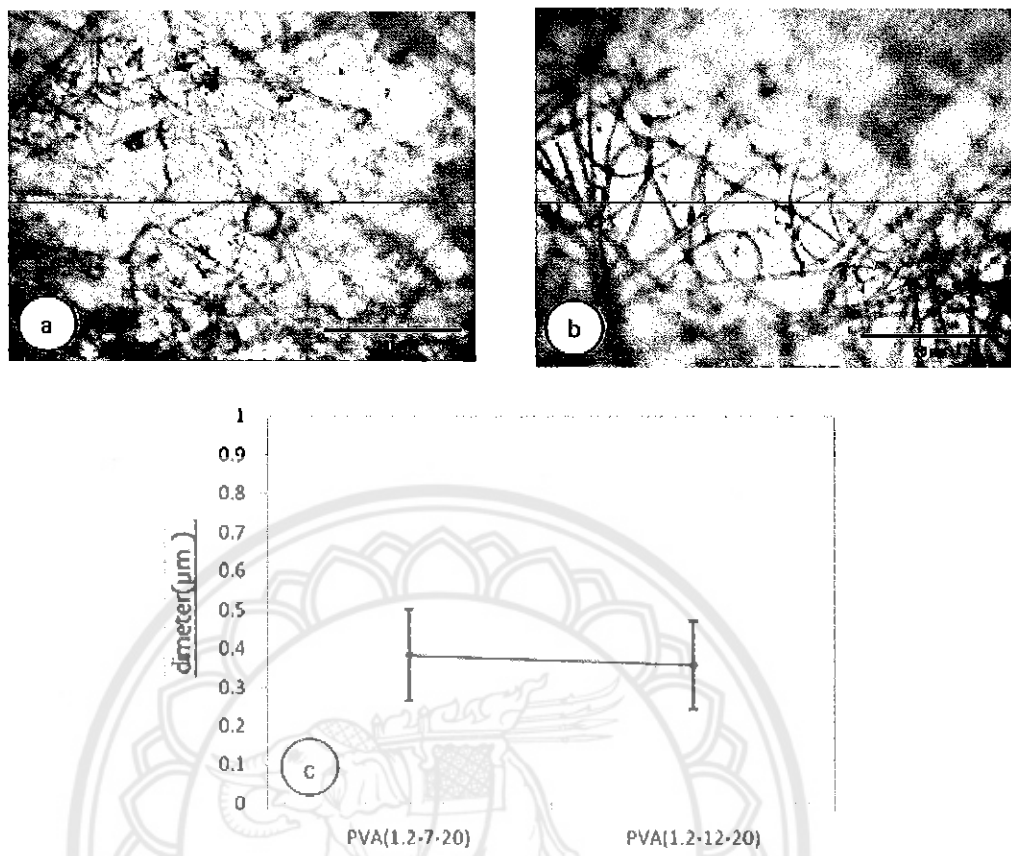
4.1.3 ผลกระทบของระยะห่างระหว่างปลายเข็มกับตัววัสดุองรับต่อลักษณะเส้นใยแม่แบบที่ผลิตจาก PVA

จากการทดลองผลกระทบของระยะห่างระหว่างปลายเข็มกับตัวรองรับต่อลักษณะเส้นใยแม่แบบที่ผลิตจาก PVA โดยทำการปรับระยะห่างระหว่างปลายเข็มกับตัวรองรับที่ 7-12 เซนติเมตร จากผลการศึกษา พบว่าในทุกสภาพความสามารถผลิตเป็นเส้นใยได้ โดยเส้นใยที่ได้มีลักษณะเป็นเส้นใยยาวต่อเนื่อง ดังแสดงในรูปที่ 4.7-4.9 และเมื่อเพิ่มระยะห่างระหว่างปลายเข็มกับตัวรองรับเป็น 7 และ 12 เซนติเมตร โดยควบคุมปัจจัยต่อไปนี้ คือ อัตราการให้เหลวของสารละลายแม่แบบ 1.2 มิลลิลิตรต่อชั่วโมง และศักย์ไฟฟ้า 15 กิโลโวลต์ พบร่วมขนาดของเส้นใยที่ได้ คือ 437.2 และ 357.8 นาโนเมตร ตามลำดับ สำหรับศักย์ไฟฟ้า 20 กิโลโวลต์ พบร่วมขนาดของเส้นใยที่ได้ คือ 383.8 และ 358.8 นาโนเมตร ตามลำดับ และศักย์ไฟฟ้า 25 กิโลโวลต์ พบร่วมขนาดของเส้นใยที่ได้ คือ 365.2 และ 309.6 นาโนเมตร ตามลำดับ จากผลการทดลองการเพิ่มระยะห่างระหว่างปลายเข็มกับตัวรองรับแสดงให้เห็นว่า

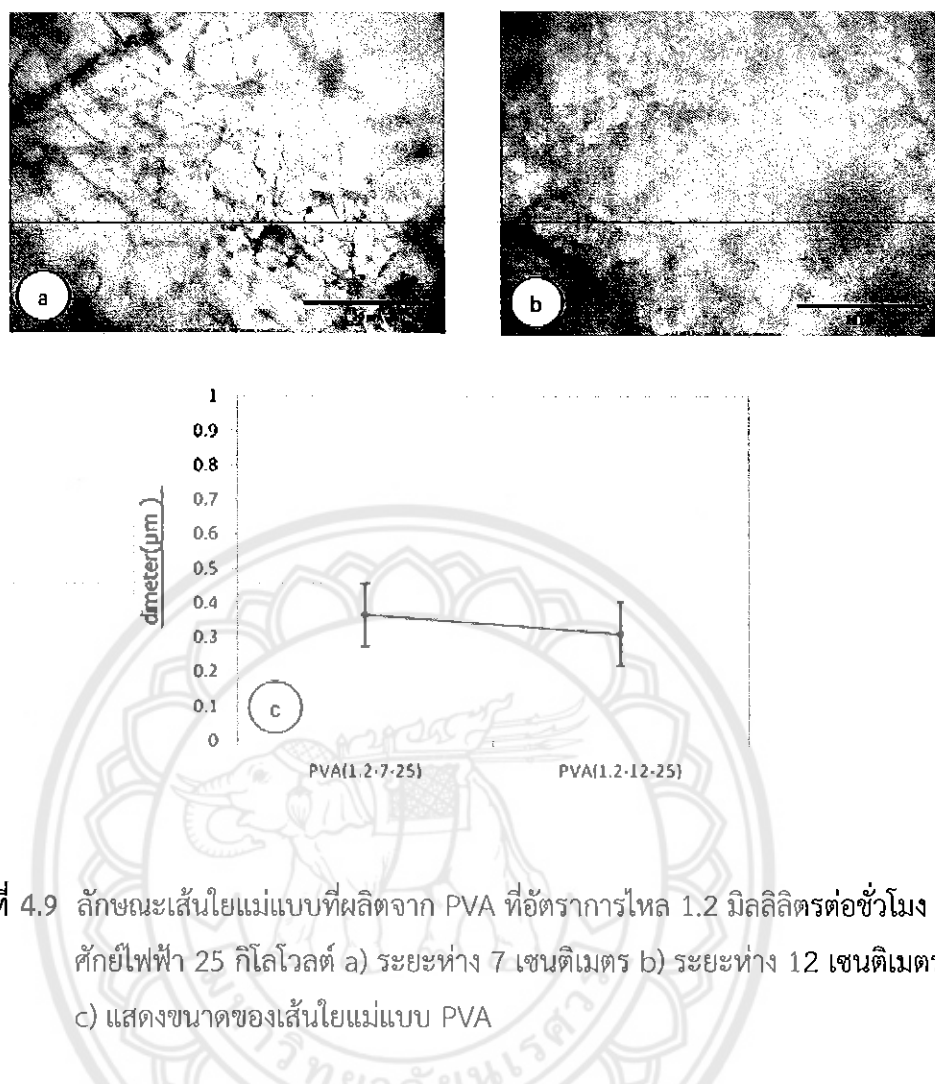
การเพิ่มระยะห่างระหว่างปลายเข็มกับตัวรองรับส่งผลให้ขนาดของเส้นใยแม่แบบมีขนาดเส้นผ่านศูนย์กลางลดลงเล็กน้อย นอกจากนี้พบว่าเมื่อเพิ่มระยะห่างระหว่างปลายเข็มกับตัวรองรับยังส่งผลให้เกิดเม็ดปิดส์บนเส้นใยน้อยลง ซึ่งผลการทดลองดังกล่าวสอดคล้องกับงานวิจัยก่อนหน้านี้ [22] ทั้งนี้เนื่องจากระยะห่างระหว่างปลายเข็มกับตัวรองรับที่เพิ่มขึ้นนั้นจะทำให้ตัวทำละลายในสารแม่แบบสามารถระเหยได้อย่างสมบูรณ์หรือกล่าวอีกนัยหนึ่ง คือ มีเวลาให้ตัวทำละลายในสารแม่แบบสามารถระเหยได้มากขึ้นส่งผลให้เส้นใยที่ได้มีขนาดเล็กลงและแนวโน้มที่เกิดเม็ดปิดส์ลดลง ในส่วนการกระจายขนาดของเส้นใยนั้นมีแนวโน้มที่ต่างกันไม่มากเมื่อระยะห่างระหว่างปลายเข็มกับตัวรองรับเพิ่มขึ้น



รูปที่ 4.7 ลักษณะเส้นใยแม่แบบที่ผลิตจาก PVA ที่อัตราการไหล 1.2 มิลลิลิตรต่อชั่วโมง และศักย์ไฟฟ้า 15 กิโลโวลต์ a) ระยะห่าง 7 เซนติเมตร b) ระยะห่าง 12 เซนติเมตร c) แสดงขนาดของเส้นใยแม่แบบ PVA



รูปที่ 4.8 ลักษณะเส้นใยแม่แบบที่ผลิตจาก PVA ที่อัตราการไหล 1.2 มิลลิลิตรต่อชั่วโมง และศักย์ไฟฟ้า 20 กิโลโวลต์ a) ระยะห่าง 7 เซนติเมตร b) ระยะห่าง 12 เซนติเมตร c) แสดงขนาดของเส้นใยแม่แบบ PVA

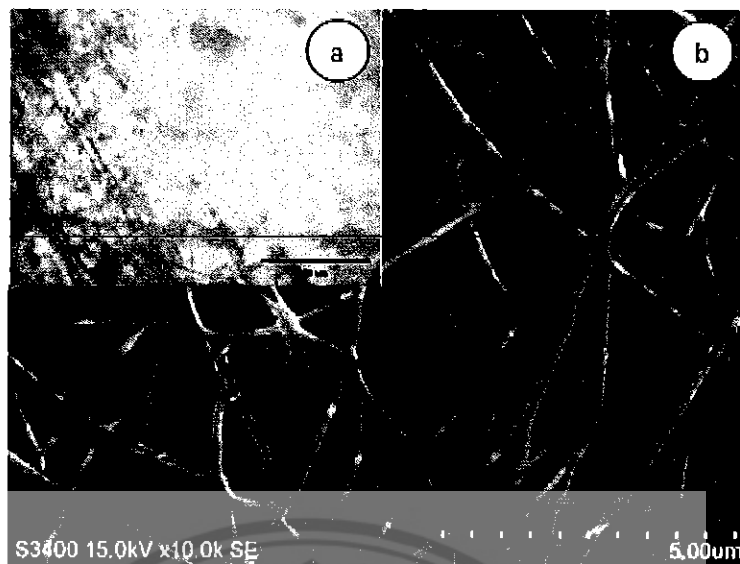


รูปที่ 4.9 ลักษณะเส้นใยแม่เบบที่ผลิตจาก PVA ที่อัตราการเหลว 1.2 มิลลิลิตรต่อชั่วโมง และศักย์ไฟฟ้า 25 กิโลโวลต์ a) ระยะห่าง 7 เซนติเมตร b) ระยะห่าง 12 เซนติเมตร c) แสดงขนาดของเส้นใยแม่เบบ PVA

จากการทดลองที่ได้จากการศึกษาปัจจัยต่างๆ ที่ส่งผลต่อขนาดของเส้นใยแม่เบบได้ถูกรวบรวม ดังแสดงในตารางที่ 4.1 พบร้าในขอบเขตการทดลองนี้ปัจจัยที่ส่งผลต่อขนาดเส้นใยแม่เบบมากที่สุด คือ ศักย์ไฟฟ้าและอัตราการเหลวของสารแม่เบบ ส่วนระยะห่างระหว่างปลายเข็มกับตัวรองรับเทาจะไม่ผลต่อขนาดเส้นใย จากปัจจัยดังกล่าวได้ทำการเลือกสภาพที่เหมาะสมที่สุดในการขึ้นรูปเส้นใยแม่เบบจาก PVA โดยกระบวนการปั่นเส้นใยด้วยระบบไฟฟ้าสถิต คือ ที่ศักย์ไฟฟ้าเท่ากับ 20 กิโลโวลต์ อัตราการเหลวของสารละลาย PVA ที่ 1.0 มิลลิลิตรต่อชั่วโมง ระยะห่างระหว่างปลายเข็มกับตัวรองรับเท่ากับ 7 เซนติเมตร ซึ่งจะทำให้ได้เส้นใยยาวต่อเนื่อง ดังรูปที่ 4.10 โดยได้ศึกษาจากกล้องจุลทรรศน์อิเล็กตรอนแบบส่องกราด (SEM) พบร้าขนาดที่ได้ คือ 112.8 นาโนเมตร และมีขนาด 315.2 นาโนเมตร ที่ได้จากการศึกษาจากกล้องจุลทรรศน์แบบธรรมด้า (Microscope) อย่างไรก็ตาม เมื่อเปรียบเทียบเส้นใยแม่เบบจากสภาพเดียวกันโดยทำการศึกษาจากกล้องจุลทรรศน์อิเล็กตรอนแบบส่องกราดและกล้องจุลทรรศน์แบบธรรมด้า พบร้าได้ขนาดเส้นใยที่ต่างกันมาก เนื่องจากความแม่นยำของเครื่องมือซึ่งกล้องจุลทรรศน์อิเล็กตรอนแบบส่องกราดจะให้ความแม่นยำมากกว่า

ตารางที่ 4.1 แสดงขนาดของเส้นใยแม่เบบที่ผลิตจาก PVA ที่สภาวะต่างๆ

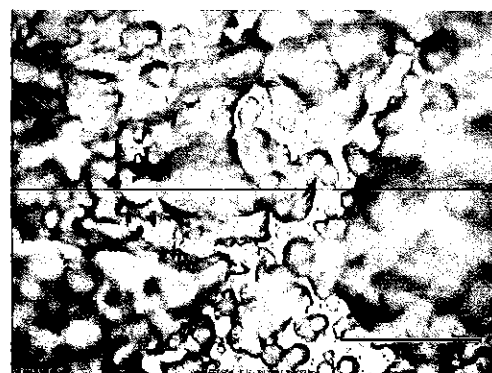
อัตราการไหล (มิลลิลิตรต่อชั่วโมง)	ระยะทางของปลายเข็ม (เซนติเมตร)	ศักย์ไฟฟ้า (กิโลโวลต์)	ขนาดเส้นผ่านศูนย์กลาง (นาโนเมตร)
0.8	7	15	365.2
		20	328.6
		25	335.0
	12	15	508.2
		20	351.6
		25	413.2
	7	15	367.2
		20	315.2
		25	313.0
1.0	12	15	379.6
		20	334.2
		25	293.6
	7	15	437.2
		20	383.8
		25	365.2
	12	15	357.8
		20	358.8
		25	309.6
1.2	7		
	12		
	7		



รูปที่ 4.10 ลักษณะเส้นใยแม่แบบที่ผลิตจาก PVA ที่ศักยไฟฟ้า 20 กิโลโวลต์ อัตราการไหลด 1.0 มิลลิตร และระยะห่าง 7 เซนติเมตร โดยศึกษาจาก a) SEM และ b) Microscope

4.2 การขึ้นรูปเส้นใยแม่แบบที่ผลิตจาก RF Gel

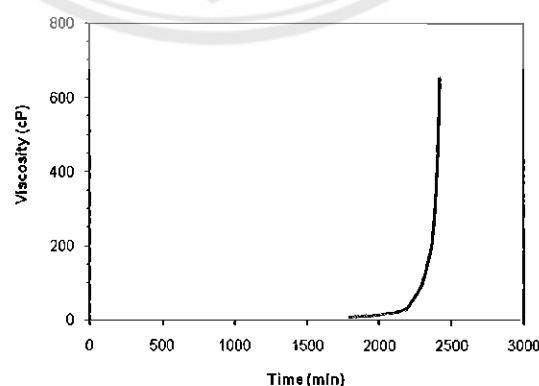
จากการทดลองการขึ้นรูปเส้นใยแม่แบบที่ผลิตจาก RF Gel (RF Gel) มีอัตราส่วนโดยไมล คือ R/F เท่ากับ 0.5 R/W เท่ากับ 0.15 และ C/W เท่ากับ 10 มิลลิตร (ลูกบาศก์เมตร) โดยทำการบ่ม RF Gel ไว้ที่เวลา 0 5 10 15 20 25 และ 30 ชั่วโมง และขึ้นรูปโดยการเปลี่ยนแปลงปัจจัยต่างๆ เช่น ศักยไฟฟ้า (15-22 กิโลโวลต์) อัตราการไหลดของสารแม่แบบ (0.8-1.2 มิลลิตรต่อชั่วโมง) และระยะห่างระหว่างปลายเข็มกับตัวรองรับ (7 เซนติเมตร) พบว่าในทุกสภาพสามารถขึ้นรูปได้แต่มีลักษณะที่ไม่เป็นเส้นใย ดังแสดงในรูปที่ 4.11 อาจเนื่องมาจากการฟอร์มตัวของโครงข่าย RF Gel มีความซับซ้อนและขึ้นอยู่กับปัจจัยหลายอย่าง [17] เช่น ปริมาณตัวเร่งปฏิกิริยา อัตราส่วนระหว่างเรซอร์ชินอล ต่อฟอร์มลัตดี้ไฮด์ อัตราส่วนระหว่างน้ำต่อเรซอร์ชินอล เป็นต้น ซึ่งในโครงสร้างนี้ไม่ได้กล่าวถึงปัจจัยตั้งกล่าว อย่างไรก็ตามได้ศึกษาถึงเวลาในการเกิดปฏิกิริยาเรซอร์ชินอล ฟอร์มลัตดี้ไฮด์ พอลิคอนเดนเซชันในช่วง 0-30 ชั่วโมง ซึ่งจากการสังเกตจากลักษณะของเจล พบร้าเจลจะมีความหนืดเพิ่มขึ้นเมื่อเวลาผ่านไป ดังแสดงในรูปที่ 4.12 ซึ่งผลการวิเคราะห์ความหนืดของ RF Gel กับเวลาในการเกิดโครงข่ายเจล คือ ประมาณ 2,195 นาที ดังแสดงในรูปที่ 4.13 ที่ได้มีงานวิจัยก่อนหน้านี้รายงานไว้ [25] และพบว่าเมื่อเจลมีความหนืดเพิ่มขึ้นในชั่วโมงที่ 30 หลังจากนั้นความหนืดจะเพิ่มขึ้นอย่างรวดเร็ว ซึ่งแตกต่างจากพอลิเมอร์โดยทั่วไป โดยพอลิเมอร์ทั่วไปเมื่อถูกถูกน้ำในตัวทำละลายค่าความหนืดต่อเวลาจะเปลี่ยนแปลงช้ากว่า RF Gel มาก ส่งผลให้ RF Gel ไม่สามารถขึ้นรูปเป็นเส้นใยได้โดยในช่วง 0-20 ชั่วโมง ความหนืดน้อยมากจึงทำให้เกิดการหยดและที่เวลา 25-30 ชั่วโมง ความหนืดก็เพิ่มขึ้นรวดเร็ว เกินไปและยังไม่เหมาะสมกับการเกิดเส้นใยด้วยเหตุผลที่กล่าวมาข้างต้น



รูปที่ 4.11 ลักษณะที่ไม่เป็นเส้นใยจากการบ่ม RF Gel 30 ชั่วโมง ท่อตราชารีไฟล 1.0 มิลลิตรต่อชั่วโมง ศักยไฟฟ้า 20 กิโลโวลต์ และระยะห่าง 7 เซนติเมตร



รูปที่ 4.12 ลักษณะสารละลาย RF Gel เมื่อบ่ม 30 ชั่วโมง



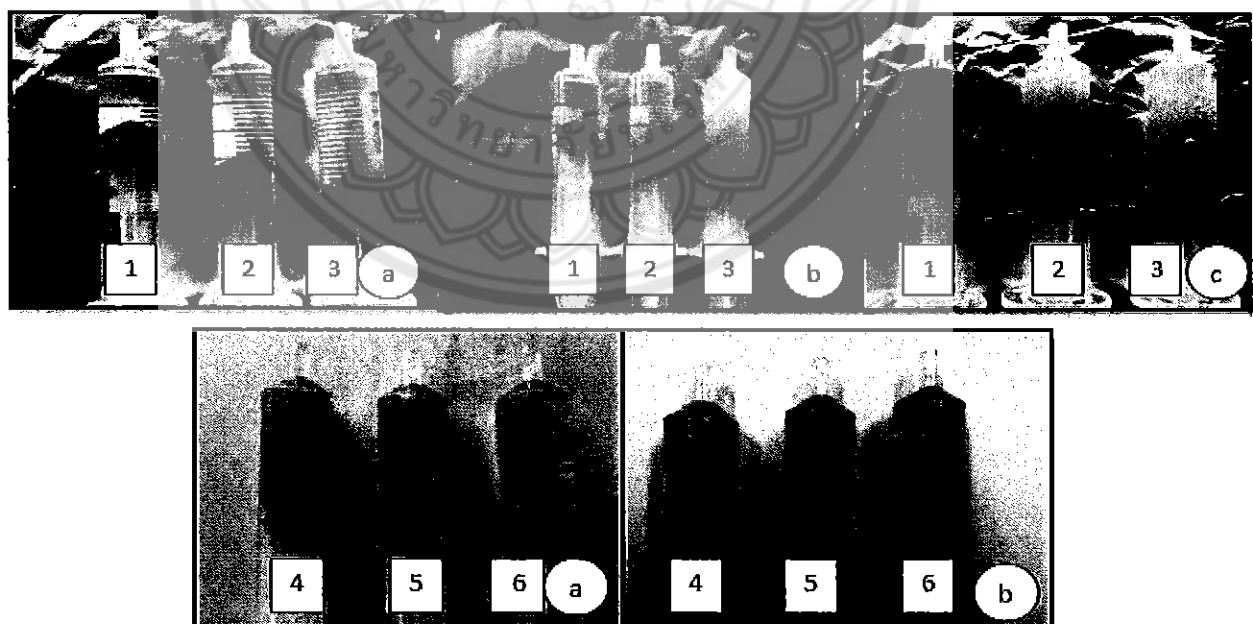
รูปที่ 4.13 กราฟแสดงความหนืดของ RF Gel [25]

4.3 การขึ้นรูปเส้นไยแม่แบบที่ผลิตจาก RF Gel/PVA

จากการศึกษาการทดลองการขึ้นรูปเส้นไยแม่แบบที่ผลิตจาก RF Gel ในทุกสภาพการขึ้นรูป และทุกสภาพการเตรียมนั้นไม่สามารถเป็นเส้นไยได้ จึงได้ทำการทดลองโดยนำ RF Gel มาผสมกับ PVA เพื่อให้ PVA ช่วยในการขึ้นรูปเส้นไย โดยวิธีการนำ RF Gel มาผสมนั้นมี 2 แบบ คือ ได้ทำการเปลี่ยนแปลงเวลาที่บ่ม RF Gel ในช่วงเวลาที่ต่างกันก่อนนำมาผสมกับ PVA 10%wt ในอัตราส่วนต่างๆ และอีกวิธีหนึ่ง คือ นำ RF Gel มาผสมกับ PVA ในอัตราส่วนต่างๆ แล้วบ่มทั้งไว้ในช่วงเวลาที่ต่างกัน โดยผลการทดลองเป็นดังนี้

4.3.1 ผลกระทบของการบ่ม RF Gel ต่อการขึ้นรูปเส้นไย RF Gel/PVA

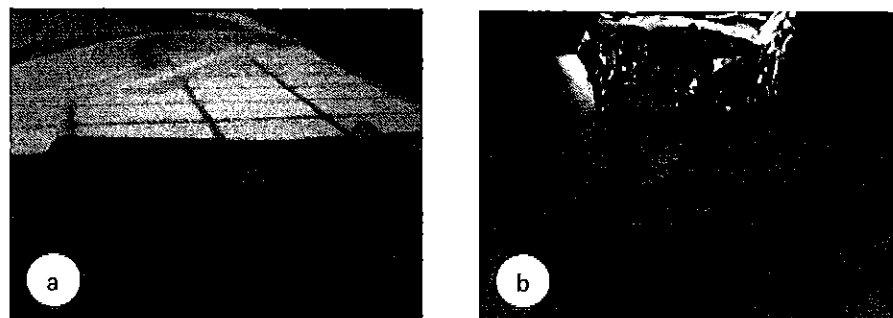
จากการทดลองทางสภาพการขึ้นรูปเส้นไย RF Gel/PVA โดยทำการบ่ม RF Gel ก่อนนำมาผสมกับ PVA โดยบ่ม RF Gel ในระยะเวลา 0 5 10 และ 15 ชั่วโมง พบร่วมสามารถขึ้นรูปได้บางสภาวะ โดย RF Gel ที่บ่มในระยะเวลา 0 5 และ 10 ชั่วโมง ดังแสดงในรูปที่ 4.14 อย่างไรก็ตามจากรูปดังกล่าวจะพบว่าที่อัตราส่วน RF Gel/PVA เท่ากับ 1:0.5 1:1 และ 1:1.5 ไม่พบร่องที่เป็นเส้นไยทั้งนี้เนื่องมาจากการเข้มข้นของ PVA น้อยเกินไป นอกจ้านั้นเมื่อนำ RF Gel ที่ทำการบ่มมากกว่า 10 ชั่วโมง มาผสมกับ PVA พบร่วมไม่สามารถขึ้นรูปได้ เนื่องจากเมื่อบ่ม RF Gel นานจะทำให้ตอนที่นำ PVA มาผสม จะเกิดการแยกหัวเป็นก้อน ดังแสดงในรูปที่ 4.15



รูปที่ 4.14 สารละลาย RF Gel/PVA ที่ทำการบ่ม RF Gel a) บ่ม 0 ชั่วโมง b) บ่ม 5 ชั่วโมง c) บ่ม 10 ชั่วโมง

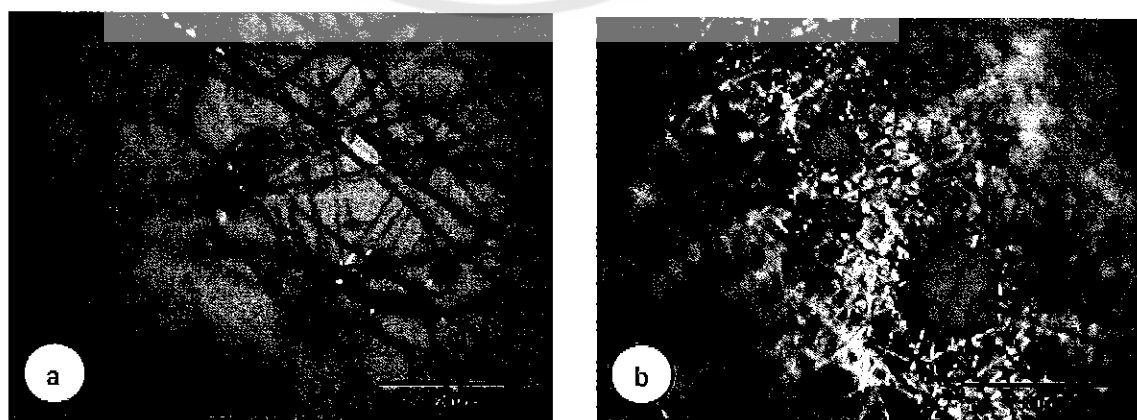
หมายเหตุ: 1 = อัตราส่วน 1:0.5 2 = อัตราส่วน 1:1 3 = อัตราส่วน 1:1.5

4 = อัตราส่วน 1:3 5 = อัตราส่วน 1:6 6 = อัตราส่วน 1:9

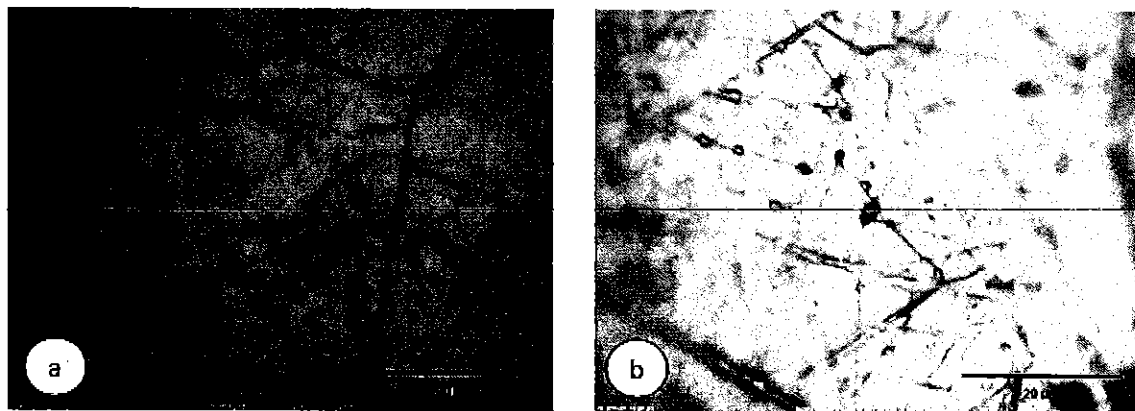


รูปที่ 4.15 แสดงการแยกชั้นสารละลาย RF Gel/PVA a) บ่ม RF Gel 10 ชั่วโมง ที่อัตราส่วน 1:1.5
b) บ่ม RF Gel 15 ชั่วโมง ที่อัตราส่วน 1:1

เนื่องจากการศึกษาหาระยะเวลาในการบ่ม RF Gel ที่มีผลต่อการขึ้นรูปเส้นใย RF Gel/PVA ในอัตราส่วน RF Gel/PVA เท่ากับ 1:0.5 1:1 และ 1:1.5 นั้นไม่สามารถได้ผลเป็นเส้นใย จึงทำการเพิ่มอัตราส่วน RF Gel/PVA เป็น 1:3 1:6 และ 1:9 เพื่อศึกษาถึงระยะเวลาในการบ่ม RF Gel ต่อลักษณะเส้นใยแม่แบบ พบร่วมสภาวะที่ไม่มีการบ่ม RF Gel สามารถขึ้นรูปได้ทุกอัตราส่วนสำหรับอัตราส่วนที่ 1:6 และ 1:9 สามารถขึ้นรูปแล้วมีลักษณะเป็นเส้นใย ดังแสดงในรูปที่ 4.16 โดยมีขนาดเส้นใยเท่ากับ 406.2 และ 267.2 นาโนเมตร ตามลำดับ และผลของการบ่ม RF Gel 5 ชั่วโมงต่อเส้นใย RF Gel/PVA ลักษณะเส้นใย ดังแสดงในรูปที่ 4.17 โดยพบร่วมสภาวะที่บ่ม RF Gel 5 ชั่วโมง ในอัตราส่วน RF Gel/PVA เท่ากับ 1:6 นั้นมีลักษณะความเป็นเส้นใยลดลง ในขณะที่อัตราส่วน 1:9 ยังคงเป็นเส้นใยแต่พบเม็ดปิดส์มากขึ้น โดยเส้นใยที่ได้มีขนาด 364.2 นาโนเมตร ดังนั้นเมื่อบ่ม RF Gel ก่อนผสมกับ PVA พบร่วมสภาวะที่บ่มมากขึ้นขนาดเส้นใยที่ได้จะใหญ่ขึ้นและมีเม็ดปิดส์บนเส้นใยมากขึ้น



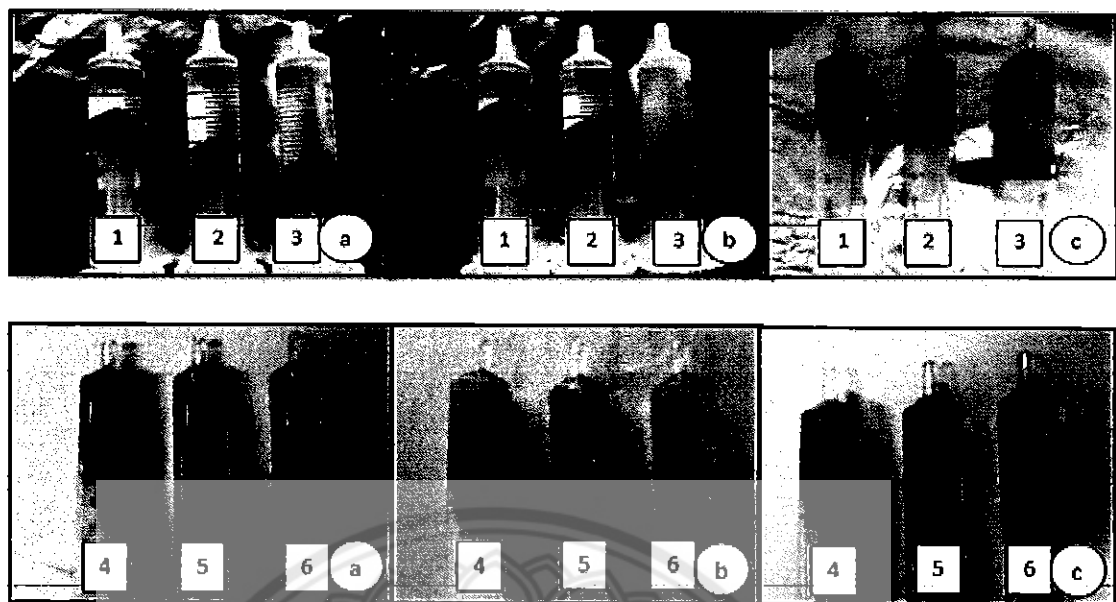
รูปที่ 4.16 ลักษณะเส้นใยแม่แบบที่ผลิตจาก RF Gel/PVA ที่ไม่มีการบ่ม a) ที่อัตราส่วน 1:6
b) ที่อัตราส่วน 1:9



รูปที่ 4.17 ลักษณะเส้นใยแม่แบบที่ผลิตจาก RF Gel/PVA ที่บ่ม RF Gel 5 ชั่วโมง^{a)} ที่อัตราส่วน 1:6 b) ที่อัตราส่วน 1:9

4.3.2 ผลกระทบของการบ่ม RF Gel/PVA ต่อการขึ้นรูปเส้นใย RF Gel/PVA

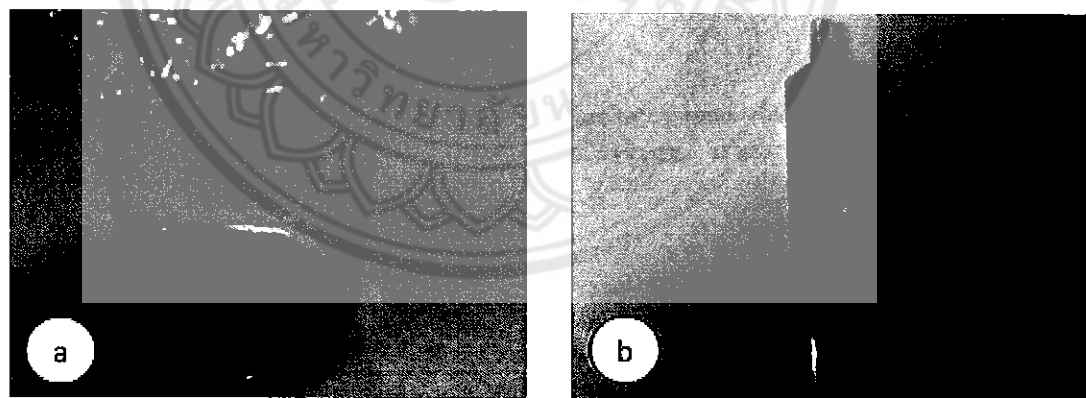
จากการทดลองทางสภาวะในการขึ้นรูปเส้นใย RF Gel/PVA โดยทำการบ่ม RF Gel/PVA ในระยะเวลา 0 5 10 และ 15 ชั่วโมง พบร่วมกันสามารถขึ้นรูปได้บางสภาวะ โดย RF Gel/PVA ที่บ่มในระยะเวลา 0 5 10 และ 10 ชั่วโมง ดังแสดงในรูปที่ 4.18 อย่างไรก็ตามจากรูปดังกล่าว พบร่วมกันที่อัตราส่วน RF Gel/PVA เท่ากับ 1:0.5 1:1 และ 1:1.5 ไม่พบผลที่เป็นเส้นใย หักเหเนื่องมาจากความเข้มข้นของ PVA น้อยเกินไป นอกจ้านั้นเมื่อนำ RF Gel/PVA ที่บ่มมากกว่า 15 ชั่วโมง มาขึ้นรูปพบว่าไม่สามารถขึ้นรูปได้ เนื่องจากการบ่ม RF Gel/PVA นานเกินจะทำให้เกิดการแยกชั้นเป็นก้อน ดังแสดงในรูปที่ 4.19



รูปที่ 4.18 สารละลายน้ำ RF Gel/PVA ที่ปั่น RF Gel พิร้อนกับ PVA a) บ่ม 0 ชั่วโมง b) บ่ม 5 ชั่วโมง c) บ่ม 10 ชั่วโมง

หมายเหตุ: 1 = อัตราส่วน 1:0.5 2 = อัตราส่วน 1:1 3 = อัตราส่วน 1:1.5

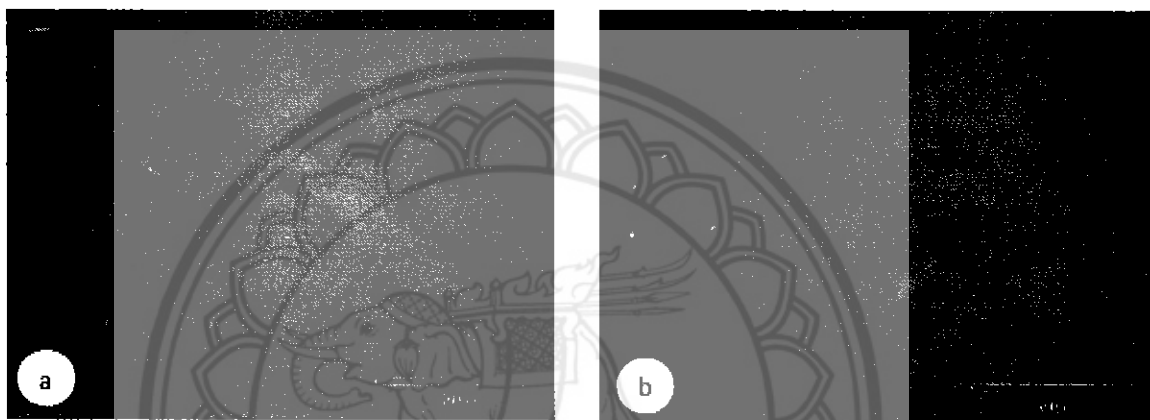
4 = อัตราส่วน 1:3 5 = อัตราส่วน 1:6 6 = อัตราส่วน 1:9



รูปที่ 4.19 แสดงการแยกชั้นสารละลายน้ำ RF Gel/PVA ปั่น RF Gel พิร้อนกับ PVA 15 ชั่วโมง

a) อัตราส่วน 1:1.5 b) อัตราส่วน 1:3

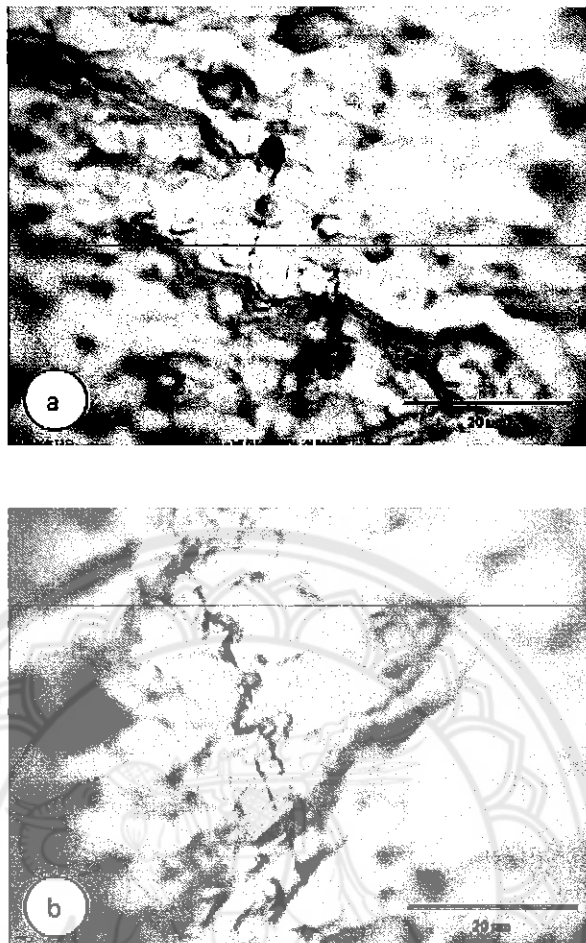
เนื่องจากการศึกษาผลกระทบของระยะเวลาในการบ่ม RF Gel/PVA ที่มีผลต่อการขึ้นรูปเส้นใย RF Gel/PVA พบว่าในสภาวะที่ไม่มีการบ่ม RF Gel/PVA สำหรับอัตราส่วนที่ 1:6 และ 1:9 สามารถขึ้นรูปแล้วมีลักษณะเป็นเส้นใย ดังแสดงในรูปที่ 4.16 และเมื่อบ่ม RF Gel พร้อมกับ PVA เป็นเวลา 5 ชั่วโมง ในอัตราส่วน RF Gel/PVA เท่ากับ 1:6 และ 1:9 พบว่าลักษณะเส้นใยได้มีขนาด 362.4 และ 264 นาโนเมตร ตามลำดับ และนอกจากนั้นยังพบเม็ดปีดส์บนเส้นใยอีกด้วย ดังนั้นผลกระทบของการบ่ม RF Gel/PVA คือ เมื่อระยะเวลาในการบ่มมากขึ้นยังคงสามารถขึ้นรูปเส้นใยได้ และเส้นใยจะมีขนาดเล็กลงและยังพบเม็ดปีดส์บนเส้นใยเพิ่มขึ้น ดังแสดงในรูปที่ 4.20



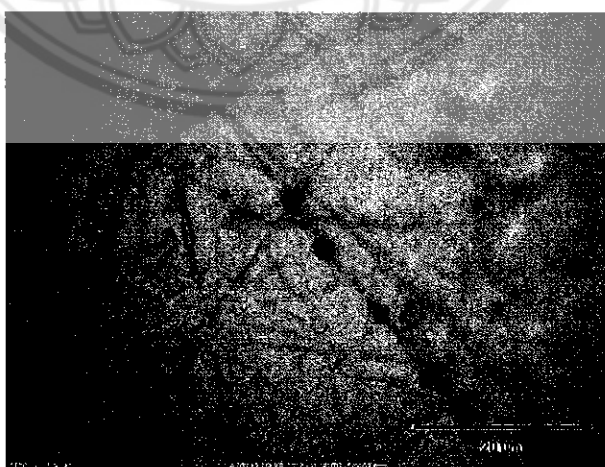
รูปที่ 4.20 ลักษณะเส้นใยแม่แบบที่ผลิตจาก RF Gel/PVA ที่บ่ม RF Gel/PVA 5 ชั่วโมง^{a)} ที่อัตราส่วน 1:6 b) ที่อัตราส่วน 1:9

4.3.3 ผลกระทบของอัตราส่วน RF Gel/PVA ต่อการขึ้นรูปเส้นใย RF Gel

จากการทดลองหาผลกระทบของอัตราส่วนของ RF Gel/PVA ส่งผลต่อการขึ้นรูปเส้นใย RF Gel/PVA โดยได้ทำการทดลองศึกษาที่ในอัตราส่วน RF Gel/PVA เท่ากับ 1:0.5 1:1 และ 1:1.5 พบว่าในทุกอัตราส่วนดังกล่าวสามารถขึ้นรูปได้ทุกอัตราส่วน แต่มีลักษณะไม่เป็นเส้นใย ดังแสดงในรูปที่ 4.21 จึงได้ทำการเพิ่มอัตราส่วน 1:3 1:6 และ 1:9 เพื่อศึกษาผลกระทบดังกล่าว พบว่าที่อัตราส่วนเท่ากับ 1:3 มีลักษณะเป็นเส้นใยเล็กน้อยและเกิดเม็ดปีดส์โดยเส้นใยที่ได้มีขนาด 452 นาโนเมตร และที่อัตราส่วนเท่ากับ 1:6 และ 1:9 มีลักษณะเป็นเส้นใยยาวต่อเนื่องและเกิดเม็ดปีดส์ โดยขนาดเส้นใยที่ได้คือ 406.2 และ 267.2 นาโนเมตร ตามลำดับ ดังแสดงในรูปที่ 4.22 และ 4.16 ตามลำดับ

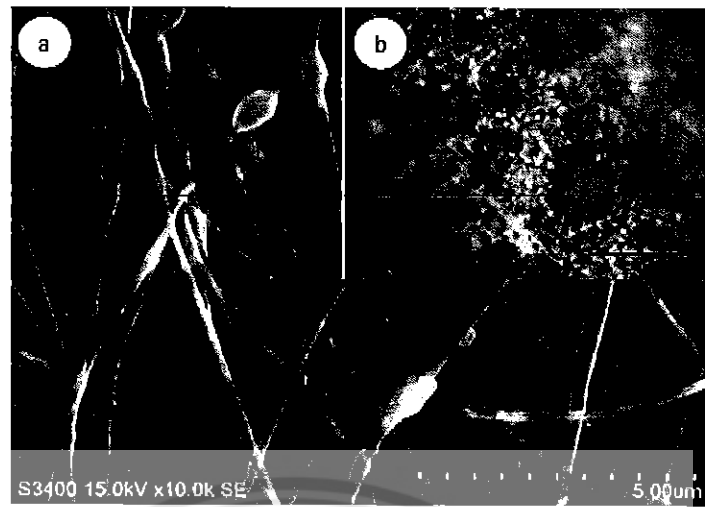


รูปที่ 4.21 ลักษณะที่ไม่เป็นเส้นใยของ RF Gel/PVA a) อัตราส่วน 1:0.5 b) อัตราส่วน 1:1.5

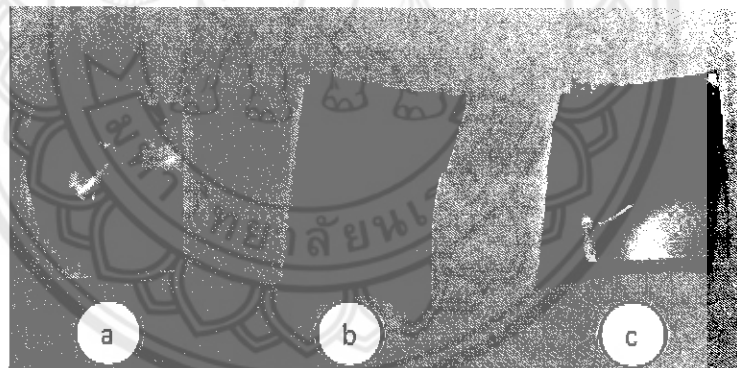


รูปที่ 4.22 ลักษณะที่เป็นเส้นใยของ RF Gel/PVA ที่อัตราส่วน 1:3

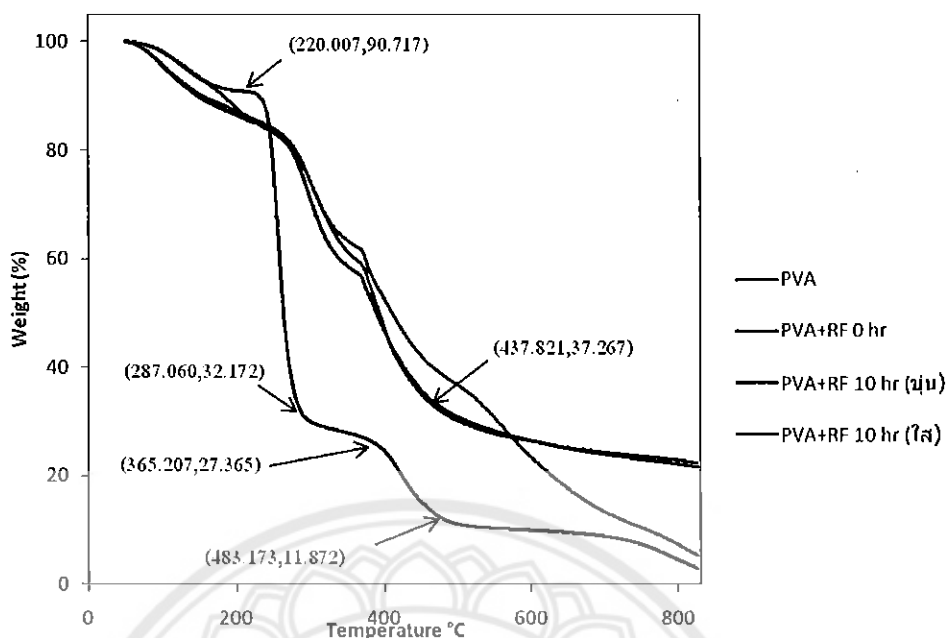
จากการศึกษาปัจจัยที่ส่งผลกระทบของการบ่ม RF Gel ผลกระทบของการบ่ม RF Gel/PVA พบว่าอัตราส่วนของ RF Gel/PVA ต่อขนาด และลักษณะของเส้นใยแม่แบบ RF Gel/PVA พบร่วมกับอัตราส่วนของ RF Gel และ RF Gel/PVA ที่อัตราส่วน RF Gel/PVA เท่ากับ 1:9 เหมาะสมที่สุดในการนำไปขึ้นรูปเป็นเส้นใยแม่แบบ ดังแสดงในรูปที่ 4.23 โดยกระบวนการปั่นเส้นใยด้วยระบบไฟฟ้าสถิตที่ศักย์ไฟฟ้าเท่ากับ 20 กิโลโวลต์ อัตราการไหลของสารละลาย RF Gel/PVA ที่ 1.0 มิลลิลิตรต่อชั่วโมง ระยะห่างระหว่างปลายเข็มกับตัวรองรับเท่ากับ 7 เซนติเมตร ทำให้ได้เส้นใยยาวต่อเนื่องมีขนาดเส้นผ่านศูนย์กลางที่ได้วิเคราะห์จากกล้องจุลทรรศน์อิเล็กตรอนแบบส่องกราด (SEM) ซึ่งมีค่าประมาณ 110.6 นาโนเมตร และเกิดเม็ดปีดส์เล็กน้อย อย่างไรก็ตามคุณสมบัติที่ต้องการของเส้นใยแม่แบบ คือ ต้องการให้ได้เส้นใยที่มีความพรุนสูงจึงได้ทำการบ่ม RF Gel/PVA ที่อัตราส่วน 1:9 เป็นเวลา 10 ชั่วโมง เพื่อยืดระยะเวลาในการเกิดโครงข่ายของ RF gel ในสารละลายแม่แบบหลังจากนั้นนำมาทำแท่งแบบระเหิดแห้ง พบว่าขั้นงานที่เกิดจากสารละลายแม่แบบดังกล่าวเกิดการแยกชั้น ดังแสดงในรูปที่ 4.24 จะสังเกตเห็นว่าเมื่อบ่ม RF Gel/PVA ที่ 10 ชั่วโมง จะเกิดพิล์มสีใสและสีขุ่นในขั้นงานเดียวกัน หลังจากนั้นได้นำมาวิเคราะห์การสลายตัวทางความร้อนหรือวิเคราะห์ด้วย TGA โดยทำการเปรียบเทียบระหว่าง PVA RF Gel/PVA 0 ชั่วโมง และ RF Gel/PVA 10 ชั่วโมง ดังแสดงในรูปที่ 4.25 จากกราฟพบว่าวิเคราะห์โดย TGA มีการเปลี่ยนแปลงน้ำหนักที่อุณหภูมิต่างๆ ซึ่งผลจากการทดสอบ พบว่าเมื่อน้ำหนักที่อุณหภูมิต่างๆ ของสารละลาย PVA ลดลง ทำให้น้ำหนักและอุณหภูมิก็สามารถเปลี่ยนแปลงอย่างเห็นได้ชัด โดยจากน้ำหนักร้อยละ 90.717 ลดลงเป็นร้อยละ 37.172 และจากที่อุณหภูมิ 220 องศาเซลเซียส เพิ่มขึ้นเป็น 287 องศาเซลเซียส เนื่องจากการสูญเสียน้ำหนักหรือที่อุณหภูมิต่างๆ อาจเกิดจากการระเหยของน้ำหรือตัวทำละลายและที่อุณหภูมิเริ่มสูงขึ้นไปเรื่อยๆ พบว่าเกิดการสลายตัวของพอลิเมอร์ และเมื่อพิจารณาสารละลาย RF Gel/PVA จะเห็นได้ว่าที่สารละลาย RF Gel/PVA 0 ชั่วโมง และ RF Gel/PVA 10 ชั่วโมง (ชุ่น) จะเกิดการเสียน้ำหนักและอุณหภูมิใกล้เคียงกันในช่วงร้อยละ 37.267 และ 437.821 องศาเซลเซียส ตามลำดับ เมื่อเทียบกับ RF Gel/PVA 10 ชั่วโมง (ใส) เนื่องจาก RF Gel/PVA 10 ชั่วโมง (ใส) มีความแข็งแรงกว่าและเกิดการแยกตัวของสารละลายระหว่าง RF Gel/PVA 10 ชั่วโมง (ชุ่น) และ RF Gel/PVA 10 ชั่วโมง (ใส) จึงทำให้สารละลาย RF Gel/PVA 10 ชั่วโมง (ชุ่น) มีน้ำหนักที่ต่ำและอุณหภูมิที่สูงซึ่งเกิดจากการสลายตัวของพอลิเมอร์ใกล้เคียงกับ RF Gel/PVA 0 ชั่วโมง ดังนั้นด้วยเหตุผลดังกล่าวจึงเลือกสารละลายแม่แบบที่ RF Gel/PVA อัตราส่วน 1:9 และไม่บ่มสารละลายแม่แบบ



รูปที่ 4.23 แสดงลักษณะเส้นใยแม่แบบที่ผลิตจาก RF Gel/PVA ที่ศักยไฟฟ้า 20 กิโลโวลต์ อัตราการไหล 1.0 มิลลิลิตรต่อชั่วโมง และระยะห่าง 7 เซนติเมตร โดยศึกษาจาก a) SEM และ b) Microscope



รูปที่ 4.24 ความเข้ากันของสารละลายแม่แบบ a) PVA b) RF Gel/PVA ที่บ่ม 0 ชั่วโมง c) RF Gel/PVA ที่บ่ม 10 ชั่วโมง



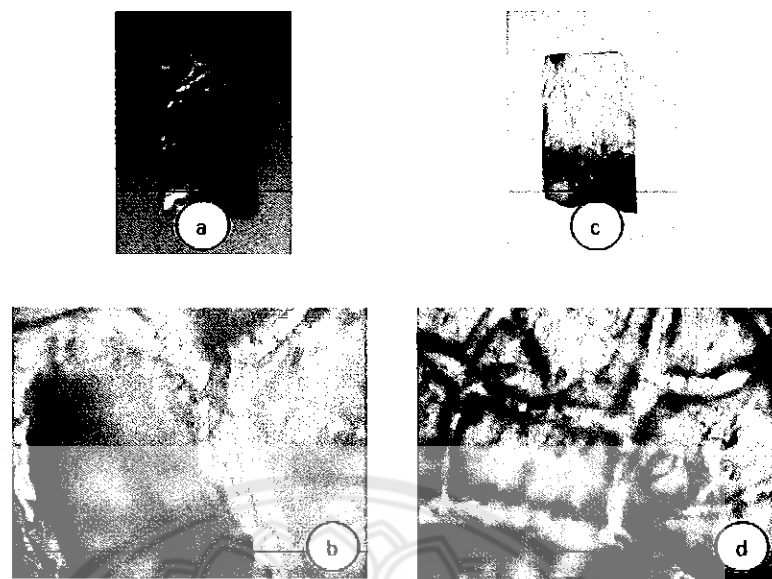
รูปที่ 4.25 ความเสถียรภาพทางความร้อนของสารละลายแม่แบบ

4.4 การขึ้นรูปเส้นใยไฟเทเนียมโดยออกไขดบันเส้นใยแม่แบบ

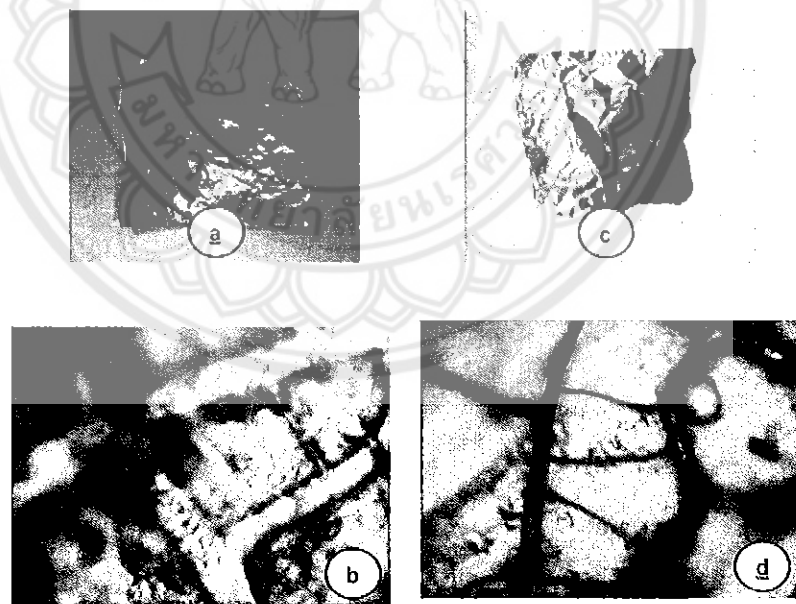
จากการทดลองการขึ้นรูปเส้นใยแม่แบบในสภาวะที่ได้เลือกมา คือ อัตราส่วนของ RF Ge/V/PVA เท่ากับ 1:9 และไม่มีการบ่มสารละลายแม่แบบดังกล่าว หลังจากนั้นเส้นใยแม่แบบที่ได้นำไปขึ้นรูปเส้นใย TiO_2 ซึ่งในการขึ้นรูปเส้นใย TiO_2 บนเส้นใยแม่แบบจะมีขั้นตอนการดำเนินงาน 2 ขั้นตอน คือ ขั้นตอนแรก คือ การนำเส้นใยแม่แบบไปบ่มในสารละลาย TTIP ในช่วงเวลาที่กำหนด แล้วทำให้แห้งในอากาศ ขั้นตอนที่สอง คือ การทำแห้งเส้นใย ซึ่งในการทำแห้งเส้นใยจะมีสองวิธี คือ การทำแห้งแบบอบลมร้อนและการทำแห้งแบบระเหิดแห้ง

4.4.1 ผลกระทบของระยะเวลาในการขึ้นรูปบ่มเส้นใยแม่แบบในสารละลาย TTIP ต่อการขึ้นรูปเส้นใย TiO_2

จากการทดลองการบ่มเส้นใยแม่แบบในสารละลาย TTIP ที่เวลาต่างกัน คือ 15 และ 30 ชั่วโมง พบร่วงมีลักษณะเป็นเส้นใย ตั้งแสดงในรูปที่ 4.26 และ ตั้งแสดงในรูปที่ 4.27 ตามลำดับ จะเห็นได้ว่ามีการเกะตัวของสารละลาย TTIP ปกคลุมเส้นใย ซึ่งพบรั้งในการทำแห้งทั้งสองแบบ อย่างไรก็ตามเมื่อผ่านการบ่มแม่แบบในสารละลาย TTIP และทำให้แห้งแล้วผลที่ได้ยังคงมีลักษณะเป็นเส้นใยในทั้งสองเวลาของการบ่ม แต่เนื่องจากเครื่องที่ใช้ทำการวิเคราะห์มีขีดจำกัดจึงไม่สามารถระบุขนาดเส้นใยได้



รูปที่ 4.26 แสดงลักษณะชิ้นงานหลังจากบ่ม TTIP 15 ชั่วโมง a), b) การทำแท็งแบบอบลมร้อน c), d) การแท็งแบบระเหิดแท็ง



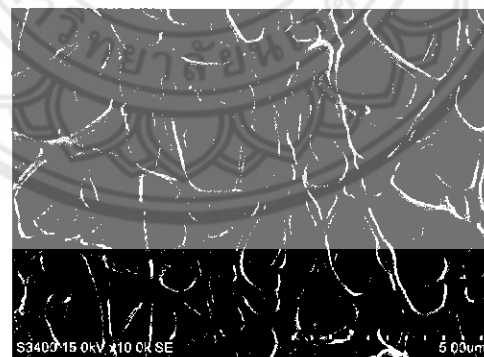
รูปที่ 4.27 แสดงลักษณะชิ้นงานหลังจากบ่ม TTIP 30 ชั่วโมง a), b) การทำแท็งแบบอบลมร้อน c), d) การแท็งแบบระเหิดแท็ง

4.4.2 ผลกระทบของวิธีการทำแท้หัวเส้นไนแม่แบบต่อการขึ้นรูปเส้นไน TiO₂

จากการทดลองการทำแท้หัวเส้นไนแม่แบบ 2 วิธี คือ การทำแท้หัวแบบอบลมร้อนและการทำแท้หัวแบบระเหิดแห้ง พบว่าการทำแท้หัวของเส้นไนแม่แบบด้วยวิธีการทำแท้หัวแบบอบลมร้อนทำให้ลักษณะเส้นไนที่ได้เกิดการแตกหักและมีขนาดเส้นผ่าศูนย์กลางประมาณ 168.6 นาโนเมตร ตั้งแสดงในรูปที่ 4.28 และการทำแท้หัวด้วยวิธีการทำแท้หัวแบบระเหิดแห้งทำให้เส้นไนแม่แบบที่ได้ยังคงเป็นเส้นไนอยู่ซึ่งมีขนาดเส้นผ่าศูนย์กลางประมาณ 154 นาโนเมตร และเมื่อเปรียบเทียบขนาดของเส้นไนแม่แบบที่ไม่ผ่านการเคลือบด้วย TTIP กับขนาดของเส้นไนแม่แบบที่เคลือบด้วย TTIP จะเห็นว่าเส้นไนมีขนาดใหญ่ขึ้นนั้นอาจจะแสดงถึงว่ามีการเกาะของ TTIP บนเส้นไนแม่แบบนั่นเอง แสดงดังรูปที่ 4.29



รูปที่ 4.28 ลักษณะเส้นไน TiO₂ ที่ได้จากการทำแท้หัวแบบอบลมร้อน

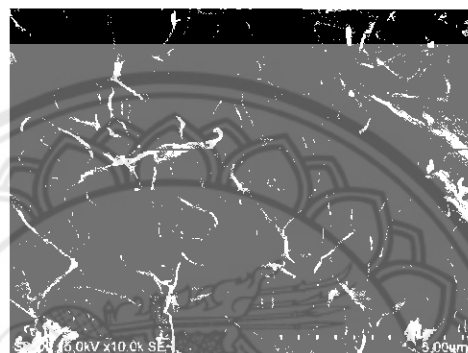


รูปที่ 4.29 ลักษณะเส้นไน TiO₂ ที่ได้จากการทำแท้หัวแบบระเหิดแห้ง

จากการทดลอง พบว่าการทำแท้หัวเส้นไนแม่แบบด้วยวิธีการทำแท้หัวแบบระเหิดแห้งดีกว่าการทำแท้หัวเส้นไนแม่แบบด้วยวิธีการทำแท้หัวแบบอบลมร้อน เพราะว่าเส้นไนที่ได้จากการทำแท้หัวด้วยวิธีการทำแท้หัวแบบระเหิดแห้งจะยังคงรักษาสภาพความเป็นเส้นไนซึ่งมีการแตกหักน้อยกว่าการทำแท้หัวแบบอบลมร้อน เนื่องจากวิธีการทำแท้หัวแบบระเหิดแห้งนี้เป็นวิธีที่ระเหยตัวทำลายจากสถานะของแข็งไปเป็นแก๊สภายใต้อุณหภูมิและความดันต่ำ ส่วนการทำแท้หัวแบบอบลมร้อนเป็นการระเหยตัวทำลาย

โดยใช้อุณหภูมิ 80 องศาเซลเซียส ซึ่งการระเหยเกิดจากสถานะของเหลวไปเป็นของแข็งจึงทำให้เกิด แรงคายปฏิกัดรีซึ่งแรงคายปฏิกัดนี้จะไปทำลายโครงสร้างที่ไม่แข็งแรงของรูปrun [26]

การศึกษาขั้นตอนนี้เป็นการสังเคราะห์เส้นใยกลวงของไทดเนียมโดยออกไซด์ โดยการนำเส้นใยแม่แบบไปเผาที่อุณหภูมิ 400 องศาเซลเซียส เป็นเวลา 2 ชั่วโมง พบร่วมลักษณะของเส้นใยหลงเหลืออยู่เล็กน้อยเมื่อเปรียบเทียบกับการเผาเส้นใยแม่แบบ PVA ดังแสดงในรูปที่ 4.30 และการเผาเส้นใยแม่แบบ RF Gel/PVA ดังแสดงในรูปที่ 4.31 ซึ่งพบเส้นใยน้อยมากและเส้นใยที่พบนั้นเป็นเส้นใยที่ขาด



รูปที่ 4.30 ลักษณะเส้นใยแม่แบบ PVA ที่ผ่านการเผา



รูปที่ 4.31 ลักษณะเส้นใยแม่แบบ RF gel/PVA ที่ผ่านการเผา

บทที่ 5

บทสรุปและข้อเสนอแนะ

5.1 สรุปผลการทดลอง

การศึกษาครั้งนี้สามารถหาสภาวะที่เหมาะสมในการเตรียมเส้นใยแม่แบบที่ผลิตจาก PVA ด้วยกระบวนการปั่นเส้นโดยระบบไฟฟ้าสถิต โดยการควบคุมปัจจัยต่างๆ เช่น ศักย์ไฟฟ้า อัตราการไหลของสารแม่แบบ และระยะห่างระหว่างปลายเข็มกับตัวรองรับ ซึ่งโดยพบว่าการเพิ่มศักย์ไฟฟ้าและการเพิ่มระยะห่างระหว่างปลายเข็มกับตัวรองรับมีแนวโน้มทำให้เส้นใยมีขนาดลดลง สำหรับการเพิ่มอัตราการไหลของสารแม่แบบมีแนวโน้มทำให้เส้นใยมีขนาดเพิ่มขึ้นและสภาวะที่เหมาะสมสำหรับการขึ้นรูปเส้นใยแม่แบบที่ผลิตจาก PVA คือ ที่ศักย์ไฟฟ้า 20 กิโลโวลต์ อัตราการไหลของสารแม่แบบ 1.0 มิลลิลิตรต่อชั่วโมง และระยะห่างระหว่างปลายเข็มกับตัวรองรับ 7 เซนติเมตร มีขนาดเส้นผ่าศูนย์กลางเท่ากับ 112.8 นาโนเมตร สำหรับการศึกษาการเตรียมเส้นใยแม่แบบที่ผลิตจาก RF Gel พบว่า ไม่สามารถขึ้นรูปเป็นเส้นใยได้ทุกสภาวะ จึงได้นำ RF Gel มาผสมกับ PVA โดยมีการควบคุมการปั่น RF Gel และการปั่น RF Gel/PVA พบร่วมกับ RF Gel และ RF Gel/PVA สามารถขึ้นรูปเป็นเส้นใยแม่แบบได้เหมาะสม คือ ที่อัตราส่วน 1:9 ศักย์ไฟฟ้า 20 กิโลโวลต์ อัตราการไหลของสารแม่แบบ 1.0 มิลลิลิตรต่อชั่วโมง และระยะห่างระหว่างปลายเข็มกับตัวรองรับ 7 เซนติเมตร มีขนาดเส้นผ่าศูนย์กลางเท่ากับ 110.6 นาโนเมตร และทำการศึกษาการทำแห้งเส้นใยซึ่ง พบร่วมกับการทำแห้งแบบระเหิดแห้งสามารถรักษาความเป็นเส้นใยให้คงรูปได้ดีกว่าการทำแห้งแบบอบลมร้อน นอกจากนี้ยังศึกษาเส้นใยที่ได้หลังจากการเผาในบรรยายกาศ พบร่วมกับการทำการเผาที่อุณหภูมิ 400 องศาเซลเซียส เป็นเวลา 2 ชั่วโมง ทำให้เส้นใยแม่แบบที่ผลิตจาก RF Gel/PVA มีลักษณะที่เป็นเส้นใยเล็กน้อยและเกิดการแตกหักของเส้นใย แต่เส้นใยแม่แบบที่ผลิตจาก PVA มีลักษณะที่เป็นเส้นไอยู่บ้าง ซึ่งมีขนาดเส้นผ่าศูนย์กลางเท่ากับ 105.2 นาโนเมตร

5.2 ข้อเสนอแนะ

5.2.1 ควรมีการเพิ่มปริมาณเส้นใยแม่แบบ เพื่อนำไปวิเคราะห์ความพรุนของเส้นใยด้วยวิธี N₂ Adsorption Isotherm

5.2.2 ในการศึกษาต่อจากงานวิจัยนี้ควรมีการทดลองหาอัตราส่วนระหว่าง RF Gel/PVA เพิ่มเติมเพื่อให้ได้ลักษณะของเส้นใยที่มีขนาดเล็กและไม่เกิดเม็ดบีดส์

5.2.3 ควรมีการล้างเส้นใยหลังจากที่จะทำการปั่นด้วยสารละลาย TTIP ด้วย Heptane เพื่อล้างสารละลาย TTIP ที่เคลือบเส้นใยมากเกินไปออก

5.2.4 ควรมีการวัดค่าความหนืดของสารแม่แบบ เนื่องจากการนำสารแม่แบบมาผสานให้เข้ากัน จะต้องมีความหนืดที่ใกล้เคียงกันสารแม่แบบบีจจะเข้ากันได้ดี



เอกสารอ้างอิง

- [1] ชลดา จีรกรณวงศ์. (2555). วัสดุนานาไปไฟเทเนียมไดออกไซด์: การสังเคราะห์โครงสร้างการประยุกต์ใช้. วารสารวิทยาศาสตร์และเทคโนโลยี มหาวิทยาลัยอุบลราชธานี.

[2] Huang ZM, Zhang YZ, Kotaki M. (2003). A review on polymer nanofibers by electrospinning and their applications in nanocomposites. *Composites Science and Technologyn*. Vol. 63, pp. 2223-2253.

[3] Ramakrishna S, Fujihara K, Teo WE. (2005). *An Introduction to Electrospinning and Nanofiber*. World Scientific Publishing. pp. 1-42.

[4] ปรัชญา นิยมไทย. เทคนิคการป่นเส้นไนโอลิเมอร์ด้วยไฟฟ้าสถิตเพื่อประโยชน์ด้านการแพทย์. SCG Performance chemicals Co. Ltdv.

[5] Sill TJ, Von Recum HA. (2008). *Electrospinning: Application in drug delivery and tissue engineering*. *Biomaterials*. Vol. 29, pp. 1989-2006.

[6] ศุภรัตน์ นาคสิทธิพันธุ์, สุลาวัลย์ ขาวผ่อง. (2555). การสังเคราะห์ฟิล์มบางไฟเทเนียมหรือไฟเทเนียมไดออกไซด์ริโอโนโลยีคลื่นพลาasma. มหาวิทยาลัยแม่โจ้ จ.เชียงใหม่.

[7] ปัณณรา ภัทรสถาพรกุล. (2547). หลักการทำแห้งแบบแข็งแข็ง. ภาควิชาเทคโนโลยีหลังการเก็บเกี่ยวและแปรสภาพ, คณะวิศวกรรมศาสตร์และเทคโนโลยีการเกษตร มหาวิทยาลัยเทคโนโลยีราชมงคล.

[8] จตุรณต์ ศุภผล. (2550). การศึกษาในรายละเอียดของการสังเคราะห์เส้นไนไฟเทเนียมหรือไฟเทเนียมไดออกไซด์ขนาดนาโน ด้วยเทคโนโลยีโซล เจล ผ่านกับการป่นเส้นไนด้วยระบบไฟฟ้าสถิต. สาขาวิชวกรรมเคมี จุฬาลงกรณ์มหาวิทยาลัย.

[9] ชวิศกร กรัณย์เมธากุล. (2549). การปรับแต่งผิวน้ำของไฟเทเนียมไดออกไซด์เพื่อปรับปรุงประสิทธิภาพในกระบวนการเร่งปฏิกิริยาด้วยแสง. สถาบันเทคโนโลยีพระจอมเกล้าพระนครเหนือ.

[10] ชวัญลักษณ์ คاجุมพล. (2555). การย่อยสลายสีข้อมรีแอกทิฟ (สีแดง เบอร์ 3) ด้วยกระบวนการออกแบบชิเด็กซ์แบบเปรียกแบบใช้แสงร่วม บนตัวเร่งปฏิกิริยา Fe-RH-MCM-41 โดยใช้การออกแบบการทดลองแบบ Box-Behnken Design (BBD). ภาควิชวกรรมเคมี คณะวิศวกรรมศาสตร์ มหาวิทยาลัยขอนแก่น.

- [11] Shinsuke N, Shingo I, Kentaro T, and Masahiro O. (2011). Fabrication of carbon-core/TiO₂-sheath nanofibers by carbonization of poly(vinyl alcohol)/TiO₂ composite nanofibers prepared via electrospinning and an interfacial sol-gel reaction. *Materials Letters*. Vol. 65, pp. 3027–3029.
- [12] Hai-Sheng Wang, Guo-Dong Fu, Xin-Song Li. (2009). Functional Polymeric Nanofibers from Electrospinning. *Recent Patents on Nanotechnology*. Vol. 3, pp. 21-31.
- [13] มนัญญา โพวิชา. (2553). การสังเคราะห์ไทด์เนียมไดออกไซด์ที่มีรูพรุนโดยใช้เรซอชินอลฟอร์มัลติไฮด์เจลช่วย. ภาควิชาวิศวกรรมเคมี คณะวิศวกรรมศาสตร์ จุฬาลงกรณ์มหาวิทยาลัย.
- [14] C. Lin, J. A. Ritter. (1997). *Carbon*. Vol. 35, pp. 1271.
- [15] R.W. Pekala, C. T Alviso, J. D Lemay, (1992). in *Chemical Processing of Advanced Materials* (Eds: L. L. Hench, J. K. West), John Wiley and Sons, New York , pp. 671.
- [16] R.W. Pekala, C. T. Alviso, F. M. Kong, S. S. Hulsey, J. Non-Cryst. (1992). *Solids*, Vol. 90, pp. 145.
- [17] R.W. Pekala, J. C. Farmer, C. T. Alviso, T. D. Tran, S. T. Mayer, J. M. Miller, B. Dunn, J. Non-Cryst. (1998). *Solids*, Vol. 74, pp. 225.
- [18] R. C. Cook, S. A. Letts, G. E. Overturf, III, S. M. Lambert, G. Wilemski, D. Schroen-Carey, (1997). Final Report UCRL-LR-105821-97-1, Lawrence Livermore National Laboratory, Livermore, CA.
- [19] R.W. Pekala, (1989). US Patent 4873218.
- [20] ยุรัตน์ ปรเมศนารณ์. (2554). การพัฒนาวัสดุดูดซับจากเปลือกไข่เพื่อกำจัดแผลเมี่ยม. การจัดการทั่วพยากรชีวภาพ คณะทั่วพยากรชีวภาพและเทคโนโลยี มหาวิทยาลัยเทคโนโลยีพระจอมเกล้าธนบุรี.
- [21] ปรินทร์ เต็มญารสิลป์. (2551). การเตรียมและการวิเคราะห์คุณลักษณะเฉพาะของถ่านกัมมันต์จากไผ่ตงและไผ่มาจู. บัณฑิตวิทยาลัย มหาวิทยาลัยเกษตรศาสตร์.

- [22] ธนโชติ ธรรมชาติ. (2553). การเตรียมและการประเมินผลเส้นใยอิเล็กโทรสปันเซลแล็กที่บรรจุสารจุลชีพ. สาขาวิทยาศาสตร์ทางการเภสัชศาสตร์บัณฑิตวิทยาลัย มหาวิทยาลัยศิลปากร.
- [23] พัชราภรณ์ ไชยศรี. ผลของบางปัจจัยต่อสักษณะเส้นใยโพลีคาโรแลคโถนอิเล็กโทรสปันที่ผลิตด้วยเครื่อง KKU drum electrospinning unit.
- [24] เจนจิรา เมืองบาล. (2554). การผลิตเส้นใยนาโนหังสเทนออกไซด์ด้วยวิธีอิเล็กโทรสปันนิ่ง. ภาควิชาวิศวกรรมอุตสาหการ คณะวิศวกรรมศาสตร์ มหาวิทยาลัยขอนแก่น.
- [25] Pamornrat Chantam and Varong Pavarajarn. (2012). Synthesis of Porous Alumina Assisted by Resorcinol–Formaldehyde Gel. *J. Am. Ceram. Soc.* Vol. 95, pp. 2788-2790
- [26] เกรียงศักดิ์ ไกรวัฒนวงศ์. (2551). เมโซพรอสคาร์บอนเจล. ภาควิชาวิศวกรรมเคมี คณะวิศวกรรมศาสตร์ สถาบันเทคโนโลยีพระจอมเกล้าคุณทหารลาดกระบัง.

ภาคผนวก

ผลการทดลองการขึ้นรูปเส้นใย

มหาวิทยาลัยนเรศวร

ตารางที่ 1 ตารางแสดงอัตราส่วนที่ใช้ในขั้นรูปเส้นใยแม่แบบจาก PVA และ RF Gel/PVA

อัตราส่วน	การขึ้นรูป		ลักษณะเส้นใย	หมายเหตุ
	ได้	ไม่ได้		
PVA	✓		มีลักษณะเป็นเส้นใยที่ยาวต่อเนื่อง พบรเม็ดปีดส์ขนาดเล็กบนเส้นใยเล็กน้อย เส้นใยมีขนาดไม่สม่ำเสมอ	นำไปขั้นรูปเป็นเส้นใยแม่แบบ
RF Gel		✓	มีลักษณะไม่เป็นเส้นใย	
RF Gel(1.0):PVA (0.5)		✓	มีลักษณะไม่เป็นเส้นใย	
RF Gel(1.0):PVA (1.0)		✓	มีลักษณะไม่เป็นเส้นใย	
RF Gel(1.0):PVA (1.5)		✓	มีลักษณะไม่เป็นเส้นใย	
RF Gel(1.0):PVA (3.0)	✓		แทบจะไม่มีลักษณะเป็นเส้นใย เส้นใยมีขนาดไม่สม่ำเสมอ	
RF Gel(1.0):PVA (6.0)	✓		มีลักษณะเป็นเส้นใยที่ยาวต่อเนื่อง พบรเม็ดปีดส์บนเส้นใยเล็กน้อย เส้นใยมีขนาดไม่สม่ำเสมอ	
RF Gel(1.0):PVA (9.0)	✓		มีลักษณะเป็นเส้นใยที่ยาวต่อเนื่อง แทบจะไม่พบรเม็ดปีดส์บนเส้นใย เส้นใยมีขนาดไม่สม่ำเสมอ	นำไปขั้นรูปเป็นเส้นใยแม่แบบ

ตารางที่ 2 ตารางแสดงความสามารถในการขึ้นรูปเส้นใยแม่แบบจาก PVA

สารละลายน้ำโพลิเมอร์	อัตราการไหล (mL/hr)	ระยะห่าง (cm)	ศักย์ไฟฟ้า (kV)	ลักษณะเส้นใย	หมายเหตุ
PVA	0.8	7	15	มีลักษณะเป็นเส้นใยยาวต่อเนื่อง แต่ขนาดไม่สม่ำเสมอ	
			20	มีลักษณะเป็นเส้นใยยาวต่อเนื่อง	
			25	มีลักษณะเป็นเส้นใยยาวต่อเนื่อง	
		12	15	มีลักษณะเป็นเส้นใยยาวต่อเนื่อง	
			20	มีลักษณะเป็นเส้นใยยาวต่อเนื่อง	
			25	มีลักษณะเป็นเส้นใยยาวต่อเนื่อง พบร่องรอยของเส้นใยเล็กน้อย	
	1.0	7	15	มีลักษณะเป็นเส้นใยยาวต่อเนื่อง	
			20	มีลักษณะเป็นเส้นใยยาวต่อเนื่อง	**
			25	มีลักษณะเป็นเส้นใยยาวต่อเนื่อง	
		12	15	มีลักษณะเป็นเส้นใยยาวต่อเนื่อง	
			20	มีลักษณะเป็นเส้นใยยาวต่อเนื่อง	
			25	มีลักษณะเป็นเส้นใยยาวต่อเนื่อง และเกิดหยดของสารละลายน้ำ	
	1.2	7	15	มีลักษณะเป็นเส้นใยยาวต่อเนื่อง	
			20	มีลักษณะเป็นเส้นใยยาวต่อเนื่อง และเกิดหยดของสารละลายน้ำ	
			25	มีลักษณะเป็นเส้นใยยาวต่อเนื่อง และเกิดหยดของสารละลายน้ำ	
		12	15	มีลักษณะเป็นเส้นใยยาวต่อเนื่อง	
			20	มีลักษณะเป็นเส้นใยยาวต่อเนื่อง พบร่องรอยของเส้นใยเล็กน้อย	
			25	มีลักษณะเป็นเส้นใยยาวต่อเนื่อง	

หมายเหตุ ** คือ นำไปขึ้นรูปเป็นเส้นใยที่ใช้เป็นแม่แบบ

ตารางที่ 3 ตารางแสดงความสามารถในการขึ้นรูปเส้นใยแม่แบบจากสารละลายน้ำ RF Gel (RF Gel 30=RF Gel ที่บ่มไว้ 30 ชั่วโมง)

สารละลายน้ำโพลิเมอร์	อัตราการไหล (mL/hr)	ระยะห่าง (cm)	ศักย์ไฟฟ้า (kV)	ลักษณะเส้นใย	หมายเหตุ	
RF Gel 30	0.8	7	15	มีลักษณะไม่เป็นเส้นใย		
			20	มีลักษณะไม่เป็นเส้นใย		
			22	มีลักษณะไม่เป็นเส้นใย		
	1.0		15	มีลักษณะไม่เป็นเส้นใย		
			20	มีลักษณะไม่เป็นเส้นใย		
			22	มีลักษณะไม่เป็นเส้นใย		
	1.2		15	มีลักษณะไม่เป็นเส้นใย		
			20	มีลักษณะไม่เป็นเส้นใย		
			22	มีลักษณะไม่เป็นเส้นใย		

ตารางที่ 4 ตารางแสดงความสามารถในการขึ้นรูปเส้นใยแม่แบบจากสารละลายน้ำ RF Gel 0 ผสมกับสารละลายน้ำ PVA (RF Gel 0=RF Gel ที่ไม่ได้ทำบ่ม)

สารละลายน้ำโพลิเมอร์	ระยะห่าง (cm)	อัตราการไหล (mL/hr)	ศักย์ไฟฟ้า (kV)	ลักษณะเส้นใย	หมายเหตุ
RF Gel 0:PVA ที่อัตราส่วน 1:0.5	7	0.8	15	มีลักษณะไม่เป็นเส้นใย	
			20	มีลักษณะไม่เป็นเส้นใย	
			22	มีลักษณะไม่เป็นเส้นใย	
	7	1.0	15	มีลักษณะไม่เป็นเส้นใย	
			20	มีลักษณะไม่เป็นเส้นใย	
			22	มีลักษณะไม่เป็นเส้นใย	
	7	1.2	15	มีลักษณะไม่เป็นเส้นใย	
			20	มีลักษณะไม่เป็นเส้นใย	
			22	มีลักษณะไม่เป็นเส้นใย	
RF Gel 0:PVA ที่อัตราส่วน 1:1	7	0.8	15	มีลักษณะไม่เป็นเส้นใย	
			20	มีลักษณะไม่เป็นเส้นใย	
			22	มีลักษณะไม่เป็นเส้นใย	
	7	1.0	15	มีลักษณะไม่เป็นเส้นใย	
			20	มีลักษณะไม่เป็นเส้นใย	
			22	มีลักษณะไม่เป็นเส้นใย	
	7	1.2	15	มีลักษณะไม่เป็นเส้นใย	
			20	มีลักษณะไม่เป็นเส้นใย	
			22	มีลักษณะไม่เป็นเส้นใย	

ตารางที่ 4 (ต่อ) ตารางแสดงความสามารถในการขึ้นรูปเส้นไขแม่แบบจากสารละลาย RF Gel 0 ผสมกับสารละลาย PVA (RF Gel 0=RF Gel ที่ไม่ได้ทำปั่น)

สารละลายพอลิเมอร์	ระยะห่าง (cm)	อัตราการไหล (mL/hr)	ศักย์ไฟฟ้า (kV)	ลักษณะเส้นไข	หมายเหตุ
RF Gel 0:PVA ที่อัตราส่วน 1:1.5	7	0.8	15	มีลักษณะไม่เป็นเส้นไข	
			20	มีลักษณะไม่เป็นเส้นไข	
			22	มีลักษณะไม่เป็นเส้นไข	
		1.0	15	มีลักษณะไม่เป็นเส้นไข	
			20	มีลักษณะไม่เป็นเส้นไข	
			22	มีลักษณะไม่เป็นเส้นไข	
		1.2	15	มีลักษณะไม่เป็นเส้นไข	
			20	มีลักษณะไม่เป็นเส้นไข	
			22	มีลักษณะไม่เป็นเส้นไข	
RF Gel 0:PVA ที่อัตราส่วน 1:3	7	0.8	15	มีลักษณะไม่เป็นเส้นไข	
			20	มีลักษณะไม่เป็นเส้นไข	
			22	มีลักษณะเป็นเส้นไข	
		1.0	15	มีลักษณะไม่เป็นเส้นไข	
			20	มีลักษณะเป็นเส้นไข พบ เม็ดบีดส์เล็กน้อย	
			22	มีลักษณะเป็นเส้นไข	
		1.2	15	มีลักษณะไม่เป็นเส้นไข	
			20	มีลักษณะไม่เป็นเส้นไข	
			22	มีลักษณะเป็นเส้นไข เล็กน้อย	
RF Gel 0:PVA ที่อัตราส่วน 1:6	7	0.8	15	มีลักษณะเป็นเส้นไขยาว ต่อเนื่อง	
			20	มีลักษณะเป็นเส้นไขยาว ต่อเนื่อง พบเม็ดบีดส์ เล็กน้อย	
		22		มีลักษณะเป็นเส้นไขยาว ต่อเนื่อง พบเม็ดบีดส์ เล็กน้อย	
		1.0	15	มีลักษณะเป็นเส้นไขยาว ต่อเนื่อง พบเม็ดบีดส์ เล็กน้อย	

ตารางที่ 4 (ต่อ) ตารางแสดงความสามารถในการขึ้นรูปเส้นไขแม่แบบจากสารละลาย RF Gel 0 ผสมกับสารละลาย PVA (RF Gel 0=RF Gel ที่ไม่ได้ทำบ่ม)

สารละลายพอลิเมอร์	ระยะห่าง (cm)	อัตราการไหล (mL/hr)	ศักย์ไฟฟ้า (kV)	ลักษณะเส้นไข	หมายเหตุ
RF Gel 0:PVA ที่อัตราส่วน 1:6 (ต่อ)	7	1.0	20	มีลักษณะเป็นเส้นไขยาว ต่อเนื่อง พบรูดีบีดส์ เล็กน้อย	
			22	มีลักษณะเป็นเส้นไขยาว ต่อเนื่อง พบรูดีบีดส์ เล็กน้อย	
		1.2	15	มีลักษณะเป็นเส้นไขยาว ต่อเนื่อง พบรูดีบีดส์ เล็กน้อย	
			20	มีลักษณะเป็นเส้นไขยาว ต่อเนื่อง พบรูดีบีดส์ เล็กน้อย	
	0.8	1.2	22	มีลักษณะเป็นเส้นไขยาว ต่อเนื่อง	
			15	มีลักษณะเป็นเส้นไขยาว ต่อเนื่อง และพบรูดีบีดส์	
		1.0	20	มีลักษณะเป็นเส้นไขยาว ต่อเนื่อง	
			22	มีลักษณะเป็นเส้นไขยาว ต่อเนื่อง	
RF Gel 0 : PVA ที่อัตราส่วน 1 : 9	7	1.0	15	มีลักษณะเป็นเส้นไขยาว ต่อเนื่อง พบรูดีบีดส์ เล็กน้อย	
			20	มีลักษณะเป็นเส้นไขยาว ต่อเนื่อง	**
			22	มีลักษณะเป็นเส้นไขยาว ต่อเนื่อง	
	1.2	1.2	15	มีลักษณะเป็นเส้นไขยาว ต่อเนื่อง และพบรูดีบีดส์	
			20	มีลักษณะเป็นเส้นไขยาว ต่อเนื่อง	
			22	มีลักษณะเป็นเส้นไขยาว ต่อเนื่อง	

หมายเหตุ ** คือ นำไปขึ้นรูปเป็นเส้นไขที่ใช้เป็นแม่แบบ

ตารางที่ 5 ตารางแสดงความสามารถในการขึ้นรูปเส้นใยแม่แบบจากสารละลาย RF Gel 0 ผสมกับสารละลายพอลีไวนิลแอกโกรอยล์แล้วบ่มทึ้งไว้เป็นเวลา 5 ชั่วโมง (RF Gel 0=RF Gel ที่ไม่ได้ทำบ่ม)

สารละลายพอลิเมอร์	ระยะห่าง (cm)	อัตราการไหล (mL/hr)	ศักยไฟฟ้า (kV)	ลักษณะเส้นใย	หมายเหตุ
RF Gel 0:PVA บ่มทึ้งไว้ 5 ชั่วโมง ที่อัตราส่วน 1:0.5	7	0.8	15	มีลักษณะไม่เป็นเส้นใย	
			20	มีลักษณะไม่เป็นเส้นใย	
			22	มีลักษณะไม่เป็นเส้นใย	
		1.0	15	มีลักษณะไม่เป็นเส้นใย	
			20	มีลักษณะไม่เป็นเส้นใย	
			22	มีลักษณะไม่เป็นเส้นใย	
		1.2	15	มีลักษณะไม่เป็นเส้นใย	
			20	มีลักษณะไม่เป็นเส้นใย	
			22	มีลักษณะไม่เป็นเส้นใย	
RF Gel 0:PVA บ่มทึ้งไว้ 5 ชั่วโมง ที่อัตราส่วน 1:1	7	0.8	15	มีลักษณะไม่เป็นเส้นใย	
			20	มีลักษณะไม่เป็นเส้นใย	
			22	มีลักษณะไม่เป็นเส้นใย	
		1.0	15	มีลักษณะไม่เป็นเส้นใย	
			20	มีลักษณะไม่เป็นเส้นใย	
			22	มีลักษณะไม่เป็นเส้นใย	
		1.2	15	มีลักษณะไม่เป็นเส้นใย	
			20	มีลักษณะไม่เป็นเส้นใย	
			22	มีลักษณะไม่เป็นเส้นใย	
RF Gel 0:PVA บ่มทึ้งไว้ 5 ชั่วโมง ที่อัตราส่วน 1:1.5	7	0.8	15	มีลักษณะไม่เป็นเส้นใย	
			20	มีลักษณะไม่เป็นเส้นใย	
			22	มีลักษณะไม่เป็นเส้นใย	
		1.0	15	มีลักษณะไม่เป็นเส้นใย	
			20	มีลักษณะไม่เป็นเส้นใย	
			22	มีลักษณะไม่เป็นเส้นใย	
		1.2	15	มีลักษณะไม่เป็นเส้นใย	
			20	มีลักษณะไม่เป็นเส้นใย	
			22	มีลักษณะไม่เป็นเส้นใย	
RF Gel 0:PVA บ่มทึ้งไว้ 5 ชั่วโมง ที่อัตราส่วน 1:3	7	0.8	15	มีลักษณะไม่เป็นเส้นใย	
			20	มีลักษณะเป็นเส้นใย เล็กน้อย	
		1.0	15	มีลักษณะเป็นเส้นใย เล็กน้อย	

ตารางที่ 5 (ต่อ) ตารางแสดงความสามารถในการขึ้นรูปเส้นไข่แม่แบบจากสารละลาย RF Gel 0 ผสมกับสารละลายพอลีไวนิลแอลกอฮอล์แล้วบ่มทึบไว้เป็นเวลา 5 ชั่วโมง
(RF Gel 0=RF Gel ที่ไม่ได้ทำบ่ม)

สารละลายพอลิเมอร์	ระยะห่าง (cm)	อัตราการไหล (mL/hr)	ศักย์ไฟฟ้า (kV)	ลักษณะเส้นไข่	หมายเหตุ
RF Gel 0:PVA บ่มทึบไว้ 5 ชั่วโมง ที่อัตราส่วน 1:3 (ต่อ)	7	1.0	20	มีลักษณะเป็นเส้นไข่ เล็กน้อย	
			15		
			20		
RF Gel 0:PVA บ่มทึบไว้ 5 ชั่วโมง ที่อัตราส่วน 1:6	7	0.8	15	มีลักษณะเป็นเส้นไข่ เล็กน้อย	
			20	มีลักษณะเป็นเส้นไข่ เล็กน้อย	
		1.0	15	มีลักษณะเป็นเส้นไข่	
			20	มีลักษณะเป็นเส้นไข่ เกิดเม็ดบีดส์	
		1.2	15	มีลักษณะเป็นเส้นไข่ เกิดเม็ดบีดส์	
			20	มีลักษณะเป็นเส้นไข่ เกิดเม็ดบีดส์	
		0.8	15	มีลักษณะเป็นเส้นไข่ ยาวต่อเนื่อง เกิดเม็ดบีดส์	
			20	มีลักษณะเป็นเส้นไข่ ยาวต่อเนื่อง เกิดเม็ดบีดส์	
RF Gel 0:PVA บ่มทึบไว้ 5 ชั่วโมง ที่อัตราส่วน 1:9	7	1.0	15	มีลักษณะเป็นเส้นไข่ ยาวต่อเนื่อง เกิดเม็ดบีดส์	
			20	มีลักษณะเป็นเส้นไข่ ยาวต่อเนื่อง เกิดเม็ดบีดส์	
		1.2	15	มีลักษณะเป็นเส้นไข่ ยาวต่อเนื่อง เกิดเม็ดบีดส์	
			20	มีลักษณะเป็นเส้นไข่ ยาวต่อเนื่อง เกิดเม็ดบีดส์	

ตารางที่ 6 ตารางแสดงความสามารถในการขึ้นรูปเส้นใยแบบจากสารละลาย RF Gel 0 ผสมกับสารละลายโพลิไวนิลแอกโกลอชอร์แล้วบ่มทึ้งไว้เป็นเวลา 10 ชั่วโมง (RF Gel 0=RF Gel ที่ไม่ได้ทำบ่ม)

สารละลายโพลิเมอร์	ระยะห่าง (cm)	อัตราการไหล (ml/hr)	ศักยไฟฟ้า (kV)	ลักษณะเส้นใย	หมายเหตุ
RF Gel 0:PVA บ่มทึ้งไว้ 10 ชั่วโมง ที่อัตราส่วน 1:0.5	7	0.8	15	มีลักษณะไม่เป็นเส้นใย	
			20	มีลักษณะไม่เป็นเส้นใย	
			22	มีลักษณะไม่เป็นเส้นใย	
		1.0	15	มีลักษณะไม่เป็นเส้นใย	
			20	มีลักษณะไม่เป็นเส้นใย	
			22	มีลักษณะไม่เป็นเส้นใย	
		1.2	15	มีลักษณะไม่เป็นเส้นใย	
			20	มีลักษณะไม่เป็นเส้นใย	
			22	มีลักษณะไม่เป็นเส้นใย	
RF Gel 0:PVA บ่มทึ้งไว้ 10 ชั่วโมง ที่อัตราส่วน 1:1	7	0.8	15	มีลักษณะไม่เป็นเส้นใย	
			20	มีลักษณะไม่เป็นเส้นใย	
			22	มีลักษณะไม่เป็นเส้นใย	
		1.0	15	มีลักษณะไม่เป็นเส้นใย	
			20	มีลักษณะไม่เป็นเส้นใย	
			22	มีลักษณะไม่เป็นเส้นใย	
		1.2	15	มีลักษณะไม่เป็นเส้นใย	
			20	มีลักษณะไม่เป็นเส้นใย	
			22	มีลักษณะไม่เป็นเส้นใย	
RF Gel 0:PVA บ่มทึ้งไว้ 10 ชั่วโมง ที่อัตราส่วน 1:1.5	7	0.8	15	มีลักษณะไม่เป็นเส้นใย	
			20	มีลักษณะไม่เป็นเส้นใย	
			22	มีลักษณะไม่เป็นเส้นใย	
		1.0	15	มีลักษณะไม่เป็นเส้นใย	
			20	มีลักษณะไม่เป็นเส้นใย	
			22	มีลักษณะไม่เป็นเส้นใย	
		1.2	15	มีลักษณะไม่เป็นเส้นใย	
			20	มีลักษณะไม่เป็นเส้นใย	
			22	มีลักษณะไม่เป็นเส้นใย	
RF Gel 0:PVA บ่มทึ้งไว้ 10 ชั่วโมง ที่อัตราส่วน 1:3	7	0.8	15	มีลักษณะไม่เป็นเส้นใย	
			20	มีลักษณะไม่เป็นเส้นใย	
		1.0	15	มีลักษณะไม่เป็นเส้นใย	
			20	มีลักษณะไม่เป็นเส้นใย	
		1.2	15	มีลักษณะไม่เป็นเส้นใย	
			20	มีลักษณะไม่เป็นเส้นใย	

ตารางที่ 6 (ต่อ) ตารางแสดงความสามารถในการขึ้นรูปเส้นใยแม่เบบจากสารละลาย RF Gel 0 ผสมกับสารละลายพอลิไวนิลแอคโอลอัลเดว์บ่มทึบไว้เป็นเวลา 10 ชั่วโมง (RF Gel 0=RF Gel ที่ไม่ได้ทำบ่ม)

สารละลายพอลิเมอร์	ระยะห่าง (cm)	อัตราการไหล (ml/hr)	ศักย์ไฟฟ้า (kV)	ลักษณะเส้นใย	หมายเหตุ
RF Gel 0:PVA บ่มทึบไว้ 10 ชั่วโมง ที่อัตราส่วน 1:3 (ต่อ)	7	1.2	20	มีลักษณะไม่เป็นเส้นใย	
RF Gel 0:PVA บ่มทึบไว้ 10 ชั่วโมง ที่อัตราส่วน 1:6	7	0.8	15	มีลักษณะเป็นเส้นใยยาว ต่อเนื่อง เกิดเม็ดปีดส์	
			20	มีลักษณะเป็นเส้นใยยาว ต่อเนื่อง เกิดเม็ดปีดส์	
		1.0	15	มีลักษณะเป็นเส้นใยยาว ต่อเนื่อง เกิดเม็ดปีดส์	
			20	มีลักษณะเป็นเส้นใยยาว ต่อเนื่อง เกิดเม็ดปีดส์	
		1.2	15	มีลักษณะเป็นเส้นใยยาว ต่อเนื่อง เกิดเม็ดปีดส์	
			20	มีลักษณะเป็นเส้นใยยาว ต่อเนื่อง เกิดเม็ดปีดส์	
	7	0.8	15	มีลักษณะเป็นเส้นใยยาว ต่อเนื่อง เกิดเม็ดปีดส์	
			20	มีลักษณะเป็นเส้นใยยาว ต่อเนื่อง เกิดเม็ดปีดส์	
		1.0	15	มีลักษณะเป็นเส้นใยยาว ต่อเนื่อง เกิดเม็ดปีดส์	
			20	มีลักษณะเป็นเส้นใยยาว ต่อเนื่อง เกิดเม็ดปีดส์	
		1.2	15	มีลักษณะไม่เป็นเส้นใย	
		20	มีลักษณะไม่เป็นเส้นใย		

ตารางที่ 7 ตารางแสดงความสามารถในการขึ้นรูปเส้นใยแม่แบบจากสารละลายน้ำ RF gel 0 ผสมกับสารละลายน้ำ PVA ที่อัตราส่วน 1:0.5 บ่มทึบไว้ 15 ชั่วโมง (RF gel 0=RF gel ที่ไม่ได้ทำบ่ม)

สารละลายน้ำ	ระยะห่าง (cm)	อัตราการไหล (ml/hr)	ศักย์ไฟฟ้า (kV)	ลักษณะเส้นใย	หมายเหตุ
RF gel 0:PVA บ่มทึบไว้ 15 ชั่วโมง ที่อัตราส่วน 1:0.5	7	0.8	15	มีลักษณะไม่เป็นเส้นใย	
			20	มีลักษณะไม่เป็นเส้นใย	
			22	มีลักษณะไม่เป็นเส้นใย	
		1.0	15	มีลักษณะไม่เป็นเส้นใย	
			20	มีลักษณะไม่เป็นเส้นใย	
			22	มีลักษณะไม่เป็นเส้นใย	
		1.2	15	มีลักษณะไม่เป็นเส้นใย	
			20	มีลักษณะไม่เป็นเส้นใย	
			22	มีลักษณะไม่เป็นเส้นใย	
RF Gel 0:PVA บ่มทึบไว้ 15 ชั่วโมง ที่อัตราส่วน 1:1	7	0.8	15	มีลักษณะไม่เป็นเส้นใย	
			20	มีลักษณะไม่เป็นเส้นใย	
			22	มีลักษณะไม่เป็นเส้นใย	
		1.0	15	มีลักษณะไม่เป็นเส้นใย	
			20	มีลักษณะไม่เป็นเส้นใย	
			22	มีลักษณะไม่เป็นเส้นใย	
		1.2	15	มีลักษณะไม่เป็นเส้นใย	
			20	มีลักษณะไม่เป็นเส้นใย	
			22	มีลักษณะไม่เป็นเส้นใย	
RF Gel 0:PVA บ่มทึบไว้ 15 ชั่วโมง ที่อัตราส่วน 1:1.5	7	0.8	15	มีลักษณะไม่เป็นเส้นใย	
			20	มีลักษณะไม่เป็นเส้นใย	
			22	มีลักษณะไม่เป็นเส้นใย	
		1.0	15	มีลักษณะไม่เป็นเส้นใย	
			20	มีลักษณะไม่เป็นเส้นใย	
			22	มีลักษณะไม่เป็นเส้นใย	
		1.2	15	มีลักษณะไม่เป็นเส้นใย	
			20	มีลักษณะไม่เป็นเส้นใย	
			22	มีลักษณะไม่เป็นเส้นใย	

ตารางที่ 7 (ต่อ) ตารางแสดงความสามารถในการขึ้นรูปเส้นไยแม่แบบจากสารละลาย RF gel 0 ผสมกับสารละลายโพลีไวนิลแอลกอฮอล์แล้วบ่มทึบไว้เป็นเวลา 15 ชั่วโมง
(RF gel 0=RF gel ที่ไม่ได้ทำบ่ม)

สารละลายโพลีเมอร์	ระยะห่าง (cm)	อัตราการไหล (mL/hr)	ศักย์ไฟฟ้า (kV)	ลักษณะเส้นไย	หมายเหตุ
RF Gel 0:PVA บ่มทึบไว้ 15 ชั่วโมง ที่อัตราส่วน 1:3	7	0.8	15	ไม่สามารถขึ้นรูปเป็นเส้นไยได้	
			20	ไม่สามารถขึ้นรูปเป็นเส้นไยได้	
		1.0	15	ไม่สามารถขึ้นรูปเป็นเส้นไยได้	
			20	ไม่สามารถขึ้นรูปเป็นเส้นไยได้	
		1.2	15	ไม่สามารถขึ้นรูปเป็นเส้นไยได้	
			20	ไม่สามารถขึ้นรูปเป็นเส้นไยได้	
		0.8	15	มีลักษณะเป็นเส้นไยเล็กน้อย	
			20	มีลักษณะเป็นเส้นไยเล็กน้อย	
		1.0	15		
			20		
RF Gel 0:PVA บ่มทึบไว้ 15 ชั่วโมง ที่อัตราส่วน 1:6	7	1.2	15		
			20		
		0.8	15	มีลักษณะเป็นเส้นไยยาวต่อเนื่อง เกิดเม็ดปีดส์	
			20	มีลักษณะเป็นเส้นไยยาวต่อเนื่อง เกิดเม็ดปีดส์	
		1.0	15	มีลักษณะเป็นเส้นไยยาวต่อเนื่อง เกิดเม็ดปีดส์	
			20	มีลักษณะเป็นเส้นไยยาวต่อเนื่อง เกิดเม็ดปีดส์	
		1.2	15	มีลักษณะเป็นเส้นไยยาวต่อเนื่อง เกิดเม็ดปีดส์	
			20	มีลักษณะเป็นเส้นไยยาวต่อเนื่อง เกิดเม็ดปีดส์	
		0.8	15	มีลักษณะเป็นเส้นไยยาวต่อเนื่อง เกิดเม็ดปีดส์	
			20	มีลักษณะเป็นเส้นไยยาวต่อเนื่อง เกิดเม็ดปีดส์	
RF Gel 0:PVA บ่มทึบไว้ 15 ชั่วโมง ที่อัตราส่วน 1:9	7	1.0	15	มีลักษณะเป็นเส้นไยยาวต่อเนื่อง เกิดเม็ดปีดส์	
			20	มีลักษณะเป็นเส้นไยยาวต่อเนื่อง เกิดเม็ดปีดส์	
		1.2	15	มีลักษณะเป็นเส้นไยยาวต่อเนื่อง เกิดเม็ดปีดส์	
			20	มีลักษณะเป็นเส้นไยยาวต่อเนื่อง เกิดเม็ดปีดส์	

ตารางที่ 8 ตารางแสดงความสามารถในการขึ้นรูปเส้นไข่แม่แบบจากสารละลาย RF Gel 5 ผสมกับสารละลายพอลิไวนิลแอลกอฮอล์ (RF Gel 5=RF Gel ที่บ่มทึบไว้ 5 ชั่วโมง)

สารละลายพอลิเมอร์	ระยะห่าง (cm)	อัตราการไหล (mL/hr)	ศักยไฟฟ้า (kV)	ลักษณะเส้นไข่	หมายเหตุ
RF Gel 5	7	0.8	15	มีลักษณะไม่เป็นเส้นไข่	
			20	มีลักษณะไม่เป็นเส้นไข่	
			22	มีลักษณะไม่เป็นเส้นไข่	
		1.0	15	มีลักษณะไม่เป็นเส้นไข่	
			20	มีลักษณะไม่เป็นเส้นไข่	
			22	มีลักษณะไม่เป็นเส้นไข่	
		1.2	15	มีลักษณะไม่เป็นเส้นไข่	
			20	มีลักษณะไม่เป็นเส้นไข่	
			22	มีลักษณะไม่เป็นเส้นไข่	
RF Gel 5:PVA ท่อตราช่วง 1:0.5	7	0.8	15	มีลักษณะไม่เป็นเส้นไข่	
			20	มีลักษณะไม่เป็นเส้นไข่	
			22	มีลักษณะไม่เป็นเส้นไข่	
		1.0	15	มีลักษณะไม่เป็นเส้นไข่	
			20	มีลักษณะไม่เป็นเส้นไข่	
			22	มีลักษณะไม่เป็นเส้นไข่	
		1.2	15	มีลักษณะไม่เป็นเส้นไข่	
			20	มีลักษณะไม่เป็นเส้นไข่	
			22	มีลักษณะไม่เป็นเส้นไข่	
RF Gel 5:PVA ท่อตราช่วง 1:1	7	0.8	15	มีลักษณะไม่เป็นเส้นไข่	
			20	มีลักษณะไม่เป็นเส้นไข่	
			22	มีลักษณะไม่เป็นเส้นไข่	
		1.0	15	มีลักษณะไม่เป็นเส้นไข่	
			20	มีลักษณะไม่เป็นเส้นไข่	
			22	มีลักษณะไม่เป็นเส้นไข่	
		1.2	15	มีลักษณะไม่เป็นเส้นไข่	
			20	มีลักษณะไม่เป็นเส้นไข่	
			22	มีลักษณะไม่เป็นเส้นไข่	
RF Gel 5:PVA ท่อตราช่วง 1:1.5	7	0.8	15	มีลักษณะไม่เป็นเส้นไข่	
			20	มีลักษณะไม่เป็นเส้นไข่	
			22	มีลักษณะไม่เป็นเส้นไข่	
		1.0	15	มีลักษณะไม่เป็นเส้นไข่	
			20	มีลักษณะไม่เป็นเส้นไข่	
			22	มีลักษณะไม่เป็นเส้นไข่	

ตารางที่ 8 (ต่อ) ตารางแสดงความสามารถในการขึ้นรูปเส้นไข่แม่แบบจากสารละลาย RF Gel 5 ผสมกับสารละลายพอลีไวนิลแอกโกลออล (RF Gel 5=RF Gel ที่บ่มทึบไว้ 5 ชั่วโมง)

สารละลายพอลิเมอร์	ระยะห่าง (cm)	อัตราการไหล (mL/hr)	ศักย์ไฟฟ้า (kV)	ลักษณะเส้นไข่	หมายเหตุ
RF Gel 5:PVA ที่อัตราส่วน 1:1.5 (ต่อ)	7	1.2	15	มีลักษณะไม่เป็นเส้นไข่	
			20	มีลักษณะไม่เป็นเส้นไข่	
			22	มีลักษณะไม่เป็นเส้นไข่	
RF Gel 5:PVA ที่อัตราส่วน 1:3	7	0.8	15	มีลักษณะไม่เป็นเส้นไข่	
			20	มีลักษณะไม่เป็นเส้นไข่	
		1.0	15	มีลักษณะไม่เป็นเส้นไข่	
			20	มีลักษณะไม่เป็นเส้นไข่	
		1.2	15	มีลักษณะไม่เป็นเส้นไข่	
			20	มีลักษณะไม่เป็นเส้นไข่	
RF Gel 5:PVA ที่อัตราส่วน 1:6	7	0.8	15	มีลักษณะเป็นเส้นไข่ยาว ต่อเนื่อง	
			20	มีลักษณะเป็นเส้นไข่ยาว ต่อเนื่อง	
		1.0	15	มีลักษณะเป็นเส้นไข่เล็กน้อย	
			20	มีลักษณะเป็นเส้นไข่เล็กน้อย	
		1.2	15	มีลักษณะเป็นเส้นไข่ยาว ต่อเนื่อง เกิดเม็ดปีดส์	
			20	มีลักษณะเป็นเส้นไข่ยาว ต่อเนื่อง เกิดเม็ดปีดส์	
		0.8	15	มีลักษณะเป็นเส้นไข่ยาว ต่อเนื่อง เกิดเม็ดปีดส์	
			20	มีลักษณะเป็นเส้นไข่ยาว ต่อเนื่อง เกิดเม็ดปีดส์	
RF Gel 5:PVA ที่อัตราส่วน 1:9	7	1.0	15	มีลักษณะเป็นเส้นไข่ยาว ต่อเนื่อง เกิดเม็ดปีดส์	
			20	มีลักษณะเป็นเส้นไข่ยาว ต่อเนื่อง เกิดเม็ดปีดส์	
		1.2	15	มีลักษณะเป็นเส้นไข่ยาว ต่อเนื่อง	
			20	มีลักษณะเป็นเส้นไข่ยาว ต่อเนื่อง	

ตารางที่ 9 ตารางแสดงความสามารถในการขึ้นรูปเส้นใยแบบจากสารละลาย RF Gel 5 ผสมกับสารละลายพอลีไวนิลแอกโกลอฮอร์ดแล้วบ่มทึ่งไว้เป็นเวลา 5 ชั่วโมง (RF Gel 5=RF Gel ที่บ่มทึ่งไว้ 5 ชั่วโมง)

สารละลายพอลีเมอร์	ระยะห่าง (cm)	อัตราการไหล (ml/hr)	ศักย์ไฟฟ้า (kV)	ลักษณะเส้นใย	หมายเหตุ
RF Gel 5:PVA บ่มทึ่งไว้ 5 ชั่วโมง ที่อัตราส่วน 1:0.5	7	0.8	15	มีลักษณะไม่เป็นเส้นใย	
			20	มีลักษณะไม่เป็นเส้นใย	
			22	มีลักษณะไม่เป็นเส้นใย	
		1.0	15	มีลักษณะไม่เป็นเส้นใย	
			20	มีลักษณะไม่เป็นเส้นใย	
			22	มีลักษณะไม่เป็นเส้นใย	
		1.2	15	มีลักษณะไม่เป็นเส้นใย	
			20	มีลักษณะไม่เป็นเส้นใย	
			22	มีลักษณะไม่เป็นเส้นใย	
RF Gel 5:PVA บ่มทึ่งไว้ 5 ชั่วโมง ที่อัตราส่วน 1:1	7	0.8	15	มีลักษณะไม่เป็นเส้นใย	
			20	มีลักษณะไม่เป็นเส้นใย	
			22	มีลักษณะไม่เป็นเส้นใย	
		1.0	15	มีลักษณะไม่เป็นเส้นใย	
			20	มีลักษณะไม่เป็นเส้นใย	
			22	มีลักษณะไม่เป็นเส้นใย	
		1.2	15	มีลักษณะไม่เป็นเส้นใย	
			20	มีลักษณะไม่เป็นเส้นใย	
			22	มีลักษณะไม่เป็นเส้นใย	
RF Gel 5:PVA บ่มทึ่งไว้ 5 ชั่วโมง ที่อัตราส่วน 1:1.5	7	0.8	15	มีลักษณะไม่เป็นเส้นใย	
			20	มีลักษณะไม่เป็นเส้นใย	
			22	มีลักษณะไม่เป็นเส้นใย	
		1.0	15	มีลักษณะไม่เป็นเส้นใย	
			20	มีลักษณะไม่เป็นเส้นใย	
			22	มีลักษณะไม่เป็นเส้นใย	
		1.2	15	มีลักษณะไม่เป็นเส้นใย	
			20	มีลักษณะไม่เป็นเส้นใย	
			22	มีลักษณะไม่เป็นเส้นใย	

ตารางที่ 9 (ต่อ) ตารางแสดงความสามารถในการขึ้นรูปเส้นไข่แบบจากสารละลาย RF Gel 5 ผสมกับสารละลายพอลีไนนิลแอกโอล์แล้วบ่มทั้งไว้เป็นเวลา 5 ชั่วโมง (RF Gel 5=RF Gel ที่บ่มทั้งไว้ 5 ชั่วโมง)

สารละลายพอลิเมอร์	ระยะห่าง (cm)	อัตราการไหล (mL/hr)	ศักย์ไฟฟ้า (kV)	ลักษณะเส้นไข่	หมายเหตุ
RF Gel 5:PVA บ่มทั้งไว้ 5 ชั่วโมง ที่อัตราส่วน 1:3	7	0.8	15	ไม่สามารถขึ้นรูปเป็นเส้นไข่ได้	
			20	ไม่สามารถขึ้นรูปเป็นเส้นไข่ได้	
		1.0	15	ไม่สามารถขึ้นรูปเป็นเส้นไข่ได้	
			20	ไม่สามารถขึ้นรูปเป็นเส้นไข่ได้	
		1.2	15	ไม่สามารถขึ้นรูปเป็นเส้นไข่ได้	
			20	ไม่สามารถขึ้นรูปเป็นเส้นไข่ได้	
RF Gel 5:PVA บ่มทั้งไว้ 5 ชั่วโมง ที่อัตราส่วน 1:6	7	0.8	15	มีลักษณะไม่เป็นเส้นไข่	
			20	มีลักษณะไม่เป็นเส้นไข่	
		1.0	15	มีลักษณะไม่เป็นเส้นไข่	
			20	มีลักษณะไม่เป็นเส้นไข่	
		1.2	15	มีลักษณะไม่เป็นเส้นไข่	
			20	มีลักษณะไม่เป็นเส้นไข่	
RF Gel 5:PVA บ่มทั้งไว้ 5 ชั่วโมง ที่อัตราส่วน 1:9	7	0.8	15	มีลักษณะเป็นเส้นไข่เล็กน้อย	
			20	มีลักษณะเป็นเส้นไข่เล็กน้อย	
		1.0	15	มีลักษณะเป็นเส้นไข่เล็กน้อย	
			20	มีลักษณะเป็นเส้นไข่เล็กน้อย	
		1.2	15	มีลักษณะเป็นเส้นไข่ยาวต่อเนื่อง	
			20	มีลักษณะเป็นเส้นไข่ยาวต่อเนื่อง	

ตารางที่ 10 ตารางแสดงความสามารถในการขึ้นรูปเส้นไยแม่แบบจากสารละลาย RF Gel 5 ผสมกับสารละลายพอลิไวนิลแอลกอฮอล์แล้วบ่มทิ้งไว้เป็นเวลา 10 ชั่วโมง (RF Gel 5=RF Gel ที่บ่มทิ้งไว้ 5 ชั่วโมง)

สารละลายพอลิเมอร์	ระยะห่าง (cm)	อัตราการไหล (ml/hr)	ศักย์ไฟฟ้า (kV)	ลักษณะเส้นใย	หมายเหตุ
RF Gel 5:PVA บ่มทิ้งไว้ 10 ชั่วโมง ที่อัตราส่วน 1:0.5	7	0.8	15	มีลักษณะไม่เป็นเส้นใย	
			20	มีลักษณะไม่เป็นเส้นใย	
			22	มีลักษณะไม่เป็นเส้นใย	
		1.0	15	มีลักษณะไม่เป็นเส้นใย	
			20	มีลักษณะไม่เป็นเส้นใย	
			22	มีลักษณะไม่เป็นเส้นใย	
		1.2	15	มีลักษณะไม่เป็นเส้นใย	
			20	มีลักษณะไม่เป็นเส้นใย	
			22	มีลักษณะไม่เป็นเส้นใย	
RF Gel 5:PVA บ่มทิ้งไว้ 10 ชั่วโมง ที่อัตราส่วน 1:1	7	0.8	15	ไม่สามารถขึ้นรูปเป็นเส้น ใยได้	
			20	ไม่สามารถขึ้นรูปเป็นเส้น ใยได้	
			22	ไม่สามารถขึ้นรูปเป็นเส้น ใยได้	
		1.0	15	ไม่สามารถขึ้นรูปเป็นเส้น ใยได้	
			20	ไม่สามารถขึ้นรูปเป็นเส้น ใยได้	
			22	ไม่สามารถขึ้นรูปเป็นเส้น ใยได้	
		1.2	15	ไม่สามารถขึ้นรูปเป็นเส้น ใยได้	
			20	ไม่สามารถขึ้นรูปเป็นเส้น ใยได้	
			22	ไม่สามารถขึ้นรูปเป็นเส้น ใยได้	

ตารางที่ 10 (ต่อ) ตารางแสดงความสามารถในการขึ้นรูปเส้นไยเม่แบบจากสารละลาย RF Gel 5 ผสมกับสารละลายพอลิไวนิลแอกโกลอิคอล์แล้วบ่มทึบไว้เป็นเวลา 10 ชั่วโมง (RF Gel 5=RF Gel ที่บ่มทึบไว้ 5 ชั่วโมง)

สารละลายพอลิเมอร์	ระยะห่าง (cm)	อัตราการไหล (ml/hr)	ศักย์ไฟฟ้า (KV)	ลักษณะเส้นไย	หมายเหตุ
RF Gel 5:PVA บ่มทึบไว้ 10 ชั่วโมง ที่อัตราส่วน 1:1.5	7	0.8	15	ไม่สามารถขึ้นรูปเป็นเส้น ได้	
			20	ไม่สามารถขึ้นรูปเป็นเส้น ได้	
			22	ไม่สามารถขึ้นรูปเป็นเส้น ได้	
	7	1.0	15	ไม่สามารถขึ้นรูปเป็นเส้น ได้	
			20	ไม่สามารถขึ้นรูปเป็นเส้น ได้	
			22	ไม่สามารถขึ้นรูปเป็นเส้น ได้	
	7	1.2	15	ไม่สามารถขึ้นรูปเป็นเส้น ได้	
			20	ไม่สามารถขึ้นรูปเป็นเส้น ได้	
			22	ไม่สามารถขึ้นรูปเป็นเส้น ได้	
RF Gel 5:PVA บ่มทึบไว้ 10 ชั่วโมง ที่อัตราส่วน 1:3	7	0.8	15	ไม่สามารถขึ้นรูปเป็นเส้น ได้	
			20	ไม่สามารถขึ้นรูปเป็นเส้น ได้	
		1.0	15	ไม่สามารถขึ้นรูปเป็นเส้น ได้	
			20	ไม่สามารถขึ้นรูปเป็นเส้น ได้	
	7	1.2	15	ไม่สามารถขึ้นรูปเป็นเส้น ได้	
			20	ไม่สามารถขึ้นรูปเป็นเส้น ได้	

ตารางที่ 10 (ต่อ) ตารางแสดงความสามารถในการขึ้นรูปเส้นใยแบบจากสารละลาย RF Gel 5 ผสมกับสารละลายพอลิไวนิลแอลกอฮอล์แล้วบ่มทึ่งไว้เป็นเวลา 10 ชั่วโมง (RF Gel 5=RF Gel ที่บ่มทึ่งไว้ 5 ชั่วโมง)

สารละลายพอลิเมอร์	ระยะห่าง (cm)	อัตราการไหล (ml/hr)	ศักย์ไฟฟ้า (kV)	ลักษณะเส้นใย	หมายเหตุ
RF Gel 5:PVA บ่มทึ่งไว้ 10 ชั่วโมง ที่อัตราส่วน 1:6	7	0.8	15	ไม่สามารถขึ้นรูปเป็นเส้น ได้	
			20	ไม่สามารถขึ้นรูปเป็นเส้น ได้	
		1.0	15	ไม่สามารถขึ้นรูปเป็นเส้น ได้	
			20	ไม่สามารถขึ้นรูปเป็นเส้น ได้	
			15	ไม่สามารถขึ้นรูปเป็นเส้น ได้	
			20	ไม่สามารถขึ้นรูปเป็นเส้น ได้	
	7	0.8	15	มีลักษณะไม่เป็นเส้นใย	
			20	มีลักษณะไม่เป็นเส้นใย	
		1.0	15	มีลักษณะเป็นเส้นใย เล็กน้อย	
			20	มีลักษณะเป็นเส้นใย เล็กน้อย	
		1.2	15	มีลักษณะเป็นเส้นใย เล็กน้อย	
			20	มีลักษณะเป็นเส้นใย เล็กน้อย	

ตารางที่ 11 แสดงความสามารถในการขึ้นรูปเส้นไยแม่แบบจากสารละลาย RF Gel 10 ผสมกับสารละลายพอลิไวนิลแอกโกลอฮอร์ด (RF Gel 10=RF Gel ที่บ่มทึบไว้ 10 ชั่วโมง)

สารละลายพอลิเมอร์	ระยะห่าง (cm)	อัตราการไหล (mL/hr)	ศักยไฟฟ้า (kV)	ลักษณะเส้นไย	หมายเหตุ
RF Gel 10	7	0.8	15	มีลักษณะไม่เป็นเส้นไย	
			20	มีลักษณะไม่เป็นเส้นไย	
			22	มีลักษณะไม่เป็นเส้นไย	
		1.0	15	มีลักษณะไม่เป็นเส้นไย	
			20	มีลักษณะไม่เป็นเส้นไย	
			22	มีลักษณะไม่เป็นเส้นไย	
		1.2	15	มีลักษณะไม่เป็นเส้นไย	
			20	มีลักษณะไม่เป็นเส้นไย	
			22	มีลักษณะไม่เป็นเส้นไย	
RF Gel 10:PVA ท่อตราช่วง 1:0.5	7	0.8	15	มีลักษณะไม่เป็นเส้นไย	
			20	มีลักษณะไม่เป็นเส้นไย	
			22	มีลักษณะไม่เป็นเส้นไย	
		1.0	15	มีลักษณะไม่เป็นเส้นไย	
			20	มีลักษณะไม่เป็นเส้นไย	
			22	มีลักษณะไม่เป็นเส้นไย	
		1.2	15	มีลักษณะไม่เป็นเส้นไย	
			20	มีลักษณะไม่เป็นเส้นไย	
			22	มีลักษณะไม่เป็นเส้นไย	
RF Gel 10:PVA ท่อตราช่วง 1:1	7	0.8	15	มีลักษณะไม่เป็นเส้นไย	
			20	มีลักษณะไม่เป็นเส้นไย	
			22	มีลักษณะไม่เป็นเส้นไย	
		1.0	15	มีลักษณะไม่เป็นเส้นไย	
			20	มีลักษณะไม่เป็นเส้นไย	
			22	มีลักษณะไม่เป็นเส้นไย	
		1.2	15	มีลักษณะไม่เป็นเส้นไย	
			20	มีลักษณะไม่เป็นเส้นไย	
			22	มีลักษณะไม่เป็นเส้นไย	

ตารางที่ 11 (ต่อ) แสดงความสามารถในการขึ้นรูปเส้นใยแม่แบบจากสารละลาย RF Gel 10 ผสมกับสารละลายพอลิไวนิลแอลกอฮอล์ (RF Gel 10=RF Gel ที่บ่มทึบไว้ 10 ชั่วโมง)

สารละลายพอลิเมอร์	ระยะห่าง (cm)	อัตราการไหล (mL/hr)	ศักยไฟฟ้า (kV)	ลักษณะเส้นใย	หมายเหตุ
RF Gel 10:PVA ที่อัตราส่วน 1:1.5	7	0.8	15	มีลักษณะไม่เป็นเส้นใย	
			20	มีลักษณะไม่เป็นเส้นใย	
			22	มีลักษณะไม่เป็นเส้นใย	
		1.0	15	มีลักษณะไม่เป็นเส้นใย	
			20	มีลักษณะไม่เป็นเส้นใย	
			22	มีลักษณะไม่เป็นเส้นใย	
		1.2	15	มีลักษณะไม่เป็นเส้นใย	
			20	มีลักษณะไม่เป็นเส้นใย	
			22	มีลักษณะไม่เป็นเส้นใย	

ตารางที่ 12 แสดงความสามารถในการขึ้นรูปเส้นใยแม่แบบจากสารละลาย RF Gel 10 ผสมกับสารละลายพอลิไวนิลแอลกอฮอล์แล้วบ่มทึบไว้เป็นเวลา 10 ชั่วโมง (RF Gel 10=RF Gel ที่บ่มทึบไว้ 10 ชั่วโมง)

สารละลายพอลิเมอร์	ระยะห่าง (cm)	อัตราการไหล (mL/hr)	ศักยไฟฟ้า (kV)	ลักษณะเส้นใย	หมายเหตุ
RF Gel 10:PVA บ่มทึบไว้ 5 ชั่วโมง ที่อัตราส่วน 1:0.5	7	0.8	15	ไม่สามารถขึ้นรูปเป็นเส้นใยได้	
			20	ไม่สามารถขึ้นรูปเป็นเส้นใยได้	
			22	ไม่สามารถขึ้นรูปเป็นเส้นใยได้	
		1.0	15	ไม่สามารถขึ้นรูปเป็นเส้นใยได้	
			20	ไม่สามารถขึ้นรูปเป็นเส้นใยได้	
			22	ไม่สามารถขึ้นรูปเป็นเส้นใยได้	
		1.2	15	ไม่สามารถขึ้นรูปเป็นเส้นใยได้	
			20	ไม่สามารถขึ้นรูปเป็นเส้นใยได้	
			22	ไม่สามารถขึ้นรูปเป็นเส้นใยได้	
RF Gel 10:PVA บ่มทึบไว้ 5 ชั่วโมง ที่อัตราส่วน 1:1	7	0.8	15	ไม่สามารถขึ้นรูปเป็นเส้นใยได้	
			20	ไม่สามารถขึ้นรูปเป็นเส้นใยได้	
			22	ไม่สามารถขึ้นรูปเป็นเส้นใยได้	
		1.0	15	ไม่สามารถขึ้นรูปเป็นเส้นใยได้	
			20	ไม่สามารถขึ้นรูปเป็นเส้นใยได้	
			22	ไม่สามารถขึ้นรูปเป็นเส้นใยได้	
		1.2	15	ไม่สามารถขึ้นรูปเป็นเส้นใยได้	
			20	ไม่สามารถขึ้นรูปเป็นเส้นใยได้	

ตารางที่ 12 (ต่อ) แสดงความสามารถในการขึ้นรูปเส้นใยแม่แบบจากสารละลาย RF Gel 10 ผสมกับสารละลายพอลิไวนิลแอกโกลอฮอลล์แล้วปั่นทึบไว้เป็นเวลา 10 ชั่วโมง (RF Gel 10=RF Gel ที่บ่มทึบไว้ 10 ชั่วโมง)

สารละลายพอลิเมอร์	ระยะห่าง (cm)	อัตราการไหล (ml/hr)	ศักย์ไฟฟ้า (kV)	ลักษณะเส้นใย	หมายเหตุ
RF Gel 10:PVA บ่มทึบไว้ 5 ชั่วโมง ที่อัตราส่วน 1:1 (ต่อ)	7	1.2	22	ไม่สามารถขึ้นรูปเป็นเส้นใยได้	
RF Gel 10:PVA บ่มทึบไว้ 5 ชั่วโมง ที่อัตราส่วน 1:1.5	7	0.8	15	ไม่สามารถขึ้นรูปเป็นเส้นใยได้	
			20	ไม่สามารถขึ้นรูปเป็นเส้นใยได้	
			22	ไม่สามารถขึ้นรูปเป็นเส้นใยได้	
		1.0	15	ไม่สามารถขึ้นรูปเป็นเส้นใยได้	
			20	ไม่สามารถขึ้นรูปเป็นเส้นใยได้	
			22	ไม่สามารถขึ้นรูปเป็นเส้นใยได้	
		1.2	15	ไม่สามารถขึ้นรูปเป็นเส้นใยได้	
			20	ไม่สามารถขึ้นรูปเป็นเส้นใยได้	
			22	ไม่สามารถขึ้นรูปเป็นเส้นใยได้	

ตารางที่ 13 ตารางแสดงความสามารถในการขึ้นรูปเส้นใยแม่แบบจากสารละลาย RF Gel 15 ผสมกับสารละลายพอลิไวนิลแอกโกลอฮอลล์ (RF Gel 15=RF Gel ที่บ่มทึบไว้ 15 ชั่วโมง)

สารละลายพอลิเมอร์	ระยะห่าง (cm)	อัตราการไหล (ml/hr)	ศักย์ไฟฟ้า (kV)	ลักษณะเส้นใย	หมายเหตุ
RF Gel 15	7	0.8	15	มีลักษณะไม่เป็นเส้นใย	
			20	มีลักษณะไม่เป็นเส้นใย	
			22	มีลักษณะไม่เป็นเส้นใย	
		1.0	15	มีลักษณะไม่เป็นเส้นใย	
			20	มีลักษณะไม่เป็นเส้นใย	
			22	มีลักษณะไม่เป็นเส้นใย	
		1.2	15	มีลักษณะไม่เป็นเส้นใย	
			20	มีลักษณะไม่เป็นเส้นใย	
			22	มีลักษณะไม่เป็นเส้นใย	
RF Gel 15:PVA ที่อัตราส่วน 1:0.5	7	0.8	15	มีลักษณะไม่เป็นเส้นใย	
			20	มีลักษณะไม่เป็นเส้นใย	
			22	มีลักษณะไม่เป็นเส้นใย	
		1.0	15	มีลักษณะไม่เป็นเส้นใย	
			20	มีลักษณะไม่เป็นเส้นใย	
			22	มีลักษณะไม่เป็นเส้นใย	

ตารางที่ 13 (ต่อ) ตารางแสดงความสามารถในการขึ้นรูปเส้นใยแม่แบบจากสารละลาย RF Gel 15 ผสมกับสารละลายพอลิไวนิลแอลกอฮอล์ (RF Gel 15=RF Gel ที่บ่มทึ่งไว้ 15 ชั่วโมง)

สารละลายพอลิเมอร์	ระยะห่าง (cm)	อัตราการไหล (ml/hr)	ศักย์ไฟฟ้า (kV)	ลักษณะเส้นใย	หมายเหตุ
RF Gel 15:PVA ที่อัตราส่วน 1:0.5 (ต่อ)	7	1.2	15	มีลักษณะไม่เป็นเส้นใย	
			20	มีลักษณะไม่เป็นเส้นใย	
			22	มีลักษณะไม่เป็นเส้นใย	
	7	0.8	15	ไม่สามารถขึ้นรูปเป็นเส้นใยได้	
			20	ไม่สามารถขึ้นรูปเป็นเส้นใยได้	
			22	ไม่สามารถขึ้นรูปเป็นเส้นใยได้	
		1.0	15	ไม่สามารถขึ้นรูปเป็นเส้นใยได้	
			20	ไม่สามารถขึ้นรูปเป็นเส้นใยได้	
			22	ไม่สามารถขึ้นรูปเป็นเส้นใยได้	
		1.2	15	ไม่สามารถขึ้นรูปเป็นเส้นใยได้	
			20	ไม่สามารถขึ้นรูปเป็นเส้นใยได้	
			22	ไม่สามารถขึ้นรูปเป็นเส้นใยได้	
RF Gel 15:PVA ที่อัตราส่วน 1:1	7	0.8	15	ไม่สามารถขึ้นรูปเป็นเส้นใยได้	
			20	ไม่สามารถขึ้นรูปเป็นเส้นใยได้	
			22	ไม่สามารถขึ้นรูปเป็นเส้นใยได้	
		1.0	15	ไม่สามารถขึ้นรูปเป็นเส้นใยได้	
			20	ไม่สามารถขึ้นรูปเป็นเส้นใยได้	
			22	ไม่สามารถขึ้นรูปเป็นเส้นใยได้	
		1.2	15	ไม่สามารถขึ้นรูปเป็นเส้นใยได้	
			20	ไม่สามารถขึ้นรูปเป็นเส้นใยได้	
			22	ไม่สามารถขึ้นรูปเป็นเส้นใยได้	
RF Gel 15:PVA ที่อัตราส่วน 1:1.5	7	0.8	15	ไม่สามารถขึ้นรูปเป็นเส้นใยได้	
			20	ไม่สามารถขึ้นรูปเป็นเส้นใยได้	
			22	ไม่สามารถขึ้นรูปเป็นเส้นใยได้	
		1.0	15	ไม่สามารถขึ้นรูปเป็นเส้นใยได้	
			20	ไม่สามารถขึ้นรูปเป็นเส้นใยได้	
			22	ไม่สามารถขึ้นรูปเป็นเส้นใยได้	
		1.2	15	ไม่สามารถขึ้นรูปเป็นเส้นใยได้	
			20	ไม่สามารถขึ้นรูปเป็นเส้นใยได้	
			22	ไม่สามารถขึ้นรูปเป็นเส้นใยได้	

ประวัติผู้ดำเนินโครงการ



ชื่อ นายธนาธิป เปียงเปี้ย
ภูมิลำเนา 635/15 หมู่ 1 ต. วังทอง อ. วังทอง
จ. พิษณุโลก

ประวัติการศึกษา

- จบระดับมัธยมศึกษาจากโรงเรียนพิษณุโลก พิทยาคม จ. พิษณุโลก
- ปัจจุบันกำลังศึกษาในระดับปริญญาตรีชั้นปีที่ 5 สาขาวิชารัฐศาสตร์ คณะวิศวกรรมศาสตร์ มหาวิทยาลัยนเรศวร

E-mail: baby_merry2@hotmail.com



ชื่อ นางสาวศลิษา สังข์ยก
ภูมิลำเนา 62 หมู่ 14 ต. ป่าพุตรา อ. ขาณุวรลักษบุรี
จ. กำแพงเพชร

ประวัติการศึกษา

- จบระดับมัธยมศึกษาจากโรงเรียนขนาดวิทยา จ. กำแพงเพชร
- ปัจจุบันกำลังศึกษาในระดับปริญญาตรีชั้นปีที่ 4 สาขาวิชารัฐศาสตร์ คณะวิศวกรรมศาสตร์ มหาวิทยาลัยนเรศวร

E-mail: Nunn_salisa.S@hotmail.com

ประวัติผู้ดำเนินโครงการ(ต่อ)



ชื่อ นางสาวอังศุมาลี กัมปนาท
ภูมิลำเนา 55 หมู่ 1 ต. ลานกระเบื้อง อ. ลานกระเบื้อง
จ. กำแพงเพชร

ประวัติการศึกษา

- จบระดับมัธยมศึกษาจากโรงเรียนลานกระเบื้อง
วิทยา จ. กำแพงเพชร
- ปัจจุบันกำลังศึกษาในระดับปริญญาตรีชั้นปีที่ 4
สาขาวิศวกรรมเคมี

คณะวิศวกรรมศาสตร์ มหาวิทยาลัยนเรศวร

E-mail: Angsumalee_K@hotmail.com

